

524
1955



საქართველოს სსრ
მეცნიერებათა აკადემიის
მ თ ა მ ბ ე

ტომი XVI, № 3

ძირითადი, ჟანრული გამოცემა

1955

შ ი ნ ა ა რ ს ი

მათემატიკა

1. ა. ბ ი წ ა ძ ე. კოშის ტიპის ორგანზომილებიან ინტეგრალთა შესახებ 177
2. ი. ყ ა კ ი. ს. ბერნშტეინისა და ი. პრივალოვის თეორემების ზოგიერთი გამოყენების შესახებ 185

ფიზიკა

3. ვ. ა ს რ ი ბ ე კ ო ვ ე. ნუკლონ-ანტინუკლონის ორმეზონიანი ანიჰილაციისათვის ვაკუუმის შესწორებები 191
4. ვ. ჭ ა ვ ჭ ა ნ ი ძ ე. ფერმიონული წყაროს მეზონური ველის განტოლების საკითხისათვის 199

ქიმი

5. რ. ლ ა დ ი ძ ე და ა. დ ვ ა ლ ი შ ვ ი ლ ი. უწყლო ქლორიანი ალუმინის თანაობით 1,1'-ეთინილენ ბისციკლოპენტანოლის დიაცეტატი ბენზოლის ალკილირების შესახებ 205
6. ლ. მ ე ლ ი ქ ა ძ ე და ნ. ბ ე ქ ა უ რ ი. მინერალური ზეთის დესტილაცია ზედაპირული აორთქლების პირობებში 213

ენერგეტიკა

7. დ. ნ ე ბ ი ე რ ი ძ ე. შახტიან- და დოლისებურწისქვილებიან საცეცხლეებში ტყიბულის ქვანახშირის დაწვის საკითხისათვის 221

მემცენარეობა

8. გ. ჯ ა თ ა რ ი ძ ე. დასავლეთ საქართველოს სამხრეთ და აღმოსავლეთ ჩაის რაიონების ტენით უზრუნველყოფის საკითხისათვის 229

მქსპერიმენტული მემცენარეობა

9. მ. კ ო ბ ა ხ ი ძ ე. ჰიპერტონიული დაავადების დროს სიმპათეტიკომის გამოყენების მიზანშეუწონლობის შესახებ ექსპერიმენტული კვლევის ასპექტში 237
10. რ. გ უ რ გ ე ნ ი ძ ე და ვ. ბ ა ხ უ ტ ა შ ვ ი ლ ი. ნორმალური და ოპერირებული კუჭის მექანორეცეპტორების გაღიზიანების გავლენა ლეიკოციტების რაოდენობასა და ლეიკოციტურ ფორმულაზე 243

ენათმეცნიერება

11. ქ. ლ ო მ თ ა თ ი ძ ე. პოტენციალისა (შესაძლებლობისა) და უნებურობის კატეგორია აფხაზურ-აბაზურ ზმნაში 249

მათემატიკა

ა. ბიწაძე

კოზის ტიპის ორგანომილებიან ინტეგრალთა შესახებ

(წარმოადგინა აკადემიკოსმა ნ. მუსხელიშვილმა 23.9.1954)

1°. ზოგიერთი მარტივი დამოკიდებულება ოთხკომპონენტიანი გლუვი ვექტორისათვის სამგანზომილებიან არეში

ვთქვით, D ევკლიდის სამგანზომილებიანი სივრცის არეა, ხოლო $\vec{q}(P) \equiv (q_1, q_2, q_3, q_4)$ — ამ არეში მოცემული ვექტორი, რომლის ოთხივე კომპონენტს აქვს პირველი რიგის უწყვეტი წარმოებულები. აღვნიშნოთ D^+ -ით მარტივადმზული არე, რომელიც მთლიანად მოთავსებულია D არეში და შემოსაზღვრულია ლიაჟნოვის S ფართეულით. $D^+ + S$ -ის დამატება მთელ სივრცემდე აღვნიშნოთ D^- -ით.

წერის გამარტივების მიზნით შემოვიღოთ მატრიცული აღნიშვნები:

$$M(P, Q) \equiv -D^* \left(\frac{\partial}{\partial \xi}, \frac{\partial}{\partial \eta}, \frac{\partial}{\partial \zeta} \right) \frac{1}{\rho} \cdot D(\alpha, \beta, \gamma),$$

$$N(P, Q) \equiv -D^* \left(\frac{\partial}{\partial \xi}, \frac{\partial}{\partial \eta}, \frac{\partial}{\partial \zeta} \right) \frac{1}{\rho} \cdot D \left(\frac{\partial}{\partial \xi}, \frac{\partial}{\partial \eta}, \frac{\partial}{\partial \zeta} \right),$$

სადაც

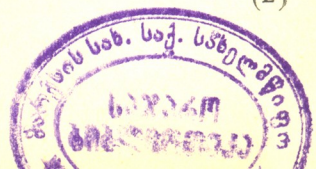
$$D^*(X, Y, Z) \equiv \begin{vmatrix} \circ & X & Y & Z \\ X & \circ & Z - Y & \\ Y - Z & \circ & X & \\ Z & Y - X & \circ & \end{vmatrix}, \quad D(X, Y, Z) \equiv \begin{vmatrix} \circ & X & Y & Z \\ X & \circ & -Z & Y \\ Y & Z & \circ & -X \\ Z - Y & X & \circ & \end{vmatrix},$$

$\rho(P, Q)$ არის მანძილი $P(x, y, z)$ და $Q(\xi, \eta, \zeta)$ წერტილებს შორის, $\vec{n}(\alpha, \beta, \gamma)$ აღნიშნავს D^+ -ის მიმართ S ფართეულის გარე ნორმალს Q წერტილში.

ოსტროგრადსკი-გაუსის ფორმულის უშუალო შედეგია შემდეგი დამოკიდებულებანი:

$$\iint_S D(\alpha, \beta, \gamma) \vec{q}(Q) d\omega_Q = \iiint_{D^+} D \left(\frac{\partial}{\partial \xi}, \frac{\partial}{\partial \eta}, \frac{\partial}{\partial \zeta} \right) \vec{q}(Q) d\tau_Q, \quad (1)$$

$$\begin{aligned} \frac{1}{4\pi} \iint_S M(P, Q) \vec{q}(Q) d\omega_Q - \frac{1}{4\pi} \iiint_{D^+} N(P, Q) \vec{q}(Q) d\tau_Q \\ = \begin{cases} \vec{q}(P), & P \in D^+ \\ \circ, & P \in D^- \end{cases} \end{aligned} \quad (2)$$



2°. კოშის თეორემისა და კოშის ინტეგრალური ფორმულის სივრცითი ანალოგი

$\vec{q}(P)$ ვექტორს ვუწოდებთ ჰოლომორფულს D არეში, თუ მისი კომპონენტები აკმაყოფილებენ შემდეგ ელიფსურ სისტემას

$$D \left(\frac{\partial}{\partial x}, \frac{\partial}{\partial y}, \frac{\partial}{\partial z} \right) \vec{q} = 0. \quad (3)$$

(1) დამოკიდებულებიდან გამომდინარეობს, რომ ჰოლომორფულ \vec{q} ვექტორისათვის ადგილი აქვს ტოლობას (კოშის თეორემას) [1]:

$$\iint_S D(\alpha, \beta, \gamma) \vec{q}(Q) d\omega_Q = 0. \quad (4)$$

სამართლიანია შემბრუნებული თეორემაც (მორერას თეორემა): თუ \vec{q} უწყვეტია D არეში და ამ არეში მოთავსებული ყოველ შეკრულ S ფართულზე ადგილი აქვს (4) ტოლობას, მაშინ $\vec{q}(P)$ ჰოლომორფულ ვექტორს წარმოადგენს [1].

ჰოლომორფული \vec{q} ვექტორის შემთხვევაში (2) დამოკიდებულებიდან ვღებულობთ ფორმულას (კოშის ინტეგრალური ფორმულას) [1]:

$$\frac{1}{4\pi} \iint_S M(P, Q) \vec{q}(Q) d\omega_Q = \begin{cases} \vec{q}(P), & P \in D^+ \\ 0, & P \in D^- \end{cases}. \quad (5)$$

3°. კოშის ტიპის ორგანზომილებიანი ინტეგრალი

დავუშვათ ახლა, რომ \vec{q} ვექტორი მოცემულია მხოლოდ S ფართულზე და აკმაყოფილებს ჰელდერის პირობას

$$\|\vec{q}(P) - \vec{q}(Q)\| \equiv L\rho^\alpha(P, Q),$$

სადაც

$$L > 0, \quad 0 < \alpha \leq 1.$$

უშუალო შემოწმებით ვრწმუნდებით, რომ ვექტორი

$$\vec{p}(P) = \frac{1}{4\pi} \iint_S M(P, Q) \vec{q}(Q) d\omega_Q \quad (6)$$

ჰოლომორფულია როგორც D^+ , ისე D^- არეში. მე-(6) ფორმულით წარმოდგენილ ვექტორს ბუნებრივია კოშის ტიპის ინტეგრალი ვუწოდოთ.

როცა $P_0 = P(x_0, y_0, z_0)$ წერტილი მოთავსებულია S ფართულზე, მაშინ (6)-ის მარჯვენა მხარეში ინტეგრალს ჩვეულებრივი გაგებით აზრი არა აქვს. მაგრამ იმ ვექტორთა კლასისათვის, რომელნიც ჰელდერის პირობას აკმაყოფილებენ, ამ ინტეგრალს შეიძლება გარკვეული აზრი მივანიჭოთ. მართლაც, გამოვყოთ P_0 წერტილი S ფართულიდან ε რადიუსის S_ε სფეროთი, რომლის ცენტრიც P_0 წერტილშია მოთავსებული, და განვიხილოთ ინტეგრალი

$$\frac{1}{4\pi} \iint_{S_\varepsilon} M(P_0, Q) \vec{q}(Q) d\omega_Q, \quad (7)$$

სადაც S_ε წარმოადგენს S ფართეულის ნაწილს, რომელიც σ_ε სფეროს გარეთაა მოთავსებული. თუ (7) ინტეგრალი, როცა $\varepsilon \rightarrow 0$, მიისწრაფვის გარკვეული ზღვრისაკენ, მაშინ ამ ზღვარს ვუწოდებთ ინტეგრალს კოშის მთავარი მნიშვნელობის აზრით. \vec{q} ვექტორისათვის, რომელიც ჰელდერის პირობას აკმაყოფილებს, ეს ზღვარი ყოველთვის არსებობს. ამაში აღვიღად დავრწმუნდებით, თუ (7) ინტეგრალს ასე წარმოვადგენთ:

$$\frac{1}{4\pi} \iint_{S_\varepsilon} M(P_0, Q) [\vec{q}(Q) - \vec{q}(P_0)] d\omega_Q + \vec{q}(P_0) - \frac{1}{4\pi} \iint_{\sigma_\varepsilon} M(P_0, Q) \vec{q}(P_0) d\omega_Q,$$

სადაც σ_ε არის S_ε -ის ის ნაწილი, რომელიც S ფართეულის გარეთაა მოთავსებული. ამ გამოსახულების ზღვარი, როცა $\varepsilon \rightarrow 0$, ცხადია, არსებობს და მას შემდეგ ინტეგრალის ჩვეულებრივი სიმბოლოთი აღვნიშნავთ:

$$\begin{aligned} \frac{1}{4\pi} \iint_S M(P_0, Q) \vec{q}(Q) d\omega_Q &= \frac{1}{2} \vec{q}(P_0) \\ + \frac{1}{4\pi} \iint_S M(P_0, Q) [\vec{q}(Q) - \vec{q}(P_0)] d\omega_Q. \end{aligned} \quad (8)$$

ლიაპუნოვის ღია გლუვი ფართეულების შემთხვევაში ინტეგრალის მთავარი მნიშვნელობა კვლავ განისაზღვრება ისე, როგორც ზღვარი გამოსახულებისა

$$\frac{1}{4\pi} \iint_{S_\varepsilon} M(P_0, Q) [\vec{q}(Q) - \vec{q}(P_0)] d\omega_Q + \frac{1}{4\pi} \iint_{S_\varepsilon} M(P_0, Q) \vec{q}(P_0) d\omega_Q,$$

როცა $\varepsilon \rightarrow 0$. ეს ზღვარი ყოველთვის არსებობს, თუ \vec{q} აკმაყოფილებს ჰელდერის პირობას.

4°. ნახტომის ფორმულები კოშის ტიპის ორგანზომილებიანი ინტეგრალისათვის

ვიგულისხმობთ, რომ (6) კოშის ტიპის ინტეგრალის \vec{q} სიმკვრივე აკმაყოფილებს ჰელდერის პირობას. აღვნიშნოთ P_0 -ით S ფართეულის წერტილი. (6) გამოსახულება ასე გადავწეროთ:

$$\vec{p}(P) = \frac{1}{4\pi} \iint_S M(P, Q) [\vec{q}(Q) - \vec{q}(P_0)] d\omega_Q + \frac{1}{4\pi} \iint_S M(P, Q) \vec{q}(P_0) d\omega_Q.$$

ცხადია, რომ

$$\vec{p}(P) = \frac{1}{4\pi} \iint_S M(P, Q) [\vec{q}(Q) - \vec{q}(P_0)] d\omega_Q + \vec{q}(P_0), \quad P \in D^+, \quad (9)$$

$$\vec{p}(P) = \frac{1}{4\pi} \iint_S M(P, Q) [\vec{q}(Q) - \vec{q}(P_0)] d\omega_Q, \quad P \in D^+. \quad (10)$$

აღნიშნოთ $\vec{p}^+(P_0)$ -ით და $\vec{p}^-(P_0)$ -ით $\vec{p}(P)$ ვექტორის სასაზღვრო მნიშვნელობა, როცა $P \rightarrow P_0$ D^+ ან D^- არიდან შესაბამისად. (8) ფორმულის ძალით, (9) და (10) ფორმულებიდან ვღებულობთ:

$$\vec{p}^+(P_0) = \frac{1}{2} \vec{q}(P_0) + \frac{1}{4\pi} \iint_S M(P_0, Q) \vec{q}(Q) d\omega_Q, \tag{11}$$

$$\vec{p}^-(P_0) = -\frac{1}{2} \vec{q}(P_0) + \frac{1}{4\pi} \iint_S M(P_0, Q) \vec{q}(Q) d\omega_Q. \tag{12}$$

(11) და (12)-დან ვღებულობთ (სოხოცკის ფორმულებს) [2]:

$$\vec{p}^+(P_0) - \vec{p}^-(P_0) = \vec{q}(P_0), \tag{13}$$

$$\vec{p}^+(P_0) + \vec{p}^-(P_0) = \frac{1}{2\pi} \iint_S M(P_0, Q) \vec{q}(Q) d\omega_Q. \tag{14}$$

5. განსაკუთრებულ ინტეგრალთა გადასმის ფორმულა

ახლა ადვილია ჩვენება, რომ ადგილი აქვს განსაკუთრებულ ინტეგრალთა გადასმის შემდეგ ფორმულას (პუანკარე-ბერტრანის ფორმულა) [2]:

$$\begin{aligned} \iint_S M(P_0, Q) d\omega_Q \iint_S M(Q, Q_1) \vec{\varphi}(Q_1, Q) d\omega_{Q_1} &= 4\pi^2 \vec{\varphi}(P_0, P_0) \\ + \iint_S d\omega_{Q_1} \iint_S M(P_0, Q) M(Q, Q_1) \vec{\varphi}(Q_1, Q) d\omega_Q, \end{aligned} \tag{15}$$

სადაც $\vec{\varphi}(Q_1, Q)$ არის S ფართეულზე მოცემული ვექტორი, რომელიც აკმაყოფილებს ჰელდერის პირობას Q_1 და Q -ს მიმართ.

მაართლაც, განვიხილოთ ჰოლომორფული ვექტორები

$$\vec{\Phi}(P) \equiv \iint_S M(P, Q) d\omega_Q \iint_S M(Q, Q_1) \vec{\varphi}(Q_1, Q) d\omega_{Q_1},$$

$$\vec{\Psi}(P) \equiv \iint_S d\omega_{Q_1} \iint_S M(P, Q) M(Q, Q_1) \vec{\varphi}(Q_1, Q) d\omega_Q,$$

სადაც P აღნიშნავს წერტილს, რომელიც S -ზე არ არის მოთავსებული. ცხადია, რომ

$$\vec{\Phi}(P) \equiv \vec{\Psi}(P).$$

(14) ფორმულის ძალით გვქვინება:

$$\vec{\Phi}^+(P_0) + \vec{\Phi}^-(P_0) = \iint_S M(P_0, Q) d\omega_Q \iint_S M(Q, Q_1) \vec{\varphi}(Q_1, Q) d\omega_{Q_1}. \tag{16}$$

$\overline{\Psi}(P)$ -ს გამოსახულება ასე გადავწეროთ:

$$\begin{aligned} \overline{\Psi}(P) = & \iint_S d\omega_{Q_1} \iint_S M(P, Q) M(P, Q_1) \overline{\varphi}(Q_1, Q) d\omega_Q \\ & + \iint_S d\omega_Q \iint_S M(P, Q) [M(Q, Q_1) - M(P, Q_1)] \overline{\varphi}(Q_1, Q) d\omega_{Q_1}. \end{aligned} \quad (17)$$

(11) და (12)-ის ძალით (17)-დან გამომდინარეობს, რომ

$$\begin{aligned} \overline{\Psi}^+(P_0) + \overline{\Psi}^-(P_0) = & 4\pi^2 \overline{\varphi}(P_0, P_0) \\ & + \iint_S d\omega_{Q_1} \iint_S M(P_0, Q) M(Q, Q_1) \overline{\varphi}(Q_1, Q) d\omega_Q. \end{aligned} \quad (18)$$

(16) და (18)-ის განტოლება გვაძლევს (15) ფორმულას.

6. განსაკუთრებულ ინტეგრალურ განტოლებათა ერთი სისტემის შებრუნება

განვიხილოთ განსაკუთრებულ ინტეგრალურ განტოლებათა სისტემა

$$A \overline{\varphi}(P_0) + \frac{B}{2\pi} \iint_S M(P_0, Q) \overline{\varphi}(Q) d\omega_Q = \overline{f}(P_0), \quad P_0, Q \in S, \quad (19)$$

სადაც A და B მეოთხე რიგის მოცემული მუდმივი კვადრატული მატრიცებია, $\overline{f} \equiv (f_1, f_2, f_3, f_4)$ S -ზე მოცემული ვექტორია, რომელიც ჰელდერის პირობას აკმაყოფილებს, $\overline{\varphi} \equiv (\varphi_1, \varphi_2, \varphi_3, \varphi_4)$ S -ზე საძიებელი ვექტორია, რომელიც აგრეთვე ჰელდერის პირობას აკმაყოფილებს, ინტეგრალი განხილულია მთავარი მნიშვნელობის აზრით. თუ A და B აკმაყოფილებენ პირობებს: ა) $\det(A + B) \neq 0$; ბ) $\det(A - B) \neq 0$; გ) მატრიცას $G = (A + B)^{-1}(A + B)$ აქვს სახე

$$G = \begin{vmatrix} g_1 & g_2 & g_3 & g_4 \\ -g_2 & g_1 & -g_4 & g_3 \\ -g_3 & g_4 & g_1 & -g_2 \\ -g_4 & -g_3 & g_2 & g_1 \end{vmatrix}, \quad (20)$$

მაშინ (19) სისტემის ამოხსნა (ერთადერთი) მოიცემა ფორმულით [3]:

$$\begin{aligned} \overline{\varphi}(P_0) = & \frac{1}{2} [(A + B)^{-1} + (A - B)^{-1}] \overline{f}(P_0) \\ & + \frac{1}{4\pi} [(A + B)^{-1}(A - B) - E] \iint_S M(B, Q) (A - B)^{-1} \overline{f}(Q) d\omega_Q, \end{aligned} \quad (21)$$

სადაც E ერთეული მატრიცია.

კერძოდ, როცა $A = 0$ და $B = E$, (21)-დან ვღებულობთ პირველი გვარის სინგულარულ ინტეგრალურ განტოლებათა სისტემის ცალსახა შებრუნებას [5].

7°. ჰოლომორფული ვექტორის ერთი ინტეგრალური
 წარმოდგენა ნახევარ სივრცეში

ვთქვათ, ახლა D^+ ემთხვევა $Z > 0$ ზედა ნახევარ სიბრტყეს; $Z < 0$ ქვედა
 ნახევარ სიბრტყეს აღვნიშნავთ D^- -ით. ჩვენ ვაჩვენებთ, რომ $\vec{p} = (p_1, p_2, p_3, p_4)$
 ვექტორი, რომელიც ჰოლომორფულია D^+ არეში და ისპობა უსასრულოეთში,
 ცალსახად განისაზღვრება მისი ორი ნებისმიერი კომპონენტის მნიშვნელო-
 ბებით $z=0$ სიბრტყეზე S .

ერთადერთობა ცხადია. ადვილად მიიღება \vec{p} ვექტორის ინტეგრალური
 წარმოდგენაც p_1 და p_4 -ის სასაზღვრო მნიშვნელობების საშუალებით. ამ მიზ-
 ნით \vec{p} ვექტორი განესაზღვროთ D^- არეში ფორმულით:

$$\vec{p} = \{-p_1(x, y, -z), p_2(x, y, -z), p_3(x, y, -z), -p_4(x, y, -z)\}. \quad (22)$$

ცხადია, რომ (22) ფორმულით განსაზღვრული \vec{p} ვექტორი ჰოლომორ-
 ფულია D^- არეში. $\vec{p}^+(P_0)$ და $\vec{p}^-(P_0)$ სასაზღვრო მნიშვნელობებისათვის ვღე-
 ბულობთ

$$\vec{p}^+(P_0) - \vec{p}^-(P_0) = \vec{g}. \quad (23)$$

სადაც $g \equiv (2p_1, 0, 0, 2p_4)$. უბან-უბან ჰოლომორფული ვექტორი, რომელიც
 (23) პირობას აკმაყოფილებს, ცალსახად განისაზღვრება კოშის ტიპის ინტეგ-
 რალით:

$$\vec{p}(P) = \frac{1}{4\pi} \iint_S M(P, Q) \vec{g}(Q) d\xi d\eta. \quad (24)$$

(24) ფორმულა იძლევა \vec{p} ვექტორის საძიებელ ინტეგრალურ წარმოდ-
 გენას. ცხადია, \vec{p} ვექტორი შეიძლება წარმოვიდგინოთ p_2 და p_3 -ის სასაზღვრო
 მნიშვნელობების საშუალებითაც. ამ წარმოდგენას აქვს სახე

$$\vec{p} = \frac{1}{4\pi} \iint_S M(P, Q) \vec{g}_1(Q) d\xi d\eta, \quad (25)$$

სადაც

$$\vec{g}_1 \equiv (0, 2p_2, 2p_3, 0).$$

თუ მივიღებთ მხედველობაში ჰოლომორფული \vec{p} ვექტორისათვის კოშის
 მე-(5) ფორმულას, (24) და (25)-დან გვექნება

$$\frac{1}{4\pi} \iint_S M(P, Q) \vec{p}^+ d\xi d\eta = \begin{cases} \vec{p}(P), & P \in D^+ \\ 0, & P \in D^-, \end{cases} \quad (26)$$

$$\frac{1}{4\pi} \iint_S M(P, Q) \vec{p}^- d\xi d\eta = \begin{cases} \vec{p}(P), & P \in D^- \\ 0, & P \in D^+, \end{cases} \quad (27)$$

და

$$\frac{1}{4\pi} \iint_S M(P, Q) \vec{p}^- d\xi d\eta = 0, \quad P \in D^+, \quad (28)$$

$$\frac{1}{4\pi} \iint_S M(P, Q) \vec{p}^- d\xi d\eta = 0, \quad P \in D^-, \quad (29)$$

სადაც

$$\vec{p}^- \equiv (p_1, -p_2, -p_3, p_4).$$

(26), (27), (28), (29) ფორმულები იძლევა საშუალებას ამოვხსნათ პოტენციალთა თეორიის შემდეგი მარტივი ამოცანა: მოვძებნოთ როგორც D^+ ისე D^- არეში ჰარმონიული $u(x, y, z)$ ფუნქცია, რომელიც ისპობა უსასრულოში, შემდეგი სასაზღვრო პირობით S სიბრტყეზე:

$$u^+ - u^- = 0, \quad \alpha \left(\frac{\partial u}{\partial z} \right)^+ - (1 - \alpha) \left(\frac{\partial u}{\partial z} \right)^- = f(x, y), \quad (30)$$

სადაც α და f მოცემული ფუნქციებია, რომელნიც ჰელდერის პირობას აკმაყოფილებენ, ამასთან ვგულისხმობთ, რომ α -ს და $1 - \alpha$ -ს ერთნაირი ნიშანი აქვს. ცხადია, რომ ამ ამოცანას არ შეიძლება ჰქონდეს ერთზე მეტი ამოხსნა.

პირველად დავუშვათ, რომ $\alpha = \text{const}$. ადვილია შემჩნევა, რომ

$$\vec{p}^- \left(0, \frac{\partial u}{\partial x}, \frac{\partial u}{\partial y}, \frac{\partial u}{\partial z} \right)$$

ვექტორი პოლომორფულია როგორც D^+ , ისე D^- არეში. (30) პირობები ჩვენ შეგვიძლია შევცვალოთ ეკვივალენტური ვექტორული პირობით

$$\alpha \vec{p}^+ = \left(\frac{1}{2} - \alpha \right) \vec{p}^- + \frac{\vec{p}^-}{2} + \vec{g}, \quad (31)$$

ან პირობით

$$\frac{1}{2} \vec{p}^+ = (1 - \alpha) \vec{p}^- + \frac{1 - 2\alpha}{2} \vec{p}^+ + \vec{g}, \quad (32)$$

სადაც

$$\vec{g} \equiv (0, 0, 0, f).$$

თუ წერტილი $P \in D^-$, მაშინ (26), (27), (29) ფორმულების ძალით (31) პირობიდან ვღებულობთ

$$\vec{p}^-(P) = -\frac{1}{2\pi} \iint_S M(P, Q) \vec{g} d\xi d\eta. \quad (33)$$

როცა $P \in D^+$, მაშინ \vec{p}^+ ვექტორისათვის გვექნება

$$\vec{p}^+(P) = \frac{1}{2\pi} \iint_S M(P, Q) \vec{g} d\xi d\eta. \quad (34)$$

(33) და (34) ფორმულებიდან უშუალოდ გამომდინარეობს, რომ

$$u(x, y, z) = \frac{1}{2\pi} \iint_S \frac{f(\xi, \eta) d\xi d\eta}{[(\xi - x)^2 + (\eta - y)^2 + z^2]^{1/2}}. \quad (35)$$

ცხადია, რომ (35) წარმოადგენს ზემოდანსმული ამოცანის ამოხსნას არამუდმივი α -სათვისაც. იგულისხმება, რომ f აკმაყოფილებს პირობებს, რომლებიც საკმარისია (35)-ის მარჯვენა მხარის ინტეგრალის არსებობისათვის.

ჰოლომორფული ვექტორისათვის ზემოთ მიღებული ინტეგრალური წარმოადგენის გამოყენების მეორე მაგალითს წარმოადგენს შემდეგი ამოცანის ამოხსნა: მოვძებნოთ D^+ არეში ჰოლომორფული $\vec{p} \equiv (p_1, p_2, p_3, p_4)$ ვექტორი, რომელიც ისპობა უსასრულებელი, შემდეგი სასაზღვრო პირობებით:

$$g_1 p_1 + g_2 p_2 + g_3 p_3 + g_4 p_4 = \gamma_1, \quad -g_4 p_1 - g_3 p_2 + g_2 p_3 + g_1 p_4 = \gamma_4, \quad (36)$$

სადაც γ_1 და γ_4 S -ზე მოცემული ფუნქციებია, რომელნიც ჰელდერის პირობებს აკმაყოფილებენ, g_1, g_2, g_3, g_4 მოცემული რიცხვებია, ამასთან $g_1^2 + g_2^2 + g_3^2 + g_4^2 \neq 0$. ეს ამოცანა წარმოადგენს რიმან-ჰილბერტის ცნობილი ამოცანის [4] სივრცით ანალოგს.

\vec{p} ვექტორთან ერთად ჰოლომორფულია აგრეთვე $\vec{p}_1 = G\vec{p}$ ვექტორიც, სადაც G არის მატრიცი (20). (24) ფორმულის ძალით (36) პირობიდან გვექნება

$$\vec{p}_1 = \frac{1}{2\pi} \iint_S M(P, Q) \vec{g}(\gamma_1, 0, 0, \gamma_4) d\zeta d\eta. \quad (37)$$

ვინაიდან \vec{p}_1 ვექტორთან ერთად ჰოლომორფულია $\vec{p} = G^{-1}\vec{p}_1$ ვექტორიც, ამიტომ (37)-ის ძალით ვღებულობთ

$$\vec{p} = \frac{G^{-1}}{2\pi} \iint_S M(P, Q) \vec{g}(\gamma_1, 0, 0, \gamma_4) d\zeta d\eta.$$

შეენიშნავთ, რომ ღირსილეს ამოცანა ნახევარსიბრტყისათვის ამ ამოცანის კერძო შემთხვევას წარმოადგენს.

[2], [3], [5] შრომებში მოცემულია კოშის ტიპის ორგანზომილებიანი ინტეგრალის ზოგიერთი სხვა გამოყენება.

სსრ კავშირის მეცნიერებათა აკადემია

ვ. სტეკლოვის სახელობის

მათემატიკის ინსტიტუტი

(რედაქციას მოუვიდა 19.7.1954)

დამოწმებული ლიტერატურა

1. Gr. C. Moisil, N. Théodoresco. Fonctions holomorphes dans l'espace, *Mathematica*, 5, 141, 1931.
2. А. В. Бицадзе. Пространственный аналог интеграла типа Коши и некоторые его применения. *ДАН СССР*, т. 93, № 3, 1953. См. также поправки, *ДАН СССР*, т. 94, № 6, 1954.
3. А. В. Бицадзе. Обращение одной системы сингулярных интегральных уравнений. *ДАН СССР*, т. 93, № 4, 1953.
4. Н. И. Мухелишвили. Сингулярные интегральные уравнения. Гостехиздат. М.—Л., 1946.
5. А. В. Бицадзе. Пространственный аналог интеграла типа Коши и некоторые его применения. *Известия АН СССР (серия математическая)*, 17, № 6, 1953.



ი. შაპო

ს. ბერნშტეინისა და ი. პრივალოვის თეორემების ზოგიერთი
გამოყენების შესახებ

(წარმოადგინა აკადემიის ნამდვილმა წევრმა ვ. კუპრაძემ 25.3.1954)

1. ვთქვათ, $t_n(x)$ წარმოადგენს n -ური რიგის ტრიგონომეტრიულ პოლინომს. ს. ბერნშტეინს [1] ეკუთვნის შემდეგი თეორემა:

თუ $|t_n(x)| < C$, მაშინ $|t'_n(x)| < C \cdot n$.

ი. პრივალოვმა [2] გადაიტანა რა ეს თეორემა ნებისმიერ $(a, b) \subset [-\pi, \pi]$ ინტერვალისათვის, მიიღო შემდეგი:

თუ $|t_n(x)| < C$, $x \in (a, b)$, მაშინ ყოველი $\varepsilon > 0$ -სათვის $(a + \varepsilon, b - \varepsilon)$ -ზე $|t'_n(x)| < K\varepsilon n$, სადაც $K\varepsilon$ მუდმივია დამოკიდებული ε -ზე ($K\varepsilon \rightarrow \infty$, როცა $\varepsilon \rightarrow 0$).

ს. ბერნშტეინისა და ი. პრივალოვის აღნიშნული თეორემები სათანადოდ გადაიტანება ორმაგ ტრიგონომეტრიულ პოლინომებზე.

2. შევნიშნოთ, რომ ორმაგი ტრიგონომეტრიული პოლინომი $T_{m, n}(x, y)$,

$$T_{m, n}(x, y) = \sum_{k=0}^m \sum_{l=0}^n \lambda_{k, l} (a_{k, l} \cos kx \cos ly + b_{k, l} \sin kx \cos ly + c_{k, l} \cos kx \sin ly + d_{k, l} \sin kx \sin ly),$$

სადაც

$$\lambda_{k, l} = 1, \lambda_{0, l} = \lambda_{k, 0} = \frac{1}{2}, \quad k, l \geq 1, \quad \lambda_{0, 0} = \frac{1}{4},$$

შეიძლება ასე წარმოვადგინოთ

$$T_{m, n}(x, y) = A_{0, n}(y) + \sum_{k=1}^m [A_{k, n}(y) \cos kx + B_{k, n}(y) \sin kx], \quad (1)$$

სადაც

$$A_{0, n}(y) = \frac{1}{4} a_{0, 0} + \frac{1}{2} \sum_{l=1}^n (a_{0, l} \cos ly + c_{0, l} \sin ly),$$

$$A_{k, n}(y) = \frac{1}{2} a_{k, 0} + \sum_{l=1}^n (a_{k, l} \cos ly + c_{k, l} \sin ly), \quad k > 0$$

$$B_{k, n}(y) = \frac{1}{2} b_{k, 0} + \sum_{l=1}^n (b_{k, l} \cos ly + d_{k, l} \sin ly), \quad k > 0$$

ვთქვათ, ინტერვალი $[a, b; c, d] \in [-\pi, \pi; -\pi, \pi]$ და მის ყოველ წერტილზე შესრულებულია უტოლობა

$$|T_{m, n}(x, y)| < C, \tag{2}$$

ი. პრივალვის თეორემის თანახმად და (1), (2) თანათარღობების ძალით

$$\left| \frac{\partial T_{m, n}(x, y)}{\partial x} \right| < K_{\varepsilon_1} C_m, (x, y) \in [a + \varepsilon_1, b - \varepsilon_1; c, d], \tag{3}$$

სადაც K_{ε_1} დამოკიდებულია ε_1 -ზე, $\varepsilon_1 > 0$.

$T_{m, n}(x, y)$ პოლინომი შეიძლება წარმოვადგინოთ როგორც y ცვლადის პოლინომი, რომლის კოეფიციენტები დამოკიდებული იქნება x ცვლადზე, მაშინ მივიღებთ

$$\left| \frac{\partial T_{m, n}(x, y)}{\partial y} \right| < L_{\varepsilon_2} C_n, (x, y) \in [a, b; c + \varepsilon_2, d + \varepsilon_2], \tag{4}$$

სადაც L_{ε_2} დამოკიდებულია ε_2 -ზე, $\varepsilon_2 > 0$.

თუ დავუშვებთ, რომ ყოველი x, y -სათვის $|T_{m, n}(x, y)| < C$, მაშინ ს. ბერნშტეინის თეორემის გამოყენებით მივიღებთ

$$\begin{aligned} \left| \frac{\partial T_{m, n}(x, y)}{\partial x} \right| < C_m, \quad \left| \frac{\partial T_{m, n}(x, y)}{\partial y} \right| < C_n, \\ \left| \frac{\partial^2 T_{m, n}(x, y)}{\partial x \partial y} \right| < C_{m, n}. \end{aligned} \tag{5}$$

აღენიშნოთ ზოგიერთი გამოყენებანი მიღებული უტოლობებისა ორმაგი ტრიგონომეტრიული მწკრივების კრებადობის საკითხში.

3. ცნობილია [1], რომ, თუ

$$\frac{a_0}{2} + \sum_{n=1}^{\infty} (a_n \cos nx + b_n \sin nx), \quad \sum_{n=1}^{\infty} (a_n \sin nx - b_n \cos nx)$$

წარმოადგენენ უწყვეტი ფუნქციის ფურიეს მწკრივებს, მაშინ ერთ-ერთი მათგანის თანაბარი კრებადობა მოასწავებს მეორის თანაბარ კრებადობას. გაღვიტანოთ ეს თეორემა ორმაგი მწკრივების შემთხვევაში.

ვთქვათ,

$$\begin{aligned} \sum_{m=0}^{\infty} \sum_{n=0}^{\infty} \lambda_{m, n} (a_{m, n} \cos mx \cos ny + b_{m, n} \sin mx \cos ny + c_{m, n} \cos mx \sin ny \\ + d_{m, n} \sin mx \sin ny) = \sum_{m=0}^{\infty} \sum_{n=0}^{\infty} \lambda_{m, n} A_{m, n}(x, y), \end{aligned} \tag{6}$$

$$\begin{aligned} \sum_{m=1}^{\infty} \sum_{n=0}^{\infty} \lambda_{m, n} (-b_{m, n} \cos mx \cos ny + a_{m, n} \sin mx \cos ny \\ - d_{m, n} \cos mx \sin ny + c_{m, n} \sin mx \sin ny), \end{aligned} \tag{7}$$

$$\sum_{m=0}^{\infty} \sum_{n=1}^{\infty} \lambda_{m, n} (-c_{m, n} \cos mx \sin ny - d_{m, n} \sin mx \cos ny + a_{m, n} \cos mx \sin ny + b_{m, n} \sin mx \sin ny), \quad (8)$$

$$\sum_{m=1}^{\infty} \sum_{n=1}^{\infty} (d_{m, n} \cos mx \cos ny - c_{m, n} \sin mx \cos ny - b_{m, n} \cos mx \sin ny + a_{m, n} \sin mx \sin ny) \quad (9)$$

წარმოადგენენ სათანადოდ ფურიეს⁽¹⁾ ორმაგ მწკრივებს $f(x, y)$, $\bar{f}_1(x, y)$, $\bar{f}_2(x, y)$ და $\bar{f}_3(x, y)$ ფუნქციებისათვის. ადგილი აქვს შემდეგ თეორემას:

თეორემა 1. თუ $f(x, y)$, $\bar{f}_1(x, y)$, $\bar{f}_2(x, y)$, $\bar{f}_3(x, y)$ უწყვეტი ფუნქციებია და (7), (8), (9) მწკრივები თანაბრად კრებადია, მაშინ (6) თანაბრად კრებადია.

დამტკიცება. ვთქვათ, $S_{m, n}(x, y)$, $\bar{S}_{m, n}^{(1)}(x, y)$, $\bar{S}_{m, n}^{(2)}(x, y)$, $\bar{S}_{m, n}^{(3)}(x, y)$ აღნიშნავენ (6), (7); (8), (9) მწკრივების კერძო ჯამებს, ხოლო $\sigma_{m, n}(x, y)$ — (6) მწკრივის საშუალო არითმეტიკულს. ადვილი შესამოწმებელია, რომ

$$\begin{aligned} \sigma_{m, n}(x, y) - S_{m, n}(x, y) &= \frac{1}{(m+1)(n+1)} \sum_{k=1}^m \sum_{l=1}^n kl A_{k, l}(x, y) \\ &- \frac{1}{m+1} \sum_{k=1}^m \sum_{l=1}^n \lambda_{k, l} k A_{k, l}(x, y) - \frac{1}{n+1} \sum_{k=0}^m \sum_{l=1}^n \lambda_{k, l} l A_{k, l}(x, y) \\ &= \frac{1}{(m+1)(n+1)} \frac{\partial^2 \bar{S}_{m, n}^{(3)}(x, y)}{\partial x \partial y} - \frac{1}{m+1} \frac{\partial \bar{S}_{m, n}^{(1)}(x, y)}{\partial x} \\ &- \frac{1}{n+1} \frac{\partial \bar{S}_{m, n}^{(2)}(x, y)}{\partial y}. \end{aligned} \quad (10)$$

რადგან (7), (8) და (9) თანაბრად კრებადნი არიან, ამიტომ $\varepsilon > 0$ -სათვის მოიძებნება ისეთ რიცხვთა წყვილები (m_0, n_0) , (m_1, n_1) , (m_2, n_2) , რომ

$$|\bar{S}_{m, n}^{(3)}(x, y) - \bar{S}_{m_0, n_0}^{(3)}(x, y)| < \frac{\varepsilon}{6}, \quad m > m_0, \quad n > n_0,$$

$$|\bar{S}_{m, n}^{(1)}(x, y) - \bar{S}_{m_1, n_1}^{(1)}(x, y)| < \frac{\varepsilon}{6}, \quad m > m_1, \quad n > n_1,$$

$$|\bar{S}_{m, n}^{(2)}(x, y) - \bar{S}_{m_2, n_2}^{(2)}(x, y)| < \frac{\varepsilon}{6}, \quad m > m_2, \quad n > n_2$$

თანაბრად (x, y) -სათვის.

(¹ (7), (8), (9) მწკრივებს ეწოდება (6) მწკრივის შეუღლებული სათანადოდ x ცვლადის მიმართ, y ცვლადის მიმართ და x, y ცვლადების მიმართ.

(5) უტოლობის ძალით გვაქვს

$$\begin{aligned} \left| \frac{\partial^2}{\partial x \partial y} [\bar{S}_{m,n}^{(3)}(x,y) - \bar{S}_{m_0,n_0}^{(3)}(x,y)] \right| &< \frac{\varepsilon}{6} mn, \quad m > m_0, \quad n > n_0, \\ \left| \frac{\partial}{\partial x} [\bar{S}_{m,n}^{(1)}(x,y) - \bar{S}_{m_1,n_1}^{(1)}(x,y)] \right| &< \frac{\varepsilon}{6} m, \quad m > m_1, \quad n > n_1, \\ \left| \frac{\partial}{\partial y} [\bar{S}_{m,n}^{(2)}(x,y) - \bar{S}_{m_2,n_2}^{(2)}(x,y)] \right| &< \frac{\varepsilon}{6} n, \quad m > m_2, \quad n > n_2 \end{aligned} \quad (11)$$

თანაბრად (x, y) -სათვის.

შევარჩიოთ რიცხვები $\bar{m} > \max \{m_0, m_1, m_2\}$, $\bar{n} > \max \{n_0, n_1, n_2\}$ ისე, რომ, როცა $m > \bar{m}$

$$\frac{1}{m+1} \left| \frac{\partial^2 \bar{S}_{m_0,n_0}^{(3)}(x,y)}{\partial x \partial y} \right| < \frac{\varepsilon}{6}; \quad \frac{1}{m+1} \left| \frac{\partial \bar{S}_{m_1,n_1}^{(1)}(x,y)}{\partial x} \right| < \frac{\varepsilon}{6} \quad (12)$$

და როცა $n > \bar{n}$

$$\frac{1}{n+1} \left| \frac{\partial \bar{S}_{m_2,n_2}^{(2)}(x,y)}{\partial y} \right| < \frac{\varepsilon}{6}. \quad (13)$$

თუ გამოვიყენებთ (10), (11), (12) და (13) თანაფარდობებს, გვექნება

$$|\sigma_{m,n}(x,y) - S_{m,n}(x,y)| < \varepsilon, \quad m > \bar{m}, \quad n > \bar{n} \quad (14)$$

თანაბრად (x, y) -ის მიმართ.

რადგან $f(x, y)$ უწყვეტია, ამიტომ $\{\sigma_{m,n}(x,y)\}$ თანაბრად კრებადია $f(x, y)$ ფუნქციისაკენ და (14) ძალით (6) მწკრივი თანაბრად კრებადია.

შენიშვნა 1. ცხადია, რომ (7), (8) და (9) მწკრივების ნაცვლად ჩვენ შეგვეძლო აგველო ნებისმიერი სხვა სამი მწკრივი, მოგვეთხოვა მათი თანაბარი კრებადობა, რაც უზრუნველყოფდა დარჩენილი მე-4 მწკრივის თანაბარ კრებადობას. ამგვარად სამართლიანია შემდეგი

თეორემა 2. თუ $f(x, y)$, $\bar{f}_1(x, y)$, $\bar{f}_2(x, y)$, $\bar{f}_3(x, y)$ უწყვეტი ფუნქციებია და ოთხი (6), (7), (8), (9) მწკრივებიდან ნებისმიერი სამი თანაბრად კრებადია, მაშინ მეოთხე მწკრივიც თანაბრად კრებადია.

შენიშვნა 2. თანაფარდობა $\sigma_{m,n}(x,y) - f(x,y) \rightarrow 0$, $m, n \rightarrow \infty$ დამტკიცებულია იმ პირობებში, როცა (7), (8), (9) მწკრივები თანაბრად კრებადია. მაგრამ მაშინ (7), (8), (9) იქნება უწყვეტი ფუნქციის ფურიეს მწკრივები და ბესელის უტოლობის გამო მივიღებთ

$$\sum_{m=0}^{\infty} \sum_{n=0}^{\infty} \lambda_{m,n} (a_{m,n}^2 + b_{m,n}^2 + c_{m,n}^2 + d_{m,n}^2) < +\infty.$$

ამგვარად (6) მწკრივი ფიშერ-რისის თეორემის ძალით იქნება $f(x, y) \in L^2$ ფუნქციის ფურიეს მწკრივი და $\sigma_{m,n}(x,y) \rightarrow f(x,y)$ თითქმის ყველგან, როცა $m, n \rightarrow \infty$, მაშასადამე, თითქმის ყველგან

$$\lim_{\substack{m \rightarrow \infty \\ n \rightarrow \infty}} S_{m,n}(x,y) = f(x,y).$$

ამ შენიშვნის საფუძველზე სამართლიანი ხდება შემდეგი

თეორემა 3. თუ ოთხი (6), (7), (8), (9) მწკრივიდან ნების-
მიერი სამი თანაბრად კრებადია, მაშინ მეოთხე კრებადია
თითქმის ყველგან.

4. საზოგადოდ $f(x, y)$ ფუნქციის მიახლოებას ახდენენ მთელ სიბრტყეზე
ტრიგონომეტრიული პოლინომებით. ზოგჯერ კი უმჯობესია $f(x, y)$ ფუნქციის
მიახლოების შესწავლა ტრიგონომეტრიული პოლინომებით რაიმე ოთხკუთხედზე

$$G \in [-\pi, \pi, -\pi, \pi].$$

ვთქვათ, $f(x, y)$ უწყვეტია $G = [a, b; c, d] \in [-\pi, \pi, -\pi, \pi]$ ოთხკუთ-
ხედზე და $E_{m, n}^T = E_{m, n}^T(f)$ არის $f(x, y)$ ფუნქციის საუკეთესო მიახლოება
 G -ზე ტრიგონომეტრიული პოლინომებით $T_{m, n}(x, y)$, რომლის რიგი x -ის მი-
მართ $\equiv m$ და რიგი y -ის მიმართ $\equiv n$.

სამართლიანია

თეორემა 4. თუ ყოველი ნატურალური m და n -სათვის

$$E_{m, n}^T < C(m^{-\alpha} + n^{-\alpha}), \quad 0 < \alpha < 1 \quad (15)$$

მაშინ $f(x, y) \in Lip \alpha$ ყოველ სწორკუთხედში

$$G_{\varepsilon_1, \varepsilon_2} = [a + \varepsilon_1, b - \varepsilon_1; c + \varepsilon_2, d - \varepsilon_2].$$

დამტკიცება. (15)-ის ძალით ყოველი m -სათვის მოიძებნება ისეთი
პოლინომი $T_{m, m}(x, y)$, რომ

$$|T_{m, m}(x, y) - f(x, y)| < 2Cm^{-\alpha}. \quad (16)$$

შემოვიღოთ აღნიშვნა

$$u_0(x, y) = T_{1, 1}(x, y),$$

$$u_m(x, y) = T_{2^m, 2^m}(x, y) - T_{2^{m-1}, 2^{m-1}}(x, y), \quad m \equiv 1 \quad (17)$$

ცხადია, რომ

$$f(x, y) = \sum_{m=1}^{\infty} u_m(x, y) \quad (18)$$

(16) და (17) გამოვლებულობთ

$$|u_m(x, y)| < C_1 2^{-m\alpha}, \quad (x, y) \in G \quad (19)$$

თუ გამოვიყენებთ (3) უტოლობას, მივიღებთ

$$|u_m(x+h, y) - u_m(x, y)| < K_{\varepsilon_1} C_1 2^{m(1-\alpha)} h, \quad (20)$$

სადაც $a + \varepsilon_1 < x < x + h < b - \varepsilon_1$, $h > 0$, $c < y < d$ და K_{ε_1} დამოკიდებუ-
ლია ε_1 -ზე.

ვთქვათ, $0 < h \equiv \frac{1}{2^p}$ და p რიცხვი განსაზღვრულია პირობით

$$2^{p-1} \equiv \frac{1}{h} < 2^p \quad (21)$$

(18), (19), (20) და (21) თანადობებიდან გამომდინარეობს, რომ, როცა

$$0 < \alpha < 1, \quad (x, y) \in G_{\varepsilon_1, \varepsilon_2}, \quad (x+h, y) \in G_{\varepsilon_1, \varepsilon_2}$$

ადგილი აქვს უტოლობას

$$|f(x+h, y) - f(x, y)| < K_{\varepsilon_1} C_1 h \sum_{m=0}^{p-1} 2^{m(1-\alpha)} + C_2 2^{-p\alpha} < C_3 h^\alpha,$$

სადაც C_3 დამოკიდებულია C , α და ε_1 -ზე.

ანალოგიურად (4) უტოლობის გამოყენებით ვღებულობთ

$$|f(x, y+\eta) - f(x, y)| < C_4 h^\alpha,$$

სადაც $(x, y) \in G_{\varepsilon_1, \varepsilon_2}$, $(x, y+\eta) \in G_{\varepsilon_1, \varepsilon_2}$ და C_4 დამოკიდებულია C , α და ε_2 -ზე.

მოვიყვანოთ თეორემა 4-ის ერთი გამოყენება. ვთქვათ, $\bar{\sigma}_{m,n}^1(x, y)$, $\bar{\sigma}_{m,n}^2(x, y)$, $\bar{\sigma}_{m,n}^3(x, y)$ წარმოადგენენ სათანადოდ (7), (8) და (9) მწკრივების (c, I, I) საშუალოებს. ლ. ჩეზარის [3] ეკუთვნის შემდეგი თეორემა:

თუ $f(x, y) \in Lip \alpha$, $0 < \alpha < 1$ და $R = [-\pi, \pi, -\pi, \pi]$, მაშინ ყოველ შიგა სწორკუთხედზე შესრულებულია პირობა:

$$\bar{\sigma}_{m,n}^{(i)}(x, y) - \bar{f}_i(x, y) = O(m^{-\alpha'}) + O(n^{-\alpha'}), \quad i=1, 2, 3, \quad 0 < \alpha' < \alpha. \quad (22)$$

ვაჩვენოთ, რომ (22) ტოლობაში α' შეცვლა α არ შეიძლება.

დავუშვათ წინააღმდეგი, ე. ი. ყოველ სწორკუთხედზე $G = [a, b, c, d] \in R$ ადგილი აქვს ტოლობას

$$\bar{\sigma}_{m,n}^{(i)}(x, y) - \bar{f}_i(x, y) = O(m^{-\alpha}) + O(n^{-\alpha}), \quad 0 < \alpha < 1$$

მაშინ საუკეთესო მიახლოებას ექნება შემდეგი რივი

$$E_{m,n}^T = O(m^{-\alpha}) + O(n^{-\alpha}).$$

თეორემა 4-ით ძალით $f(x, y) \in Lip \alpha$, რაც საზოგადოდ არ არის სწორი [4].

ა. ს. სერაფიმოვიჩის სახელობის

სტალინგრადის სახელმწიფო პედაგოგიური
ინსტიტუტი

(რედაქციას მოუვიდა 3.2.1954)

დამოწმებული ლიტერატურა

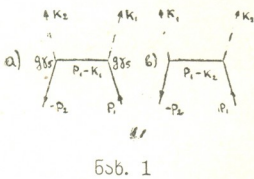
1. А. Зигмунд. Тригонометрические ряды. М.—Л., 1939.
2. И. И. Привалов. Интеграл Коши. Саратов, 1919.
3. L. Cesàri. Annali di Pisa, (2) 7, 1938, 279—295.
4. И. Е. Жак. По поводу одной теоремы Л. Чезара о сопряженных функциях двух переменных. ДАН СССР, 87, № 5, 1952.

3. ასრიზაკოვი

ნუკლონ-ანტინუკლონის ორმეზონიანი ანიჰილაციისათვის
ვაკუუმის შესწორებები⁽¹⁾

(წარმოადგინა აკადემიის წევრ-კორესპონდენტმა ვ. მამასახლისოვმა 9.4.1954)

[1]-ის მეთოდის თანახმად $N - AN$ წყვილთა ორმეზონიანი ანიჰილაციის ძირითადი პროცესი ზოგად შემთხვევაში ორი გრაფიკის საშუალებით წარმოიდგინება ($P - AP$ და $n - An$ წყვილთათვის დამუხტულ მეზონებად დაშლის შემთხვევაში ერთი გრაფიკი გვაქვს).



აქ უწყვეტი ხაზები შეესაბამება ნუკლონების გავრცელებას, პუნქტირული კი მეზონთა გავრცელებას (ნახ. 1).

ფსევდოსკალარული ურთიერთქმედების $g_{ps}\gamma_5$ ოპერატორის დახმარებით მატრიცული ელემენტები A (გრაფიკი a) და B (გრაფიკი b) შემდეგი სახით ჩაიწერება:

$$A_{ps} = g_{ps}^2 \bar{u}_2 \gamma_5 (\hat{p}_1 - \hat{k}_1 - M)^{-1} \gamma_5 u_1; \quad B_{ps} = g_{ps}^2 \bar{u}_2 \gamma_5 (\hat{p}_1 - \hat{k}_2 - M)^{-1} \gamma_5 u_1. \quad (II, 1)$$

გრაფიკის ყოველ კვანძში ადგილი აქვს ენერგია-იმპულსის შენახვის კანონს: $p_1 + p_2 = k_1 + k_2$. განვსაზღვროთ შუალედური იმპულსები ასე:

$$p_3 = p_1 - k_1 = -p_2 + k_2; \quad p_4 = p_1 - k_2 = -p_2 + k_1 \quad (II, 2)$$

და შემოვიღოთ გამოთვლებში გამოყენებული ინვარიანტული კომბინაციები

$$M^2 \alpha = M^2 - p_3^2 = 2 p_1 \cdot k_1 - \mu^2; \quad M^2 \beta = M^2 - p_4^2 = 2 p_1 \cdot k_2 - \mu^2, \quad (II, 3)$$

სადაც M და μ , შესაბამისად, ნუკლონისა და მეზონის მასებს წარმოადგენენ.

მაშინ მარტივი გარდაქმნების შედეგად ძირითადი პროცესის სრული მატრიცული ელემენტი შემდეგ კომპაქტურ სახეს მიიღებს:

(¹ წინამდებარე სტატია მკიდრო კავშირშია [3] სტატიის შედეგებთან, რომელსაც ჩვენ ტექსტში ყველგან მოვისხენიებთ, როგორც I. ფორმულების განსასხვავებლად ამ სტატიის ტექსტში მოყვანილი ფორმულები აიღება რომაული ციფრით II.

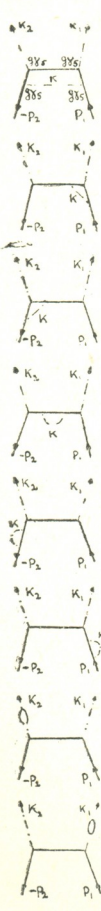
$$W_{ps} = A_{ps} + B_{ps} = \bar{u}_2 (A_{ps}^0 + B_{ps}^0) u_1$$

$$= \frac{g^{ps}}{M^2} \bar{u}_2 \left[\frac{1}{\alpha} (\widehat{p}_3 - M) + \frac{1}{\beta} (\widehat{p}_4 - M) \right] u_1. \quad (II, 4)$$

ვაკუუმის შესწორებების გამოთვლა

ერთობლიობა გრაფიკებისა, რომელნიც შეესაბამებიათ ძირითადი მატრიცული ელემენტისათვის A_{ps}^0 (II, 1) ($A_{ps} = \bar{u}_2 A_p^0 u_1$) ვაკუუმის პირველ შესწორებებს (მეორე მიახლოებას), წარმოდგენილია ნახ. 2-ზე:

$$g_{1s} = g$$



$$\frac{g^4}{\pi i} \int \gamma_5 (\widehat{p}_2 - \widehat{k} - M)^{-1} \gamma_5 (\widehat{p}_3 - \widehat{k} - M)^{-1} \gamma_5 (\widehat{p}_1 - \widehat{k} - M)^{-1} \gamma_5 \times$$

$$\times (\widehat{k}^2 - \mu^2)^{-1} d^4 k, \quad I^\circ$$

$$\frac{g^4}{\pi i} \int \gamma_5 (\widehat{p}_3 - M)^{-1} \gamma_5 (\widehat{p}_1 - \widehat{k}_1 - \widehat{k} - M)^{-1} \gamma_5 (\widehat{p}_1 - \widehat{k} - M)^{-1} \gamma_5 \times$$

$$\times (\widehat{k}^2 - \mu^2)^{-1} d^4 k, \quad II^\circ$$

$$\frac{g^4}{\pi i} \int \gamma_5 (\widehat{p}_2 - \widehat{k} - M)^{-1} \gamma_5 (\widehat{p}_2 + \widehat{k}_2 - \widehat{k} - M)^{-1} \gamma_5 (\widehat{p}_3 - M)^{-1} \gamma_5 \times$$

$$\times (\widehat{k}^2 - \mu^2)^{-1} d^4 k, \quad III^\circ$$

$$\frac{g^4}{\pi i} \int \gamma_5 (\widehat{p}_3 - M)^{-1} \gamma_5 (\widehat{p}_3 - \widehat{k} - M)^{-1} \gamma_5 (\widehat{p}_3 - M)^{-1} \gamma_5 \times$$

$$\times (\widehat{k}^2 - \mu^2)^{-1} d^4 k, \quad IV^\circ$$

$$\frac{g^4}{\pi i} \int \gamma_5 (\widehat{p}_2 - \widehat{k} - M)^{-1} \gamma_5 (\widehat{p}_2 - M)^{-1} \gamma_5 (\widehat{p}_3 - M)^{-1} \gamma_5 \times$$

$$\times (\widehat{k}^2 - \mu^2)^{-1} d^4 k, \quad V^\circ$$

$$\frac{g^4}{\pi i} \int \gamma_5 (\widehat{p}_3 - M)^{-1} \gamma_5 (\widehat{p}_1 - M)^{-1} \gamma_5 (\widehat{p}_1 - \widehat{k} - M)^{-1} \gamma_5 \times$$

$$\times (\widehat{k}^2 - \mu^2)^{-1} d^4 k, \quad VI^\circ$$

$$- 2 g^2 \gamma_5 (\widehat{p}_3 - M)^{-1} \gamma_5 (\widehat{k}_2^2 - \mu^2)^{-1} \times$$

$$\times \frac{g^2}{\pi i} \int \text{Sp} \left[\left(\widehat{p} - \frac{\widehat{k}_2}{2} - M \right)^{-1} \gamma_5 \left(\widehat{p} + \frac{\widehat{k}_2}{2} - M \right)^{-1} \gamma_5 \right] d^4 p, \quad VII^\circ$$

$$- 2 g^2 \gamma_5 (\widehat{p}_3 - M)^{-1} \gamma_5 (\widehat{k}_1^2 - \mu^2)^{-1} \times$$

$$\times \frac{g^2}{\pi i} \int \text{Sp} \left[\left(\widehat{p} - \frac{\widehat{k}_1}{2} - M \right)^{-1} \gamma_5 \left(\widehat{p} + \frac{\widehat{k}_1}{2} - M \right)^{-1} \gamma_5 \right] d^4 p. \quad VIII^\circ$$

ნახ. 2

ანალოგიური შესწორებები მატრიცული B_{ps}^0 ელემენტისათვის შეიძლება მიღებულ იქნეს \widehat{k}_1 და \widehat{k}_2 ოპერატორების გადასმის გზით. ყველა შესწორების მატრიცული წევრები (გარდა I^o-ისა) იმპულსთა სივრცეში იძლევა გან-

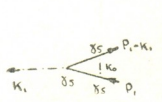
შლად ინტეგრალებს. ასეთი განშლადობები შეიძლება მოხსნილ იქნეს რეგულარიზაციის მეთოდისა და მუხტურ-მასური გადანორმირების ტექნიკის გამოყენებით (რაც განხილულია I-ში).

გრაფიკი I^o აღწერს ნუკლონისა და ანტინუკლონის ურთიერთქმედებას მათი მეზონური ბუნების მიხედვით. გრაფიკის შესაბამისი მატრიცული ელემენტი ოპერატორულ გამარტივებათა შედეგად დაიყვანება ერთნაირი სახის ინტეგრალების ჯამზე (როდესაც $\widehat{p}_2 = -p_2 \mu \gamma_5$)

$$I^o = -\frac{g^4}{8\pi} \{ f(\widehat{p}_1, \widehat{p}_2, \widehat{p}_3) J_0 - f_\sigma(\widehat{p}_1, \widehat{p}_2, \widehat{p}_3) J_\sigma + f_{\sigma\tau}(\widehat{p}_1, \widehat{p}_2, \widehat{p}_3) J_{\sigma\tau} - \gamma_\sigma \gamma_\tau \gamma_\nu J_{\sigma\tau\nu} \}. \quad (II, 5)$$

ინტეგრალები J_0 და J_σ შეფასებულია I-ში. რაც შეეხება $J_{\sigma\tau}$ და $J_{\sigma\tau\nu}$ ინტეგრალებს, ისინი, როგორც ეს გამოთვლებიდან ჩანს, დაიყვანება უფრო მარტივ ინტეგრალებზე $F_0, F_\sigma, H_\sigma, J_0, J_\sigma$, რომლებიც იქვეა განხილული.

II^o და III^o გრაფიკების ანალიზზე გადასვლამდე განვიხილოთ ზოგადი შემთხვევა გრაფიკისა, რომელიც შეესაბამება „Vertex-part“-ს,



$$V = \int \gamma_5 (\widehat{p}_1 - \widehat{k}_1 - \widehat{k}_0 - M)^{-1} \gamma_5 (\widehat{p}_1 - \widehat{k}_0 - M)^{-1} \gamma_5 \times \\ \times (\widehat{k}_0^2 - \mu^2)^{-1} d^4 k_0. \quad (II, 6)$$

ნახ. 3 V -ს ოპერატორული ნაწილის გარდაქმნას ის დაჰყავს G -ინტეგრალების ჯამზე:

$$V = -\frac{1}{8i} \{ (\widehat{p}_1 - \widehat{k}_1 - M) (\widehat{p}_1 + M) \gamma_5 \cdot G_0 + [\gamma_\sigma (\widehat{p}_1 + M) \gamma_5 + (\widehat{p}_1 - \widehat{k}_1 - M) \gamma_\sigma \gamma_5] \cdot G_\sigma^{(1)} - \gamma_\sigma \gamma_\tau \gamma_5 G_{\sigma\tau}^{(1)} \}. \quad (II, 6a)$$

$G_0^{(1)}, G_\sigma^{(1)}$ და $G_{\sigma\tau}^{(1)}$ -ის გამოსახულებები მოყვანილია I-ში.

V -ს მატრიცული კომბინაციების დახმარებით მატრიცული ელემენტები, შესაბამისნი II^o და III^o გრაფიკებისა, შეიძლება წარმოდგენილ იქნეს კომპაქტური სახით

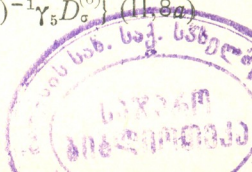
$$II^o = \frac{g^4}{\pi i} \gamma_5 (\widehat{p}_3 - M)^{-1} V(\widehat{p}_1, \widehat{k}_1); \quad III^o = \frac{g^4}{\pi i} \bar{V}(\widehat{p}_2, \widehat{k}_2) (\widehat{p}_3 - M)^{-1} \gamma_5, \quad (II, 7)$$

სადაც ხაზი ტრანსპონირებას აღნიშნავს.

შესწორების გრაფიკები IV^o, V^o, VI^o, მიზანშეწონილია ერთად განვიხილოთ — სამივე მატრიცული ელემენტი შეიცავს „ნუკლონის საკუთარი ენერგისათვის“ (I, 1) დამახასიათებელ განშლად ინტეგრალს.

(I, 4)-ის ანალოგიურად IV^o, V^o და VI^o მატრიცული ელემენტები დაიყვანება ისეთ სახეზე, რომელიც მოხერხებულია გადანორმირების პროცედურის ჩატარებისათვის:

$$IV^o = \frac{g^4}{8\pi} \{ \gamma_5 (\widehat{p}_3 - M)^{-1} \gamma_5 (D_0 - D_\sigma^{(0)}) - M \gamma_5 (\widehat{p}_3 - M)^{-1} (\widehat{p}_3 - M)^{-1} \gamma_5 D_\sigma^{(0)} \} \quad (II, 8a)$$



$$V^\circ = \frac{g^4}{8\pi} \{ \gamma_5 (\widehat{p}_3 - M)^{-1} \gamma_5 (C_0 - C_\sigma^{(0)}) - M (\widehat{p}_2 - M)^{-1} \gamma_5 (\widehat{p}_3 - M)^{-1} \gamma_5 C_\sigma^{(0)} \} \quad (II, 8b)$$

$$VI^\circ = \frac{g^4}{8\pi} \{ \gamma_5 (\widehat{p}_3 - M)^{-1} \gamma_5 (C_0 - C_\sigma^{(0)}) - M \gamma_5 (\widehat{p}_3 - M)^{-1} \gamma_5 (\widehat{p}_1 - M)^{-1} C_\sigma^{(0)} \}. \quad (II, 8c)$$

მას-გადანორმირების აუცილებლობა იმიტოა გამოწვეული, რომ ადგილი აქვს ვირტუალურ k მეზონის გამოსხივებასა და შთანთქმას. ამის გამო $IV^\circ - VI^\circ$ გრაფიკთა ძირითადი ეფექტი ΔM მასის ცვლილებით უნდა კომპენსირდებოდეს. ყველაზე ცხადად ეს ჩანს IV° გრაფიკზე, სადაც კვანძებს შორის ნუკლონის მასა მოდულირდება ვირტუალური მეზონის მიერ, რის გამოც კვანძთა შორის ინტერვალში გვაქვს ნუკლონის გავრცელების შეცვლილი ფაქტორი

$$(\widehat{p}_3 - M - \Delta M)^{-1} \cong (\widehat{p}_3 - M)^{-1} + (\widehat{p}_3 - M)^{-1} \cdot \Delta M \cdot (\widehat{p}_3 - M)^{-1};$$

აქ მეორე წევრი თავისი სახით თანხვდება IV° მატრიცული ელემენტის კვანძთაშორის ოპერატორულ ნაწილს, იმ პირობით. თუ ΔM ფაქტორი შეეცვალეთ ვირტუალური მეზონის გამოსხივებისა და შთანთქმის ფაქტორით

$$\frac{g^2}{\pi i} \int \gamma_5 (\widehat{p}_3 - \widehat{k} - M)^{-1} \gamma_5 (\widehat{k}^2 - \mu^2)^{-1} d^4 k.$$

ამის გამო IV° გრაფიკის მიმართ მას-გადანორმირება პირდაპირ დაიყვანება (II, 8a)-დან (1,2) მას-შესწორების გამოკლებაზე ზემოთ აღნიშნული რეცეპტის მიხედვით:

$$IV^\circ - g^2 \gamma_5 (\widehat{p}_3 - M)^{-1} \Delta M (\widehat{p}_3 - M)^{-1} \gamma_5 = \frac{g^2}{8\pi} (D_0 - D_\sigma^{(0)}) A_{ps}^0 - \frac{g^4}{8\pi} M \gamma_5 (\widehat{p}_3 - M)^{-2} \gamma_5 (D_\sigma^{(0)} - C_\sigma^{(0)}). \quad (II, 9)$$

გადანორმირების პროცედურა V° და VI° გრაფიკების მიმართ პრინციპში თანხვდება IV° გრაფიკის მიმართ შესაბამის პროცედურას:

$$V^\circ - g^2 \Delta M (\widehat{p}_2 - M)^{-1} \gamma_5 (\widehat{p}_3 - M)^{-1} \gamma_5 = VI^\circ - g^2 \gamma_5 (\widehat{p}_3 - M)^{-1} \gamma_5 (\widehat{p}_1 - M)^{-1} \Delta M = \frac{g^2}{8\pi} (C_0 - C_\sigma^{(0)}) A_{ps}^0. \quad (II, 10)$$

მაგრამ განსახილავ შემთხვევებში მხედველობაში უნდა იქნეს მიღებული ნუკლონის მასის მოდულირებად ვირტუალური მეზონისათვის პოტენციალური კვანძის ცალმხრივობა, რის გამოც V° და VI° გრაფიკებს მიეწერება $\frac{I}{2}$ -ის ტოლი სტატისტიკური წონები. ასე რომ V° და VI° გრაფიკთა ჯამური ეფექტი ტოლია:

$$V^\circ + VI^\circ = \frac{g^2}{8\pi} (C_0 - C_\sigma^{(0)}) A_{ps}^0. \quad (II, 11)$$

გრაფიკთა უკანასკნელი წყვილი, VII° და $VIII^\circ$ აღწერს ნუკლონური ვაკუუმის პოლარიზაციის ეფექტს. ადვილი სანახავია, რომ (I, 11)-ის დახმა-



რებით VII° და VIII° მატრიცული ელემენტები შემდეგ კომპაქტურ სახეს მიიღებენ:

$$\text{VII}^\circ = 2 \frac{g^2}{8\pi} (\widehat{k}_2^2 - \mu^2)^{-1} \cdot L(\Lambda, \widehat{k}_2) A_{ps}^0; \quad (\text{II}, 12)$$

$$\text{VIII}^\circ = 2 \frac{g^2}{8\pi} (\widehat{k}_1^2 - \mu^2)^{-1} \cdot L(\Lambda, \widehat{k}_1) A_{ps}^0.$$

სანამ გადავიდოდეთ I°—VIII° გრაფიკთა მთელი კომპლექსის ჯამური ეფექტის შეფასებაზე, შევეცადოთ განვთავისუფლოთ ისეთ წვერთაგან, რომელნიც შეიცავენ ჩამოკრილ ნებისმიერ Λ პარამეტრს. ამისთვის აღვნიშნოთ, რომ Λ -ზე დამოკიდებული წვერები შესწორების მატრიცულ ელემენტებში პროპორციულია ძირითადი პროცესის მატრიცული ელემენტისა

$$A_{ps}^0 = g^2 A_{ps}^{(0)};$$

ეს პირდაპირ ჩანს IV°—VIII° მატრიცულ ელემენტთა გამოსახულებებიდან. II° და III° მატრიცულ ელემენტთა შემთხვევაშიც ეს ადვილი დასადგენია, ვინაიდან აქ Λ პარამეტრი მოთავსებულია $G_{\sigma\sigma}$ ინტეგრალში. ეს გარემოება საშუალებას გვაძლევს Λ დამოკიდებულების მოსაცილებლად მეთოდად განვიყენოთ g მეზონური მუხტის გადანორმირება (რაც განხილულია I-ში). ამ დროს აუცილებელია ყველგან მოვახდინოთ გადასვლა g მუდმივიდან ამის „ექსპერიმენტულ“ მუდმივზე $g_{\text{ექსპ.}}$ (I, 14). მეოთხე მიახლოებისთვის g -მუდმივის ნიშნით (რონელსაც შეესაბამება შესწორების წვერები) გადასვლის ეფექტი შესამჩნევია მხოლოდ ძირითადი პროცესის მატრიცული ელემენტის $g^2 A_{ps}^{(0)}$ გარდაქმნებში (შესწორების მატრიცულ ელემენტებში გადასვლის ეფექტი $g \rightarrow g_{\text{ექსპ.}}$ საგრძნობია მხოლოდ მეექვსე რიგში). (I, 14)-დან გვაქვს

$$g = g_{\text{ექსპ.}} - \Delta g.$$

ასე რომ A_{ps}^0 მატრიცული ელემენტის გარდაქმნა დაიყვანება (g^4 -ის რიგის საზღვრებში) გამოსახულებაზე

$$g^2 A_{ps}^{(0)} = g_{\text{ექსპ.}}^2 A_{ps}^{(0)} - g_{\text{ექსპ.}} \cdot \frac{g^3}{8\pi} \{2q + 2H\sigma(\Lambda, \mu^2) + 2L'(\Lambda, \mu^2)\} A_{ps}^{(0)}. \quad (\text{II}, 13)$$

მეორე წვერი წარმოადგენს A_{ps}^0 მატრიცული ელემენტისადმი მეოთხე რიგის შესწორებას. ამიტომ ის უნდა იქნეს განხილული I°—VIII° ვაკუუმურ შესწორებებთან ერთად. შევნიშნოთ, რომ განსახილავი სიზუსტისას არ არის მნიშვნელოვანი განსხვავება $g_{\text{ექსპ.}} \cdot g^3$ და g^4 შორის (ეს განსხვავება აკომპენსირებს განშლადობებს მეექვსე რიგში).

ერთად განვიხილოთ ზემოთ მოყვანილი ვაკუუმური შესწორებები და შესწორების მეორე წვერი (II, 13)-დან (კრებადი მატრიცული ელემენტი I° ჩვენ არ გვანტერესებს).

(II, 7) და (II, 6a)-დან ადვილად ჩანს, რომ ჯამური ეფექტი II° და III° გრაფიკებისა მიიღებს სახეს:

$$\begin{aligned} \text{II}^\circ + \text{III}^\circ = \frac{g^4}{8\pi} \{ f(\widehat{p}_1, \widehat{p}_2) G_0 + f_{\sigma_1} G_{\sigma_1}^{(1)} + f_{\sigma_2} G_{\sigma_2}^{(2)} + A_{ps}^{(0)} \gamma_\sigma \gamma_\tau G_{\sigma\tau}^{(1)} \\ + \gamma_\tau \gamma_\sigma A_{ps}^{(0)} G_{\sigma\tau}^{(2)} \}. \end{aligned} \quad (\text{II}, 14)$$

აქ ჩამოჭრის Λ პარამეტრი შედის მხოლოდ $G_{\sigma\tau}$ ინტეგრალის მესამე წევრში $\varepsilon \cdot \delta_{\sigma\tau}$ (იხ. I). როგორც ადვილი სანახავია, (II, 14)-ის ორი უკანასკნელი წევრისაგან შეიძლება გამოყოფილ იქნეს Λ დამოკიდებული ნაწილი მარტივი სახით — $8 \ln \Lambda \cdot A_{ps}^{(0)}$. (II, 14)-ისა და (II, 13)-დან

$$- 2 \frac{g^4}{8\pi} H_{\sigma\sigma}(\Lambda, \mu^2) A_{ps}^{(0)}$$

წევრის ერთად განხილვას მივყავართ Λ წევრის შეკვეცაზე (იხ. აგრეთვე (I, 7)). ამის გამო II° და III° გრაფიკათვის საბოლოო შედეგი შემდეგი კომბინაციის სახით უნდა განვიხილოთ:

$$\text{II}^\circ + \text{III}^\circ - 2 \frac{g^4}{8\pi} H_{\sigma\sigma}(\Lambda, \mu^2) A_{ps}^{(0)}. \quad (\text{II}, 15)$$

ანალოგიურად შეიძლება მოხდენილ იქნეს $\text{IV}^\circ - \text{VI}^\circ$ გრაფიკთა ერთობლიობისათვის ჯამური მატრიცული გამოსახულების (იხ. (II, 9, 11)) გადანორმირება. ადვილი სანახავია, რომ ეს უკანასკნელი გამოსახულება

$$\begin{aligned} \text{IV}^\circ + \text{V}^\circ + \text{VI}^\circ = \frac{g^4}{8\pi} \{ [(C_0 - C_\sigma^{(0)}) + (D_0 - D_\sigma^{(0)})] A_{ps}^{(0)} - M \gamma_5 (\widehat{p}_3 - M)^{-2} \gamma_5 \times \\ \times (D_\sigma^{(0)} - C_\sigma^{(0)}) \} \end{aligned} \quad (\text{II}, 16)$$

ჩამოჭრის პარამეტრზე დამოკიდებულია მხოლოდ პირველი წევრის გამო (მეორე წევრის განშლადობა კომპენსირდება მას-გადანორმირების საშუალებით). (II, 13) შესწორების გამოსახულებიდან

$$- 2 \frac{g^4}{8\pi} q A_{ps}^{(0)}$$

წევრის ამოღება და მისი კომბინაცია (II, 16)-თან გვაძლევს Λ დამოკიდებულებიდან განთავისუფლებულ შედეგს. ასე რომ $\text{IV}^\circ - \text{VI}^\circ$ გრაფიკებიდან წარმოიშვა სასრულო შესწორებითი კომბინაცია:

$$\text{IV}^\circ + \text{V}^\circ + \text{VI}^\circ - 2 \frac{g^4}{8\pi} q \cdot A_{ps}^{(0)}. \quad (\text{II}, 17)$$

(II, 12)-ის VII° და VIII° მატრიცულ ელემენტთა ერთობლიობისათვის Λ დამოკიდებულების მოსპობა ხორციელდება (II, 12)-ის ტიპის მესამე წევრის საშუალებით (II, 13)-დან:

$$- 2 \frac{g^4}{8\pi} L'(\Lambda, \mu^2) \cdot A_{ps}^{(0)}$$

შართლაც, ამ გამოთქმათა ერთობლივი განხილვა (იხ. აგრეთვე (I, 12)):

$$\begin{aligned} \text{VII}^\circ + \text{VIII}^\circ - 2 \frac{g^4}{8\pi} L'(\Lambda, \mu^2) A_{ps}^{(0)} &= \frac{g^4}{8\pi} \left\{ L(\Lambda, \mu^2) \cdot \sum_{i=1}^2 (\widehat{k}_i^2 - \mu^2)^{-1} \right. \\ &\left. + \frac{1}{2} L''(\mu^2) \sum_{i=1}^2 (\widehat{k}_i^2 - \mu^2) + \dots \right\} 2 A_{ps}^{(0)} \end{aligned} \quad (\text{II, 18})$$

ტოვებს Λ პარამეტრისაგან დანოკიდებულებას (II, 18)-ის მხოლოდ პირველ წევრში (იხ. (I, 11)). ეს უკანასკნელი კი [2] შრომაში გაიგივებულია μ მეზონური მასის შესწორებასთან და მეზონური მასის გადანორმირების საშუალებით გამოირიცხება. VII° და VIII° გრაფიკთა გადანორმირებული წვლილი იღებს მწკრივის სახეს, რომელიც მეორე წევრიდან იწყება:

$$\begin{aligned} \text{VII}^\circ + \text{VIII}^\circ - 2 \frac{g^4}{8\pi} L'(\Lambda, \mu^2) A_{ps}^{(0)} &= \frac{g^4}{8\pi} \left\{ \frac{1}{2} L''(\mu^2) \cdot \sum_{i=1}^2 (\widehat{k}_i^2 - \mu^2) + \dots \right\} 2 A_{ps}^{(0)}, \end{aligned} \quad (\text{II, 19})$$

მისი ეფექტი ჩვენ მიერ განსახილავი რიგისათვის ნულოვანია.

საბოლოოდ, $\text{I}^\circ - \text{VIII}^\circ$ ვაკუუმურ შესწორებათა ჯამური შედეგი A_{ps}^0 მატრიცული ელემენტისადმი იქნება:

$$A'_{ps} = \text{I}^\circ + \text{II}^\circ + \text{III}^\circ + \text{IV}^\circ + \text{V}^\circ + \text{VI}^\circ - 2 \frac{g^4}{8\pi} [H_{\sigma\sigma}(\Lambda, \mu^2) + q] A_{ps}^{(0)}, \quad (\text{II, 20})$$

აქ მოყვანილ წევრთა გაშიფრვა წარმოებს (II, 5), (II, 7), (II, 9) და (II, 11)-ის საშუალებით.

$N-AN$ წყვილთა ორმეზონიანი ანიჰილაციის პროცესის შესწორებული მატრიცული ელემენტის სრული სახე იქნება:

$$W_{ps}^n = W_{ps}^0 + W'_{ps},$$

სადაც

$$W'_{ps} = A'_{ps} + B'_{ps}.$$

W_{ps}^n მოდულის კვადრატის გასაშუალებას ნუკლონების სპინების მიშართ შემდეგი ტიპობრივი შპურის გამოთვლაზე მივყავართ:

$$\begin{aligned} U_{ps}^n &= \frac{C}{2(2M)^2} \text{Sp}[(\widehat{p}_2 + M) W_{ps}^n (\widehat{p}_1 + M) \overline{W}_{ps}^n] \cong U_{ps}^0 + U'_{ps}, \\ &\left(C = -\frac{M^2}{E_1 E_2} \right), \end{aligned} \quad (\text{II, 21})$$

სადაც U'_{ps} შეესაბამება შესწორებით წევრებს:

$$\begin{aligned} U'_{ps} &= \frac{C}{2(2M)^2} \cdot 2 \text{Re} \{ \text{Sp}[(\widehat{p}_2 + M) A'_{ps} (\widehat{p}_1 + M) \overline{W}_{ps}^0] \\ &+ \text{Sp}[(\widehat{p}_2 + M) B'_{ps} (\widehat{p}_1 + M) \overline{W}_{ps}^0] \} = \frac{C}{2(2M)^2} \cdot 2 \text{Re} [R(\alpha, \beta) + R(\beta, \alpha)]. \end{aligned} \quad (\text{II, 22})$$

$R(\alpha, \beta)$ -ს გამოთვლა მარტივი ჩასატარებელია.

საბოლოოდ ვიღებთ:

$$\begin{aligned}
 R(\alpha, \beta) = & \frac{g^6}{8\pi} \left\{ -\frac{1}{2} (\alpha\beta - \mu_1^4) \left(\frac{1}{\alpha} - \frac{1}{\beta} \right)^2 (B_0 + 2a + \mu_1^2 G_0) \right. \\
 & + \frac{1}{2} \left(\frac{\alpha + \mu_1^2}{\alpha} (p_{2\sigma} - p_{1\sigma}) + \frac{\beta + \mu_1^2}{\beta} (p_{2\sigma} - p_{1\sigma}) + \frac{\alpha + \beta + 2\mu_1^2}{\alpha} p_{3\sigma} \right. \\
 & \left. \left. + \frac{\alpha + \beta + 2\mu_1^2}{\beta} p_{4\sigma} \right) \left(H_\sigma + G_\sigma^{(1)} + G_\sigma^{(2)} + \frac{1}{2} (\alpha + \beta) J_\sigma \right) \right. \\
 & - \left[I + \zeta \left(I - \frac{\Theta(\mu^2)}{\operatorname{tg} \Theta(\mu^2)} \right) + \frac{\Theta(\mu^2)}{2 \sin 2\Theta(\mu^2)} (4 - \mu_1^2) - \frac{1}{2} (D_0 - D_\sigma^{(0)}) \right. \\
 & \left. + \frac{1}{2} (C_0 - C_\sigma^{(0)}) \right] \left(I - \frac{\beta}{\alpha} + \mu_1^4 \frac{1}{\alpha} \left(\frac{1}{\alpha} - \frac{1}{\beta} \right) \right) \\
 & \left. + (D_\sigma^{(0)} - C_\sigma^{(0)}) \frac{1}{\alpha^2} \left[2\mu_1^2 + \mu_1^4 \left(\frac{1}{\alpha} + \frac{1}{\beta} \right) - \frac{1}{2\beta} ((\alpha + \beta)^2 - 4\mu_1^4) \right] \right\}. \quad (II, 23)
 \end{aligned}$$

ამის შედეგად სრული დიფერენციალური განიკვეთი, რომელიც შეიცავს g^6 რიგის ვაკუუმურ შესწორებებს, იღებს შემდეგ სახეს:

$$d\sigma_{ps}^n = d\sigma_{ps}^0 (1 + \delta), \quad (II, 24)$$

სადაც $d\sigma_{ps}^0$ არის შესწორებული განიკვეთი,

$$\delta = \frac{U'_{ps}}{U_{ps}^0} = \frac{g^2}{8\pi} \frac{U_{ps}^{(1)}}{U_{ps}^{(0)}}.$$

g_{ps} ბმის მუდმივის არჩევის გარკვეული ნებისმიერობის გამო ჯერჯერობით ნაადრევი ჩანს δ შესწორებითი წევრის რიცხვითი შეფასება.

სტალინის სახელობის

თბილისის სახელმწიფო უნივერსიტეტი

(რედაქციას მოუვიდა 17.4.1954)

დამოწმებული ლიტერატურა

1. Feynman. Theory of positrons, Physical Review, 76, New York, 1949, 749, 769.
2. Watson a. Lepore. Radiative corrections to nuclear forces in the pseudoscalar meson theory, Phys. Rev. 76, 1949, 1157.
3. В. Е. Асрибеков. Перенормировка заряда и массы нуклона в теории вакуумных поправок к мезо-нуклонным процессам. Сообщения АН ГССР, т. XVI, № 1, 1955.

3. ზავზანძიძე

 ფერმიონული წყაროს მეზონური ველის განტოლების
 საკითხისათვის

(წარმოდგინა აკადემიის წევრ-კორესპონდენტმა ვ. მამასახლისოვმა 4.12.1954)

ცნობილია მეზონური ველების ნუკლონების ველთან ურთიერთქმედების ლაგრანჟიანების კონსტრუირების პრინციპები [1]. შედარებით კარგ შედეგებს იძლევიან ურთიერთქმედების ლაგრანჟიანები ფსევდოსკალარული და ფსევდოვექტორული ბმით ფსევდოსკალარული მეზონებისათვის [2, 3, 4]. მეორე მხრით, შრომაში [5] ნაჩვენებია, რომ ფსევდოსკალარული ბმის წევრი დაისონის გარდაქმნის შემდეგ ძირითადად დაიყვანება ფსევდოვექტორული ბმისა და ეგრეთ წოდებული წყვილური ურთიერთქმედების წევრებამდე. უკანასკნელი წევრის წვლილი მეზონების ნუკლონებით გაბნევაში ძალიან დიდი აღმოჩნდა. შრომაში [6] ნაჩვენებია, რომ წყვილური ურთიერთქმედების წევრის როლი არც თუ ისე უმნიშვნელოა.

ყველა ამასთან დაკავშირებით იგრძნობა აუცილებლობა ურთიერთქმედების იმ წევრების უფრო თანმიმდევრულად და ერთნაირად შემოყვანისა, რომლებმაც ცნობილ თეორიულ გამოთვლებში დაგვარწმუნეს მათს მნიშვნელობაში მეზონ-ნუკლონთა ურთიერთქმედების თეორიის შექმნისას. წინამდებარე შრომაში ჩვენ ვეცდებით განვიხილოთ ახალი გზა ფერმიონული წყაროს ველში ბოზონური ტიპის ველების განტოლების მოსახაზავად.

ჩვენ დავეყრდნობით შემდეგ ძირითად დებულებებს: 1. მეზონური ველის განტოლება უნდა იქნეს რელატივისტურად ინვარიანტული; 2. სრული ლაგრანჟიანი უნდა იქნეს რელატივისტურად ინვარიანტული.

როგორც ცნობილია, ენერჯიისა და იმპულსის ვექტორისაგან შეიძლება შეიქმნეს ინვარიანტი შემდეგნაირად:

$$p_i p_i = - (mc)^2 = - (\varepsilon)_1 (mc)^2 \quad (1)$$

იგივე თანაფარდობა რელატივისტურ ელექტრონის თეორიაში ასე იწერება:

$$\gamma_i p_i \cdot \gamma_i p_i = - (mc)^2, \quad (2)$$

სადაც γ_i ქმნის 4-ს ($\vec{\beta}, \beta$) ვექტორს.

ძნელი არაა დავრწმუნდეთ იმაში, რომ თანაფარდობა (1) შეიძლება ასე იქნეს ჩაწერილი:

$$\gamma_5 p_i \cdot \gamma_5 p_i = (mc)^2 = - (\varepsilon)_{ps} (mc)^2, \quad (3)$$

$$\gamma_5 \gamma_k p_i \cdot \gamma_k \gamma_5 p_i = - (\varepsilon)_{ps} (mc)^2, \quad (4)$$

სადაც

$$\gamma_5 = \gamma_1 \gamma_2 \gamma_3 \gamma_4.$$

ყველა დაწერილი თანათარღობა შეიძლება სიმბოლურად ასე დაიწეროს.

$$(p_i) \cdot (p_i) = -(\varepsilon)(mc)^2,$$

სადაც (p_i) არის ნაწილაკის იმპულს-მატრიცი; (ε) არის ისეთი მატრიცი, რომელიც უზრუნველყოფს (1) თანათარღობას. მაგალითად, (3)-ში მატრიცი

$$(\varepsilon)_{ps} = \gamma_5^2 = \begin{pmatrix} -I & 0 & 0 & 0 \\ 0 & -I & 0 & 0 \\ 0 & 0 & -I & 0 \\ 0 & 0 & 0 & -I \end{pmatrix}.$$

(1) ფორმულაში კი

$$(\varepsilon)_1 = \begin{pmatrix} I & 0 & 0 & 0 \\ 0 & I & 0 & 0 \\ 0 & 0 & I & 0 \\ 0 & 0 & 0 & I \end{pmatrix}.$$

მივიღოთ შემდეგი დაშვება. ნაწილაკ 4-ის იმპულსი განვიხილოთ როგორც ვექტორ-მატრიცი. ვექტორ-მატრიცის თითოეული კომპონენტი არის მატრიცი. უმარტივეს ვექტორ-მატრიცს ექნება ასეთი კომპონენტები:

$$(p_i)_1 = \left(\begin{pmatrix} p_1 & 0 & 0 & 0 \\ 0 & p_1 & 0 & 0 \\ 0 & 0 & p_1 & 0 \\ 0 & 0 & 0 & p_1 \end{pmatrix}, \begin{pmatrix} p_2 & 0 & 0 & 0 \\ 0 & p_2 & 0 & 0 \\ 0 & 0 & p_2 & 0 \\ 0 & 0 & 0 & p_2 \end{pmatrix}, \begin{pmatrix} p_3 & 0 & 0 & 0 \\ 0 & p_3 & 0 & 0 \\ 0 & 0 & p_3 & 0 \\ 0 & 0 & 0 & p_3 \end{pmatrix}, \begin{pmatrix} p_4 & 0 & 0 & 0 \\ 0 & p_4 & 0 & 0 \\ 0 & 0 & p_4 & 0 \\ 0 & 0 & 0 & p_4 \end{pmatrix} \right)$$

ცხადია, რომ

$$(p_i)_1 \cdot (p_i)_1 = -(mc)^2 (\varepsilon)_1 \quad (6)$$

იმპულსის ნებისმიერი კომპონენტი შეიძლება ასე წარმოვიდგინოთ:

$$(p_k)_1 = p_k \begin{pmatrix} I & 0 & 0 & 0 \\ 0 & I & 0 & 0 \\ 0 & 0 & I & 0 \\ 0 & 0 & 0 & I \end{pmatrix}, \quad k = 1, 2, 3, 4$$

სადაც p_k არის „ c “ ან „ q “ რიცხვი.

შეიძლება შემოვიყვანოთ შემდეგი ვექტორ-მატრიცი:

$$(p_i)_{\gamma_5} = ((p_1)_{\gamma_5}, (p_2)_{\gamma_5}, (p_3)_{\gamma_5}, (p_4)_{\gamma_5}),$$

სადაც, მაგალითად, $(p_3)_{\gamma_5}$ უდრის:

$$(p_3)_{\gamma_5} = \begin{pmatrix} 0 & 0 & -ip_3 & 0 \\ 0 & 0 & 0 & -ip_3 \\ -ip_3 & 0 & 0 & 0 \\ 0 & -ip_3 & 0 & 0 \end{pmatrix}$$

ადგილი დასანახავია, რომ:

$$(\rho_i)_{\gamma_5} (\rho_i)_{\gamma_5} = -(mc)^2 (\varepsilon)_{ps} \quad (7)$$

შესტად ასევე შეიძლება შემოყვანილ იქნეს შემდეგი ვექტორ-მატრიცები:

$$(\rho_i)_{\gamma_1}, (\rho_i)_{\gamma_2}, (\rho_i)_{\gamma_3}, (\rho_i)_{\gamma_4}.$$

მაგალითად,

$$(\rho_i)_{\gamma_i} = (\rho_i)_{\beta} = \left(\left(\begin{pmatrix} p_1 0 & 0 & 0 \\ 0 & p_1 & 0 & 0 \\ 0 & 0 & -p_1 & 0 \\ 0 & 0 & 0 & -p_1 \end{pmatrix}, \begin{pmatrix} p_2 0 & 0 & 0 \\ 0 & p_2 & 0 & 0 \\ 0 & 0 & -p_2 & 0 \\ 0 & 0 & 0 & -p_2 \end{pmatrix}, \right. \\ \left. \begin{pmatrix} p_3 0 & 0 & 0 \\ 0 & p_3 & 0 & 0 \\ 0 & 0 & -p_3 & 0 \\ 0 & 0 & 0 & -p_3 \end{pmatrix}, \begin{pmatrix} p_4 0 & 0 & 0 \\ 0 & p_4 & 0 & 0 \\ 0 & 0 & -p_4 & 0 \\ 0 & 0 & 0 & -p_4 \end{pmatrix} \right)$$

ადვილად შეიძლება შეიქმნეს ასეთი ტიპის ვექტორ-მატრიცები:

$$(\rho_i)_{\gamma_m \gamma_k} \text{ ან } (\rho_i)_{\gamma_m \gamma_k \gamma_l}$$

სადაც

$$m, k, l = 1; 2; 3; 4.$$

ცხადია, რომ აქვს აზრი შევქმნათ ინვარიანტები იმ სიდიდეებისაგან, რომელთაც ერთი და იგივე ვარიანტობა და ერთი და იგივე მატრიცული აღნაგობა აქვთ. შევქმნათ ინვარიანტი γ_i -ისა და $(\rho_i)_1$ -ს საშუალებით. ადვილი დასანახავია, რომ, თუ ავიღებთ სკალარულ ნამრავლს ორი ვექტორ-მატრიცისას, მივიღებთ სკალარ-მატრიცს $(\gamma_i) \cdot (\rho_i)$. ცხადია, რომ შეიძლება შეიქმნეს სკალარული ინვარიანტული მატრიცი ასეთნაირადაც:

$$(\gamma_i) (\rho_i)_1 \cdot (\gamma_i) (\rho_i)_1 = inv$$

(γ_k) და $(\rho_i)_{\gamma_i}$ ვექტორ-მატრიცებისგან შეიძლება შეიქმნეს ტენზორ-მატრიცი. მაგალითად, უმარტივესი მეორე რანგის ტენზორ-მატრიცი შეიძლება ასე ჩაიწეროს:

$$(\gamma_k) (\rho_i)_1 = (\rho_i)_{\gamma_k}, \gamma_k \quad i, k = 1, 2, 3, 4.$$

ინვარიანტები შეიძლება შეიქმნეს მეორე და მეოთხე რანგების ტენზორ-მატრიცების შესაბამისი ინდექსების დაქვეითებით.

რელატივისტურად ინვარიანტული ველების განტოლებები შეიძლება ასე ჩაიწეროს:

$$\begin{aligned}
 (\rho_i)_1 (\rho_i)_1 \varphi &= -(mc)^2 (\varepsilon)_1 \varphi \\
 (\rho_i)_{\gamma_5} (\rho_i)_{\gamma_5} \varphi &= -(mc)^2 (\varepsilon)_{ps} \varphi \\
 (\rho_i)_{\gamma_k} (\rho_i)_{\gamma_k} \varphi &= -(mc)^2 (\varepsilon)_1 \varphi \\
 (\rho_i)_{\gamma_k} (\rho_i)_{\gamma_k} \varphi &= -(mc)^2 (\varepsilon)_1 \varphi
 \end{aligned} \quad (8)$$

ზოგადი სახით კი ასე:

$$(\rho_i)_{\Gamma_p} \cdot (\rho_i)_{\Gamma_p} \varphi = -(mc)^2 \Gamma_p \Gamma_p \varphi, \tag{8'}$$

სადაც Γ_p არის $\Upsilon_1, \Upsilon_2, \Upsilon_3, \Upsilon_4$ მატრიცების ნებისმიერი კომბინაცია.

იმავე ველებისათვის განტოლებები შეიძლება დაიწეროს სკალარ-მატრიცების გამრავლებით და არა ვექტორ-მატრიცების გამრავლებით ერთმანეთზე, მაგალითად:

$$\begin{aligned} (\Upsilon_i) (\rho_i)_{\Upsilon_1} \cdot (\Upsilon_i) (\rho_i)_{\Upsilon_1} \varphi &= -(mc)^2 (\varepsilon)_1 \varphi \\ (\Upsilon_i) (\rho_i)_{\Upsilon_5} \cdot (\Upsilon_i) (\rho_i)_{\Upsilon_5} \varphi &= -(mc)^2 (\varepsilon)_{ps} \varphi \end{aligned} \tag{9}$$

ზოგადი სახით:

$$(\Upsilon_i) (\rho_i)_{\Gamma_p} \cdot (\Upsilon_i) (\rho_i)_{\Gamma_p} \varphi = -(mc)^2 \Gamma_p \Gamma_p \varphi \tag{9'}$$

ეს განტოლებები შეიძლება გაწვრივდეს ისევე, როგორც ეს ხდება ელექტრონის რელატივისტურ თეორიაში. (8), (8'), (9), (9') განტოლებებში მიღებულია, რომ

$$\rho_\mu = -ib \frac{\partial}{\partial x_\mu}.$$

ჩვენ შეგვიძლია ვილაპარაკოთ იმპულსის სხვადასხვა რანგის ტენზორ-მატრიცებზე. უმარტივესი ნულოვანი რანგის ტენზორ-მატრიცი მიიღება მეორე რანგის ტენზორ-მატრიცის დაქვეითებით. ნულოვანი რანგის ტენზორ-მატრიცი, ე. ი. სკალარ-მატრიცი ასე ჩაიწერება:

$$(\rho)_{1, \Upsilon_i} = (\Upsilon_i) (\rho_i)_{1, \Upsilon_i} = \begin{pmatrix} p_4 & 0 & p_3 & p_1 + ip_2 \\ 0 & p_4 & p_1 + ip_2 & -p_3 \\ -p_3 & -p_1 - ip_2 & -p_4 & 0 \\ -p_1 + ip_2 & p_3 & 0 & -p_4 \end{pmatrix} = i\nu v$$

ცხადია, რომ

$$(\rho)_{1, \Upsilon_i} \cdot (\rho)_{1, \Upsilon_i} = i\nu v.$$

თავისუფალი ნაწილაკების (8), (8'), (9), (9') განტოლებები არაფრით არ განსხვავდება კლეინ-გორდონის განტოლებებისაგან.

მეზონური ველის სხვა ველებთან ურთიერთქმედების მხედველობაში მისაღებად შემოვიყვანოთ ნაწილაკის განზოგადებული იმპულს-მატრიცი. განვიხილოთ მეზონური ველის ურთიერთქმედება ნუკლონურ წყაროსთან და მოვინახოთ ბმული მეზონური ველის განტოლება.

ჩვენი განხილვა დაეწყოთ $(\rho_i)_1$ ვექტორ-მატრიცის მაგალითიდან. ჩვენი გამოსავალი დებულება იმაში მდგომარეობს, რომ განზოგადებული იმპულსი მეზონდინამიკაში ისევე უნდა შემოვიდეს, როგორც ეს ელექტროდინამიკაში ხდება. ერთადერთი ოთხვექტორი, რომელსაც შეუძლია დაახასიათოს ნუკლონური წყარო, არის ოთხვექტორი $(\bar{\psi}\gamma_\mu)$, სადაც μ არის ნუკლონის ბისპინორი, $\bar{\psi}$ კი უდრის $u^*\beta$ -ს. მოცემულ შრომაში ჩვენ გამოვიდვართ იმ მოსაზრებიდან, რომ ნუკლონური წყარო ზუსტად აღიწერება დირაკის განტოლების საშუალებით. ჩვენი მსჯელობები მკაცრი იქნება, თუ ყველგან, სა-

დაც ვილაპარაკებთ ნუკლონურ წყაროზე და ნუკლონურ ველზე, ვიგულისხმებთ ფერმიონულ წყაროს და ფერმიონულ ველს. უკანასკნელი ზუსტად აღიწერება დირაკის განტოლებით. ჩვენ ვღებულობთ, რომ „გამიშვლებული“ ნუკლონი, რომელმაც დაკარგა მეზონური გარემო, არის დირაკის „კარგი“ ნაწილაკი.

განზოგადებული იმპულსის ვექტორ-მატრიცი შემოვიყვანოთ ჩვეულებრივი წესით: შევცვალოთ $(p_i)_1$ განზოგადებული იმპულსით

$$(P_i)_1 + \frac{g_1}{c} (\bar{u}\gamma_i u) = \left(\frac{b}{i} \frac{\partial}{\partial x_i} \right)_1 + \frac{g_1}{c} (\bar{u}\gamma_i u), \quad (10)$$

სადაც g_1 არის ველების ბმის მუდმივი, რომელიც დასადგენია.

იმპულსის ვექტორ-მატრიცი $(p_i)_{\gamma_5}$ შევცვალოთ

$$(P_i)_{\gamma_5} + \frac{g_{pv}}{c} (\bar{u}\gamma_5\gamma_i u) = \left(\frac{b}{i} \frac{\partial}{\partial x_i} \right)_{\gamma_5} + \frac{g_{pv}}{c} (\bar{u}\gamma_5 u), \quad (11)$$

იმპულსის სკალარ-მატრიცი შევცვალოთ

$$(P)_{1, \gamma_i} + \frac{g_s}{c} (\bar{u}u) = \left(\frac{b}{i} \frac{\partial}{\partial x_i} \right)_{1, \gamma_i} + \frac{g_s}{c} (\bar{u}u) \quad (12)$$

იმპულსის ფსევდოსკალარი მატრიცი შევცვალოთ

$$(P)_{1, \gamma_5\gamma_i} + \frac{g_{ps}}{c} (\bar{u}\gamma_5 u) = \left(\frac{b}{i} \frac{\partial}{\partial x_i} \right)_{1, \gamma_5\gamma_i} + \frac{g_{ps}}{c} (\bar{u}\gamma_5 u). \quad (13)$$

ჩვენ არაცხადი სახით ვისარგებლეთ ჰიპოთეზით, რომელიც იმაში მდგომარეობს, რომ იმპულსის მატრიცს ვცვლით განზოგადებული იმპულსის მატრიცისა და იმ მატრიცის ჯამით, რომლის ტენზორული განზომილება თანხედება იმპულსის განზოგადებული ტენზორ-მატრიცის ტენზორულ განზომილებას. ბმული მეზონური ველის განტოლებები (10), (11), (12), (13) საფუძველზე ასე დაიწერება:

$$(\square - k^2) \varphi = - \frac{ig_1}{bc} \left[(\bar{u}\gamma_i u) \frac{\partial}{\partial x_i} + \frac{\partial}{\partial x_i} (\bar{u}\gamma_i u) \right] \varphi + \left(\frac{g_1}{bc} \right)^2 (\bar{u}\gamma_i u)^2 \varphi, \quad (14)$$

$$\begin{aligned} (\square - k^2) \varphi = & - \frac{ig_{pv}}{bc} \left[(\bar{u}\gamma_5\gamma_i u) \gamma_5 \frac{\partial}{\partial x_i} + \gamma_5 \frac{\partial}{\partial x_i} (\bar{u}\gamma_5\gamma_i u) \right] \varphi \\ & - \left(\frac{g_{pv}}{bc} \right)^2 (\bar{u}\gamma_5\gamma_i u)^2 \varphi, \end{aligned} \quad (15)$$

$$(\square - k^2) \varphi = - \frac{ig_s}{bc} \left[(\bar{u}u) \gamma_i \frac{\partial}{\partial x_i} + \gamma_i \frac{\partial}{\partial x_i} (\bar{u}u) \right] \varphi + \left(\frac{g_s}{bc} \right)^2 (\bar{u}u)^2 \varphi, \quad (16)$$

$$\begin{aligned} (\square - k^2) \varphi = & - \frac{ig_{ps}}{bc} \left[(\bar{u}\gamma_5 u) \gamma_5 \gamma_i \frac{\partial}{\partial x_i} + \gamma_5 \gamma_i \frac{\partial}{\partial x_i} (\bar{u}\gamma_5 u) \right] \varphi \\ & - \left(\frac{g_{ps}}{bc} \right)^2 (\bar{u}\gamma_5 u)^2 \varphi. \end{aligned} \quad (17)$$

კონკრეტულობისათვის განვიხილოთ განტოლება (16). მესამე წევრი მარჯვნივ შეიძლება მიღებულ იქნეს ურთიერთქმედების შემდეგ ლაგრანჟიანისაგან $f_1(\bar{u}u)^2$ ფ². პირველი წევრი მარჯვნივ შეიძლება მიგვეღო ასეთ ურთიერთქმედების ლაგრანჟიანისაგან

$$f_1(\bar{u}u) \gamma_i \frac{\partial \varphi}{\partial x_i} \varphi.$$

მეორე წევრი შეიძლება მივიღოთ დ. კირენიცის [7] ტიპის ურთიერთქმედების ლაგრანჟიანისაგან (ე. ი. იმპულსური ურთიერთქმედება, რომელიც გვაძლევს განზიდვის ძალებს). მიუხედავად იმისა, რომ ზოგიერთი წევრი გვაგონებს მეზონური თეორიის ცნობილ წევრებს, (14), (15), (16), (17) განტოლებების ანალიზი გვიჩვენებს, რომ საქმე გვაქვს ახალ განტოლებებთან. მთავარი დამახასიათებელი თვისება ამ განტოლებებისა იმაში მდგომარეობს, რომ მარჯვენა ნაწილები ყველა განტოლებისა შეიცავენ ერთსა და იმავე ბმის მუდმივებს. არც ერთი ამ სამ წევრთაგან არ შეიძლება გადაგდებულ იქნეს. ფსევდოსკალარულ და ფსევდოვექტორულ ბმას შეიძლება ადგილი ჰქონდეს როგორც სკალარული, ისე ფსევდოსკალარული მეზონური ველებისათვის.

შეიძლება დაისვას საკითხი (14), (15), (16), (17) განტოლებების უფრო მაკაცი დაფუძნების შესახებ. უფრო გვიან ნაჩვენები იქნება, რომ ეს განტოლებები მიიღება რელატივისტურად ინვარიანტული ლაგრანჟიანების საშუალებით.

საქართველოს სსრ მეცნიერებათა აკადემია
 ფიზიკის ინსტიტუტი
 თბილისი

(რედაქციას მოუვიდა 10.12.1954)

დამოწმებული ლიტერატურა

1. Г. Вентцель. Введение в квантовую теорию волновых полей. ГИТТЛ, М.-Л., 1947.
2. D. B. Beard and H. A. Bethe. Field corrections to neutron-proton scattering in a new mixed meson theory. Physical Review vol **83**, 1951, 1106.
3. J. Ashkin, A. Simon, R. Marshak. On the scattering of π mesons by nucleons. Progr. of the theor. phys. vol. **5**, 1950, 634.
4. C. Marty. Sur l'analyse des diffusions élastiques de nucleons par les champs mesiques. Le journal de physique et le Radium. т. 12, 1950, 833.
5. J. V. Lepore. Nuclear forces yielded by the symmetrical pseudoscalar meson theory with pseudoscalar coupling. Physical Review vol. **87**, 1952, 209.
6. D. Dreil and E. M. Henley. Pseudoscalar mesons with applications to meson-nucleon scattering and photoproduction. Physical Review. Vol. **83**, 1952, 1053.
7. Д. А. Киржниц. К вопросу о мезон-нуклонных взаимодействиях. ЖЭТФ, т. 27, 1954, 6.



რ. ლალიძე და ა. ღვალისფილი

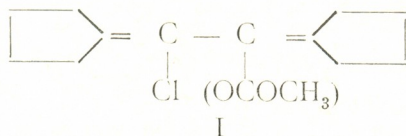
უწყლო ქლორიანი ალუმინის თანაობით 1,1'-ეთინილენ ბისციკლოპენტანოლის დიაცეტატით ბენზოლის ალკილირების შესახებ

(წარმოდგინა აკადემიის წევრ-კორესპონდენტმა გ. ციცივილიმა 12.10.1954)

ერთ-ერთ წინათ გამოქვეყნებულ შრომაში [1] რ. ლალიძისა და სსრ კავშირის მეცნიერებათა აკადემიის წევრ-კორესპონდენტის ა. პეტროვის მიერ ნაჩვენებია იყო, რომ 1,4-ბუთინდიოლის დიაცეტატის კონდენსაციით ბენზოლთან სხვა პროდუქტებთან ერთად წარმოიქმნება ციკლური ნახშირწყალბადი $C_{14}H_{16}$ —კრისტალური ნივთიერება, რომლის ლ. ტ. 103° უდრის. შემდეგ ტეტრამეთილბუთინდიოლის დიაცეტატის კონდენსაციით ბენზოლთან ანალოგიურ პირობებში მიღებული იყო $C_{14}H_{16}$ შედგენილობის ნახშირწყალბადი—კრისტალური ნივთიერება, ლ. ტ. 83° . ორივე ნაერთი როგორც სტრუქტურული თვალსაზრისით, ისე მათი წარმოქმნის მექანიზმის მხრივ მნიშვნელოვან თეორიულ ინტერესს წარმოადგენს. ამის გამო მათი თვისებების დეტალური შესწავლა და ანალოგიური ნახშირწყალბადების სინთეზები ჩვენთვის მეტად მიმზიდველ ამოცანას წარმოადგენდა. წინამდებარე შრომაში ჩვენ შევეცადეთ ეს რეაქცია გაგვევსაზრებინა 1,1'-ეთინილენბისციკლოპენტანოლის დიაცეტატზე. ჩატარებული კონდენსაციით, გარდა $C_{18}H_{20}$ შედგენილობის კრისტალური ნახშირწყალბადისა, ლ. ტ. $83-83,7^{\circ}$, ჩვენ შევძელით სამი შუალედი პროდუქტის გამოყოფა და მათი საკმაოდ დეტალური დახასიათება. ამ მონაცემების საფუძველზე საშუალება გვეძლევა დავაკვირდეთ რეაქციის საფეხურებრივ მიმდინარეობას ცალკეულ სტადიებში. აღნიშნული ნაერთების გამოყოფამ საშუალება მოგვცა უკანასკნელი სტადია ინტრამოლეკულური ციკლიზაციის რეაქციისა (II) უჯერი ალიფატურ-არომატული ეთერისათვის ნეიტრალურ არეში ჩაგვეტარებინა და მიგვეღო იგივე ნახშირწყალბადი— $C_{18}H_{20}$, ლ. ტ. $83-83,7^{\circ}$. უნდა აღინიშნოს, რომ კონდენსაციის წარმატებით ჩასატარებლად საჭიროა ზუსტად დავიცვათ განსაზღვრული პირობები, წინააღმდეგ შემთხვევაში ტემპერატურული რეჟიმის მცირეოდენი დარღვევა და მორეაგირე ნივთიერებების თანაფარდობათა ცვლილება მკვეთრ გავლენას ახდენს ცალკეული ფრაქციების გამოსავალზე, რის გამო შესაძლოა ზოგიერთი მათგანი სრულებით ვერ მივიღოთ.

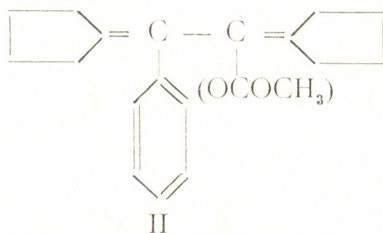
ჩვენ მიერ კონდენსაციის პროდუქტებიდან გამოყოფილი ფრაქცია, ლულ. ტ. $113-115^{\circ}$, 1—1,5 მმ წნევაზე უპასუხებს ქლოროფერს (I), რომელიც 1,1'-ეთინილენბისციკლოპენტანოლის დიაცეტატის აცილის ნაშთის

ქლორით ჩანაცვლებისა და აცეტილენ-დიენური გადაჯგუფების შედეგად წარმოიქმნება. იგი იმ ქლოროეთერის იდენტური აღმოჩნდა, რომელიც 1,1'-ეთინილენბისციკლოპენტანოლის დიაცეტატზე უშუალოდ უწყლო ქლორიანი ალუმინის მოქმედებით მიიღება დეარომატიზებულ ლიგროინის არეში.



1 ქლორო—2—აცეტოქსი—1,2-დიციკლოპენტილიდენეთანი. (I) ჟანგვის პროდუქტებიდან იდენტიფიცირებულია მჟაუნ-მჟავა და გლუტარის მჟავა.

შემდეგი ფრაქცია, დ. ტ. 137—140°, 1—2 მმ წნევაზე თავისი ქიმიური თვისებებით უპასუხებს უჯერ ალიფატურ-არომატულ ეთერს (II), 1—აცეტოქსი—2—ფენილ—1,2—დიციკლოპენტილიდენეთანს.

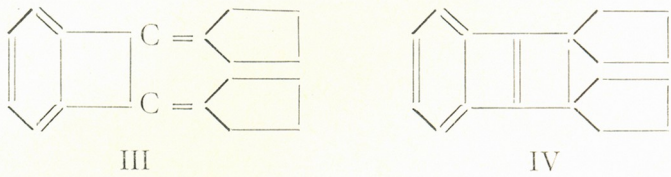


იგი დახასიათებული იყო შემდეგი მონაცემებით: ელემენტური ანალიზით, მოლეკულური წონით, შესაპენით, ჰიდრირებითა და ჟანგვის პროდუქტების გამოკვლევით, რომელთა შორის ჩვენ შევძელით მჟაუნმჟავასა და ბენზოის მჟავას გამოყოფა.

ფრაქციიდან, რომელიც დუღს 150—180° ფარგლებში, 1—2 მმ წნევაზე გამოიყო კრისტალური ნივთიერება. იგი ეთილის სპირტიდან სამჯერ გადაკრისტალების შემდეგ ღლვება 83—83,7°. ამ ნივთიერების ერთგვაროვნების დადგენის შემდეგ ელემენტური ანალიზისა და მოლეკულური წონის განსაზღვრის საფუძველზე დამტკიცდა, რომ იგი $\text{C}_{18}\text{H}_{20}$ ნახშირწყალბადს უპასუხებს. ქიმიური თვალსაზრისით იგი საგრძნობი ინერტულობით ხასიათდება. არ აუფერულებს ბრომიან წყალს და პერმანგანატის სუსტ ტუტიან ხსნარს. ჩვეულებრივ პირობებში, ოთახის ტემპერატურაზე პლატინის კატალიზატორით არ ჰიდრირდება. პიკრინის მჟავასთან არ იძლევა პიკრატს. მისი ჟანგვის პროდუქტებიდან შევძელით ბენზოის, გლუტარისა და ორთო-ფტალის მჟავების გამოყოფა და იდენტიფიცირება. პირველი ორი მჟავა იდენტიფიცირებული იყო შესაფერის სუფთა მჟავებთან შერეული სინჯის ღლობის ტემპერატურის განსაზღვრით. ორთო-ფტალის მჟავა კი აღმოჩენილი იყო ფლუორესცენის რეაქციის ნათლად გამომჟავანებული ფერადი ეფექტით.



ვინაიდან ფაქტი $C_{18}H_{20}$ —ნახშირწყალბადის წარმოქმნისა (II)-ის ინტრა-მოლეკულური ციკლიზაციით ერთმნიშვნელოვნად დადასტურებულია, ჩვენ განწყობილი ვიყავით გვეფიქრა, რომ იგი უპასუხებს (III) სტრუქტურულ ფორმულას.



მაგრამ უარყოფითი რეაქციები ორმაგ კავშირზე და ამ ნაერთის საკმაოდ მკაფიოდ გამოხატული ინერტული ხასიათი გვაიძულებს ვივარაუდოთ, რომ მისთვის უფრო შესაფერისად მიჩნეული უნდა იქნეს (IV) ფორმულა, შეუღლებული ორმაგკავშირებიანი სისტემით მოლეკულაში. მართალია, ამგვარი ფორმულა ზოგიერთ სტერეოქიმიურ კონცეფციასთან გარკვეულ წინაღმდეგობაში იმყოფება, მაგრამ კვლევის მოცემულ ეტაპზე მიზანშეწონილად მიგვაჩნია მისი განხილვა სასარგებლო ჰაპოთეზის სახით, როგორც აუცილებელი ნაბიჯი ამ უაღრესად საინტერესო შენაერთის ჭეშმარიტი ბუნების დასადგენად.

ამჟამინდელი ნაწილი

1,1'-ეთინილენბისციკლოპენტანოლი სინთეზებულია დიბრომდიმანიაცეტილენისა და ციკლოპენტანონისაგან. ჩვენ მიერ მიღებული პროდუქტი ღრუბა $110-111^{\circ}$ -ის ფარგლებში. ლიტერატურული მონაცემებით 1,1'-ეთინილენბისციკლოპენტანოლის ლ. ტ. არის $107-108^{\circ}$ [2], $109,8-110,8^{\circ}$ [3]. აღნიშნული გლიკოლის დიაცეტატი მზადდებოდა ი. გვერდწითლის მიერ აღწერილ პირობებში. ამისათვის გლიკოლისა და ძმარმეჟვა ანჰიდრიდის გარკვეულ რაოდენობათა ნარევეს, შეფარდებით 1:5, მცირეოდენი ძმარმეჟვა ნატრიუმის თანაობით ვათავსებდით წრგვალძირა კულაში, რომელსაც მორგებული ჰქონდა უკუმაცივარი. კულა თავსდებოდა მდულარე წყლის აბაზანაზე $10-12$ საათს, დამახასიათებელი მუქი მოწითალო-მოყავისფრო შეფერადების წარმოქმნამდე. აცეტილირების პროდუქტი დამუშავებული იყო წყლით. ამის შემდეგ იგი ამოვაწბეთ ეთერით, გავრცხეთ წყლით და გავაშრეთ გაუწყლებულ Na_2SO_4 -ზე. ეთერი დაცილებულ იქნა გამოხდით. ნაშთის ვაკუუმ-გამოხდით გამოყოფილია ფრაქცია დუდილის ტემპერატურით $132-133^{\circ}$ 2—3 მმ წნევაზე, რომელიც მთლიანად დაკრისტალდა.

უკანასკნელის გადაკრისტალებით ეთილის სპირტიდან მიღებულია სრულიად სუფთა პროდუქტი, ლ. ტ. $43-44^{\circ}$. ლიტერატურული მონაცემით 1,1'-ეთინილენბისციკლოპენტანოლის დიაცეტატის ლ. ტ. არის $44,5-45,5^{\circ}$ [3]. დიაცეტატის აცეტილირების ხარისხი შემოწმებული იყო შესაპვნიით 0,5 N-ის კალიუმის ტუტის სპირტბსნარით.



ნივთიერების წონაკი 0,1095 გ. შესაპვნაზე დაიხარჯა 1,5 მლ 0,5 N-ის კალიუმის ტუტის სპირტისნარი. თეორიულად საჭიროა 1,575 მლ. ამ გზით მიღებული დიაცეტატი აცეტილენურ სამმაგ კავშირზე იძლევა დადებით რეაქციას.

ქვემოთ მოგვყავს შედეგები ერთ-ერთი იმ მრავალრიცხოვანი ცდებისა, რომლებიც შესრულებული იყო ჩვენ მიერ, 1,1'-ეთინილენბისციკლოპენტანოლის დიაცეტატის კონდენსაციის რეაქციების ჩასატარებლად ბენზოლთან.

მორეაგირე ნივთიერებათა რაოდენობა

		მოლი	მოლარ. ფარდობა
დიაცეტატი	25 გ.	0,09	1
ბენზოლი	140 გ.	1,8	20
უწყლო AlCl ₃	25 გ.	0,19	2

რეაქციას ვატარებდით შემდეგ პირობებში: მრგვალძირა სამყელიან კულაში, რომელიც აღჭურვილი იყო უკუმაცივრით, მექანიკური სარეველათი და თერმომეტრით, ვასხამდით 120 მლ ბენზოლს, ვათავსებდით 25 გ. უწყლო AlCl₃-ს და განუწყვეტლივ მორევისას წვეთობით ვუმატებდით 40 მლ ბენზოლში გახსნილ დიაცეტატს. კულას ვდგამდით ყინულით გაცივებულ წყლის აბაზანაში. დიაცეტატის დამატებისას სარეაქციო ნარევის ტემპერატურას ვარეგულირებდით 16—20°-ის ფარგლებში. ამის შემდეგ აბაზანას თანდათანობით ვათბობდით. როდესაც სარეაქციო მასის ტემპერატურა 40°-მდე აღიოდა, იწყებოდა HCl-ის საგრძნობი რაოდენობით გამოყოფა, რაც დაახლოებით 2—2,5 საათს გრძელდებოდა. HCl-ის გამოყოფის შესუსტებასთან ერთად ტემპერატურა თანდათანობით აგვყავდა 75—80°-მდე. ჩვენს პირობებში რეაქციის ხანგრძლივობა 3,5—4 საათს არ აღემატებოდა. წარმოქმნილი კომპლექსის ჩვეულებრივი გზით დამუშავებით მიღებულია 25,73 გ კონდენსატი, რომლის ვაკუუმგამოხდით გამოყოფილია სამი ფართო ფრაქცია.

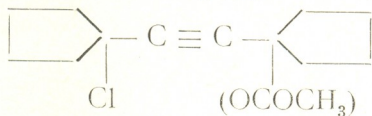
- I ფრ. დულ. ტ. 69—130° 1—1,5 მმ წნევაზე 4,5 გ 17% } კონდენ-
- II ფრ. დულ. ტ. 135—145° 1—1,5 მმ წნევაზე 4,2 გ 16% } სატის
- III ფრ. დულ. ტ. 155—180° 1—1,5 მმ წნევაზე 4,8 გ 19% } მიმართ

უკანასკნელი ფრაქციის გამოსავალი ცალკეულ ცდებში 25%-მდე აღწევდა. ამ ფრაქციის დაახლოებით 3/4 ნაწილი აცეტონით დამუშავებით კრისტალდება.

ფართო ფრაქციების მრავალჯერადი ვაკუუმგამოხდით მიღებულია:
I ფრაქცია—დულ. ტ. 69—71° 1,5—2 მმ წნევაზე. იგი ხასიათდება შემდეგი მაჩვენებლებით: n_D²⁰ 1,5000; d₄²⁰ 1,0350. მოლეკულური წონა ნაპოვნია 191. აუთერულებს ბრომიან წყალს და პერმანგანატის სუსტ ტუტიან ხსნარს. არ შეიცავს კარბონილის ჯგუფს. ქლორზე იძლევა უარყოფით რეაქციას (კვალი). ელემენტური ანალიზის მიხედვით დაახლოებით 75% ნახშირბადსა და 9,5% წყალბადს შეიცავს. ჰიდრირებისას იერთებს ორ მოლამდე წყალბადს. ამ მონაცემების საფუძველზე ვფიქრობთ, რომ ფრაქცია, რომლის დუ-



ლილის ტემპერატურა 69—71° 1,5—2 მმ წნევაზე, წარმოადგენს ქვემოთ მოყვანილი ქლოროეთერიდან HCl-ის აგლეჯის პროდუქტს.



II ფრაქცია დუღილის t°-ით 113—115° 1—1,5 მმ წნევაზე (რომელიც მიიღება 10—12% გამოსავლით კონდენსატის მიმართ) ხასიათდება შემდეგი მონაცემებით n_D²⁰ 1,5184, მყისიერად აუფერულდება ბრომიან წყალს და პერმანგანატის სუსტ ტუტე ხსნარს. სამმაგ კავშირზე არ იძლევა დადებით რეაქციას.

ნაპოვნია % Cl—13,65, 13,62

C₁₄H₁₉O₂Cl გამოთვლილია % Cl—13,91.

უწყლო ქლორიანი ალუმინის ურთიერთმოქმედება 1,1'-ეთინილენ ბისციკლოპენტანოლის დიაცეტატთან

პატარა მრგვალიძირა კულაში მოთავსებულ 5,3 გ უწყლო AlCl₃-ს (0,04 მოლი) დაემატა 50 მლ დეარომატიზებული ლიგროინი. კულის ენერგიული შენჯღრევის პირობებში მასვე 10 წუთის განმავლობაში ემატებოდა 11 გ დიაცეტატის და 30 მლ ლიგროინის ხსნარი (0,04 მოლი). დიაცეტატის მთლიანად დამატების შემდეგ კულა ერთი საათის განმავლობაში ცხელდებოდა 70°-მდე წყლის აბაზანაზე. წარმოქმნილ კომპლექსს ვშლიდით შემყავებული წყლით, ვაწობდით ეთერით, ვრეცხდით წყლით და ვაშრობდით გაუწყლოებული Na₂SO₄-ით. ეთერის დაცილების შემდეგ დარჩენილი ნაშთის ორჯერადი ვაკუუმგამოხდით მიღებული ზემოაღნიშნული ფრაქცია, დუღილის ტ 113—117° 1—2 მმ წნევაზე, ხასიათდება შემდეგი მაჩვენებლით: n_D²⁰ 1,5184.

ფრაქციის 113—115° 1—1,5 მმ წნევაზე პერმანგანატით დაჯანგვით გამოყოფილი და იდენტიფიცირებულია მჟაუნმჟავა და გლუტარის მჟავა.

მიღებულ გლუტარის მჟავას ლლობის ტემპერატურა მერყეობდა 95—96°-ის ფარგლებში (გადაკრისტალებული ქლოროფორმიდან). მისი სინთეზური გლუტარის მჟავასთან შერეული სინჯის ლლობის ტემპერატურის განსაზღვრამ შესამჩნევი დებრესია არ გვიჩვენა. ორჯერადი სუმბლიმაციის შედეგად მიღებული მჟაუნმჟავა ლღვება 101—102°-ზე. მისი შერეული სინჯის ლლობის ტემპერატურის განსაზღვრა სუფთა მჟაუნმჟავასთან აგრეთვე არ იძლევა დებრესიას.

III ფრაქცია, დუღილის ტ 137—140° 1—2 მმ წნევაზე, ხასიათდება შემდეგი მაჩვენებლებით: n_D²⁰ 1,5445, d₄²⁰ 1,0814, მისი გამოსავალი კონდენსატის მიმართ საშუალოდ 16—20%-ს შეადგენს. იგი სწრაფად აუფერულდება ბრომიან წყალს და პერმანგანატის სუსტ ტუტე ხსნარს. სრულებით არ შეიცავს ქლორს და უარყოფით რეაქციას იძლევა კარბონილის ჯგუფზე. მოლეკულური წონა, ნაპოვნი კრიოსკოპული გზით (ნაფტალინში)—289; მოლეკულური წონა, ნაპოვნი კრიოსკოპული გზით (ბენზოლში)—294. მოლეკულური წონა, გამოთვლილი C₂₀H₂₄O₂-სათვის—296.

0,0360 გ ნივთიერების შესასაზნად დაიხარჯა—0,64 მლ 0,5 N კალიუმის ტუტის სპირტსნარი.

$C_{20}H_{24}O_2$ -სათვის თეორიულად საჭიროა 0,58 მლ.

0,076 გ ნივთიერების შესასაპვნად დაიხარჯა—0,52 მლ 0,5 N-ის კალიუმის ტუტის სპირტსნარი.

$C_{20}H_{24}O_2$ -სათვის თეორიულად საჭიროა 0,514 მლ.

ელემენტური შედგენილობის განსაზღვრა ფრაქციისათვის, დუღილის ტემპერატურით 137—140° 1—2 მმ წნევაზე, შემდეგ სურათს იძლევა:

ნაპონია % C 80,96, 80,7; H 8,97, 8,71

$C_{20}H_{24}O_2$ გამოთვლილია % C 81,08, H 8,44.

137—140° 1—2 მმ წნევაზე ფრაქციის ჰიდრირება

0,4273 გ ნივთიერებას ვხსნიდით 30 მლ უწყლო სპირტში, ვუმატებდით 0,2 გ პლატინის შავს და ვაჰიდრირებდით ნჯღრევის პირობებში. სულ შთანთქა 6 ნ მლ წყალბადი.

$p=723$ მმ, $t=28^{\circ}C$, $v_0=56,89$ მლ.

$C_{20}H_{24}O_2$ -სათვის თეორიულად საჭიროა 64,66 მლ. ამრიგად, ჰიდრირების შედეგი გვიჩვენებს, რომ ადგილი აქვს დაახლოებით ორ მოლამდე წყალბადის მიერთებას.

დუღ. ტ. 137—140° 1—2 მმ წნევაზე ფრაქციის დაქანგვა ქრომის ანჰიდრიდით

0,5 გ ნივთიერებას, ვახსნილს 25 მლ ცინულოვან ძმარმჟავაში, ნელი შეთბობისას თანდათანობით ვუმატებდით მცირე რაოდენობით 3 გ CrO_3 -ს. ქანგვა გრძელდებოდა 1 საათის განმავლობაში. ამის შემდეგ ნარევს წყლით ვაზავებდით და მრავალჯერ ვაწობდით ეთერით. ეთერამონაწობი გავრცხეთ წყლით, გავაშრეთ გაუწყულულებული Na_2SO_4 -ით და ეთერი გამოვხადეთ. კულა ნაშითან ერთად მოვათავსეთ მადულარ წყლის აბაზანაზე ძმარმჟავას მთლიანად დაცილებამდე. რამდენიმე ხნის შემდეგ ჭურჭლის კედელზე დასუბლიმირდა ნემსისებური თეთრი კრისტალები, ლ. ტ. 119—120°. ამ ნივთიერების ბენზოის მჟავასთან შერეული სინჯის ლლობის ტემპერატურის განსაზღვრისას დებრესიას ადგილი არ ჰქონია. უფრო მაღალ ტემპერატურაზე სუბლიმაციით (140°-მდე) და ხელმეორედ გადაკრისტალებით გამოყოფილი იყო თეთრი ნივთიერება, ლ. ტ. 101—102°, რომლის შერეული სინჯის ლ. ტ.-ის განსაზღვრამ სუფთა მჟაუნმჟავასთან დებრესია არ გვიჩვენა.

ზემოაღნიშნული მონაცემების საფუძველზე და აგრეთვე იმ მონაცემების საფუძველზე, რომლის შედეგად, როგორც ამას ქვემოთ დავინახავთ, $C_{18}H_{20}$ ნახშირწყალბადის ქანგვის პროდუქტებში იდენტიფიცირებული იყო გლუტარის მჟავა, ჩვენ ვთვლით, რომ ფრაქცია, დუღ. ტ. 137—140° 1—2 მმ წნევაზე, უპასუხებს ალიფატურ-არომატულ ეთერს [II]. მყარი მასა, რომელიც ჩვენ მიერ გამოყოფილია ფრაქციიდან, დუღ. ტ. 150—180° 1—1,5 მმ წნევაზე, ეთილის სპირტიდან სამჯერ გადაკრისტალების შემდეგ წარმოადგენს



თეთრ კრისტალურ ნივთიერებას—ლ. ტ. 83—83,7°. დადგენილია, რომ ამ ნაერთის ცალკეულ ფრაქციების შერეული სინჯის ღღობის ტემპერატურის განსაზღვრა დებრესიას არ იძლევა.

ელემენტარული ანალიზი გვიჩვენებს, რომ იგი უპასუხებს $C_{18}H_{20}$ შედგენილობის ნახშირწყალბადს

ნაპოენია % C 91,93; 91,85 H 8,45; 8,44

$C_{18}H_{20}$ გამოთვლილია % C 91,52, H 8,48

მოლეკულური წონის განსაზღვრა კრიოსკოპული გზით (ბენზოლში) შემდეგ სურათს იძლევა: ნაპოენი მოლეკულური წონა—243,9; 240,8. მოლეკულური წონა, გამოთვლილი $C_{18}H_{20}$ -ისათვის—236.

კრისტალური ნივთიერება, ლ. ტ. 83—83,7, ჩვეულებრივ პირობებში ოთახის ტემპერატურაზე პლატინის კატალიზატორთან არ პიდირდება. არ აუფერულებს ბრომიან წყალს და პერმანგანატის სუსტ ტუტე ხსნარს. პიკრინის მჟავასთან პიკრატს არ იძლევა. იმისდა მიხედვით, თუ რა პირობებში ხდება მისი დაქანგვა—ქრომის ანჰიდრიდით თუ „ქრომოვანი ნარევით“ ყინულოვან ძმარმჟავაში, სხვადასხვა სახის ჟანგვის პროდუქტები მიიღება.

I ცდა. კულაში ვათავსებდით 0,8 გ ნივთიერებას, გახსნილს 50 მლ ყინულოვან ძმარმჟავაში, და ოდნავი შეთბობისას თანდათანობით ვუმატებდით 1,5 გ CrO_3 -ს. ენერგიული დაქანგვის შემდეგ, რომელიც დაახლოებით 10 წუთს გრძელდებოდა, კულას ვათავსებდით მდულარე წყლის აბაზანაზე და ვქანგავდით კიდევ 30 წუთს. სარეაქციო მასა განვაზავეთ წყლით და მრავალჯერ ამოვაწვით ეთერით, ეთერამონაწობი გავრეცხეთ წყლით, გავაშრეთ გაუწყლოებული Na_2SO_4 -ით და ძმარმჟავას ნარევი ეთერთან მთლიანად ავართქლეთ. ამ გზით მიღებული მყარი მასა დავამუშავეთ ნატრიუმის ტუტის 5%-ანი ხსნარით და ნეიტრალური ნივთიერება დავაცილეთ ეთერით. ნაშთის ორჯერ გადაკრისტალებით ეთილის სპირტიდან მიღებული იყო კრისტალური ნივთიერება, ლ. ტ. 206—207°. იგი არ იხსნება არც ტუტეში და არც განზავებულ მჟავებში. კონცენტრირებული გოგირდმჟავას წვეთის დამატებით ღებულობს დამახასიათებელ მოწითალო-ყავისფერ შეფერვას. იმის გამო, რომ აღნიშნული ნივთიერება მცირე რაოდენობით იყო მიღებული, მისი უფრო დეტალურად დახასიათება არ მოხერხდა.

II ცდა. 1 გ კრისტალური ნივთიერება, ლ. ტ. 83—83,7°, დაქანგულ იქნა უფრო მკაცრ პირობებში 4 გ CrO_3 -ით სამი საათის განმავლობაში. ამ შემთხვევაში ნატრიუმის მარილების შემჟავებული ხსნარიდან (ნეიტრალური ნივთიერების წინასწარი დაცილების შემდეგ) ჩვენ შევძელით მყარ კარბონ-მჟავათა ნარევის გამოყოფა. ამ ნარევის ქლოროფორმით მრავალჯერადი ჩარეცხვის შემდეგ მიღებულ იქნა მყარი მოყვითალო თეთრი ფერის კრისტალური მასა, რომელიც საფუძვლიანი გაშრობის შემდეგ ღღებოდა 94—95°-ის ფარგლებში. ამ ნაერთის შერეული სინჯის ღღობის ტემპერატურის განსაზღვრამ სინთეზურ გლუტარის მჟავასთან გვიჩვენა უმნიშვნელო დებრესია 94°-მდე.

იმავე ნივთიერების სხვა ნიმუშების ანალოგიურ პირობებში დაჟანგვით შეფქვლით სუბლიმატის სახით ბენზოის მჟავას გამოყოფა, ლ. ტ. 116—119°. ამ ნივთიერების შერეული სინჯის ლღობის ტემპერატურის განსაზღვრამ ბენზოის მჟავასთან დებრესია არ გვიჩვენა.

რაც შეეხება ორთო-ფტალის მჟავას, იგი, როგორც ზემოთ იყო აღნიშნული, იდენტიფიცირებული იყო ფლუორესცენის რეაქციით.

1-აცეტოქსი-2-ფენილ-1,2-დიციკლოპენტილიდენეთანის ინტრამოლეკულური ციკლიზაცია

რეაქციას ვატარებდით ფრიდელისა და კრაფტის სინთეზების ჩვეულებრივ პირობებში. ამისათვის სამ გრამ ნივთიერებას ვხსნიდით 50 მლ დეარომატიზებულ ლიგროინში, ვუმატებდით 1,5 გ უწყლო $AlCl_3$ (1 მოლი) და კულას თანდათანობით ვაცხვლებდით 80—90-მდე. HCl -ის გამოყოფა ცოტახანს გრძელდებოდა. წარმოქმნილი კომპლექსი დავშალეთ შემჟავებული წყლით და ჩვეულებრივად დავამუშავეთ. გამხსნელის დაცილების შემდეგ ნაშთი დავაფრაქციონირეთ. მიღებული ფრაქციები ახელ ფენებად მოვათავსეთ კრისტალიზატორზე. რამდენიმე წუთის შემდეგ შემჩნეულ იქნა კრისტალიზაციური ცენტრების წარმოქმნა, რომლებმაც რამდენიმე საათის შემდეგ მიკროსკოპში ადვილად შესამჩნევი სრულიად გარკვეული კრისტალური ფორმა მიიღო. მაგრამ მათი სუფთა სახით გამოყოფა ანელად განსახორციელებელი ამოცანა აღმოჩნდა. ამ ამოცანის გადაჭრა მოხერხდა ალუმინის ჟანგით ავსებულ სვეტში სათანადოდ მომზადებული პეტროლეინის ეთერის ხსნარების ვატარების და ქრომატოგრაფიის გზით.

ამ გზით გამოყოფილი იყო საკმაოდ სუფთა პროდუქტი (ლ. ტ. 82—82,5). მის სუფთა კრისტალურ ნივთიერებასთან (ლ. ტ. 83—83,7) შერეული სინჯის ლღობის ტემპერატურის განსაზღვრამ დებრესია არ გვიჩვენა.

ანალოგიური შედეგები მიღებული იყო აგრეთვე აღნიშნული რეაქციის ჩატარებისას გოგირდნაწიბრბადის არეში.

ამ მონაცემების საფუძველზე ჩვენ ვასკენით, რომ ინტრამოლეკულური ციკლიზაციის პროდუქტიც $C_{15}H_{20}$ შედგენილობის კრისტალურ ნახშირწყალბადს წარმოადგენს.

საქართველოს სსრ მეცნიერებათა აკადემია

პ. მელიქიშვილის სახელობის

ქიმიის ინსტიტუტი

თბილისი

(რედაქციას მოუვიდა 12.10.1954)

დამოწმებული ლიტერატურა

1. P. M. Лагидзе и чл.-корр. АН СССР А. Д. Петров. Об алкилировании бензола диацетатом 1,4-бутиндиола в присутствии $AlCl_3$. ДАН СССР, 83, 1952, 235.
2. P. S. Pinkney and C. S. Marvel. Fused ring systems from diacetylene. VI. Some limitations of the cyclization reaction. J. Am. chem. Soc. 59, 1937, 2668.
3. Ю. С. Залькин и И. М. Гвердцители. О присоединении водорода к ацетиленовым производным. ЖОХ, 1939, 855.



ლ. მელიქაძე და ნ. ბაქაური

მინერალური ზეთის დესტილაცია ზედაპირული აორთქლების პირობებში

(წარმოადგინა აკადემიის წევრ-კორესპონდენტმა გ. ციციშვილმა 19.10.1954)

ჩვეულებრივ, ნახშირწყალბადთა ნარევი შემადგენელ კომპონენტთა განაწილების გამომხატველია ნარევის გამოხდით მიღებულ ვიწრო ფრაქციათა რეფრაქციის მაჩვენებლის ცვლილება. ეს მდგომარეობა განსაკუთრებით ნათლად მაშინ გამოიხატება, როდესაც ნარევის შემადგენელი კომპონენტების რიცხვი მცირეა და რეფრაქციის მაჩვენებლებით ისინი საგრძნობლად განსხვავდებიან. აღნიშნული გარემოება ამჟამად გამოყენებას პოულობს ბენზინის ფრაქციათა შესწავლისას.

მაღალმოლეკულური ზეთის ფრაქციების შემთხვევაში ეს შესაძლებლობა განსაზღვრულია, ვინაიდან ურთიერთმსგავსი დუღილის ტემპერატურისა და რეფრაქციის მაჩვენებლის მქონე მრავალი ნახშირწყალბადის იზომერების შემცველობის გამო ფრაქციათა მრუდი არ გამოხატავს რეფრაქციის მაჩვენებელთა მკვეთრ განსხვავებას. ჩვეულებრივ, ზეთის ფრაქციებში გამოხდის ტემპერატურის ან მოლეკულური წონის ზრდის მიხედვით ადგილი აქვს რეფრაქციის მაჩვენებლის ზრდასაც.

ამის საწინააღმდეგო დამოკიდებულება ჩვენ მიერ დადგენილ იქნა ზედაპირული აორთქლების პირობებში დესტილაციით მიღებული ვიწრო ფრაქციების რეფრაქციის მაჩვენებლის შესწავლით. ზედაპირული აორთქლებით მიღებული ზეთის ვიწრო ფრაქციათა რეფრაქციის მაჩვენებელი აორთქლების ტემპერატურის ზრდის მიხედვით კი არ იზრდება, როგორც ეს ცნობილია ჩვეულებრივ გამოხდის პირობებში, არამედ მკვეთრად მცირდება და, ამრიგად, საწინააღმდეგო დამოკიდებულებას გვიჩვენებს.

ნახაზზე მოცემულია მირზანის ნავთობის ზეთის ფართო ფრაქციიდან (400—450°) ვაკუუმდესტილაციითა და ზედაპირული აორთქლებით მიღებულ ვიწრო ფრაქციათა რეფრაქციის მაჩვენებლის ტემპერატურისაგან დამოკიდებულების მრუდები (იხ. ნახ. 1). ორივე შემთხვევაში დესტილაცია წარმოებდა 1 მმ სინდიის სვეტის წნევის დროს. გამოსავალი ფრაქციის რეფრაქციის მაჩვენებელი = 1.5080.

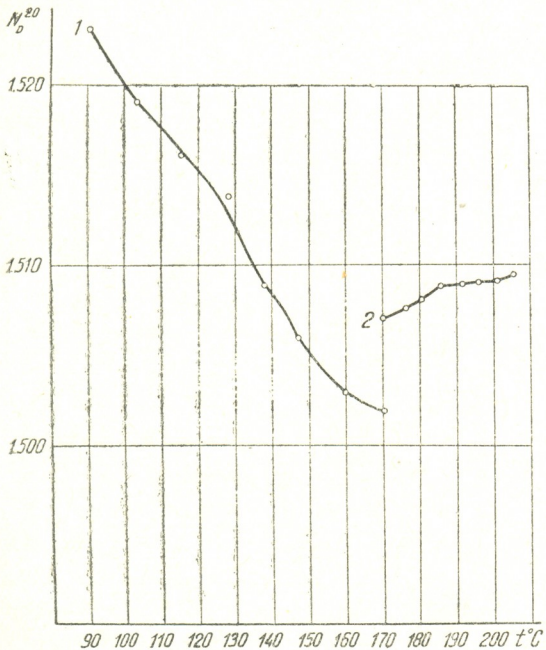
ზედაპირული აორთქლებით მიღებულ ფრაქციებში დადგენილი სპეციფიკური ფაქტის კანონზომიერება ჩვენ მიერ დადასტურებული იყო სხვა ნავთობების ზეთის ფრაქციებზედაც.

აღნიშნული სპეციფიკური კანონზომიერების ახსნა მხოლოდ იმით შეიძლება, თუ დავუშვებთ, რომ ზედაპირული აორთქლების პირობებში ზეთის ფრაქციიდან უპირველესად აორთქლდება ის ნახშირწყალბადები, რომელთაც ახასიათებს რეფრაქციის მაჩვენებლის მაქსიმალური მნიშვნელობა. ასეთები ზეთის ფრაქციებში, როგორც ცნობილია, შეიძლება იყოს მცირედ განზოგადებული პოლიციკლური არომატული რიგის ნახშირწყალბადები.

არა გვაქვს საფუძველი ვიფიქროთ, რომ გამოსავალი ზეთის შედარებით დაბალმოლეკულიანი ნაწილი (რომელსაც უნდა ახასიათებდეს შედარებით მაღალი ორთქლის წნევა) შეიძლება ხასიათდებოდეს მაღალი რეფრაქციის

მაჩვენებლით. ვაკუუმდესტილაციით მიღებული ვიწრო ფრაქციებისათვის რეფრაქციის მაჩვენებელთა ცვლილება სრულებით გამორიცხავს ამის შესაძლებლობას (იხ. ნახ. 1).

კვლევისათვის გამოყენებული ექსპერიმენტული დანადგარი პრინციპულად არ განსხვავდება პერიოდულად მოქმედ მოლეკულური დესტილაციის მოწყობილობისაგან [1]. იგი შედგება ფოლადის ბრტყელძირიანი ცილინდრული ჭურჭლისაგან (დიამეტრი 20 სმ), რომელსაც ზედ მიხეხილი აქვს მინის სფერული ხუფი (იხ. ნახ. 2). ამრიგად, სისტემა პერმეტულად არის დაცული. ფოლადის ჭურჭელი მოთავსებულია ჰაერის თერ-



ნახ. 1. ნორის ნავთობის ზეთის ფრაქციის ზედაპირული აორთქლებისა და ვაკუუმგამოხდის მრუდები: I—ზედაპირული აორთქლება; II—ვაკუუმგამოხდა

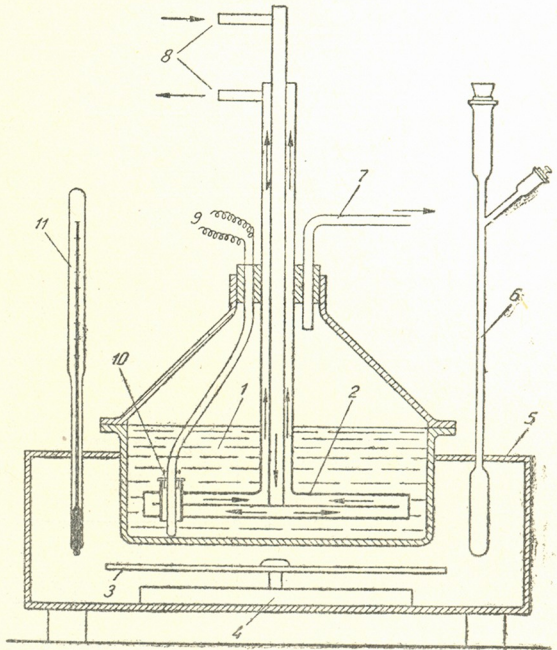
მოსტატში, რომელსაც დართული აქვს ელმახურებელი, თერმორეგულატორი და თერმომეტრი. გამოსაკვლევი ნივთიერება თავსდება ფოლადის ჭურჭელში.

სფერულ მინის ხუფში სითხის ზედაპირის პარალელურად თითბრის მილის საშუალებით დამაგრებულია თითბრის კონდენსატორი, რომელიც ამავე დროს კონდენსირებული ფრაქციების დამჭერის როლსაც ასრულებს. კონდენსატორში თითბრის მილის საშუალებით ხდება გამაცივებელი სითხის ცირკულაცია და ამით კონდენსატორის გაცივება. სისტემა შეერთებულია ვაკუუმტუმბოსთან და სინდიუს ვაკუუმმეტრთან. დანადგარის კონსტრუქცია საშუალებას იძლევა ნებისმიერად ვცვალოთ მანძილი კონდენსატორსა და სითხის (აორთქლების) ზედაპირს შორის. დანადგარში საკვლევი სითხის შრეში ტემ-



პერატურის გასაზომად მოწყობილია თერმოელექტრული, რკინა-კონსტანტანის წყვილებისაგან შემდგარი ბატარეა.

დანადგარის მუშაობის პრინციპი შემდეგში მდგომარეობს: სითხის შრეში, თერმორეგულატორის საშუალებით, გარკვეული ტემპერატურის დამყარების შემდეგ ვურთავთ ვაკუუმტუმბოს, რომლის სიმძლავრე სისტემის სწრაფი ევაკუირების (0,5 მმ სინდ. სვეტის ნარჩენ წნევამდე) საშუალებას იძლევა. ასეთ პირობებში სითხის ზედაპირიდან აორთქლებული ნახშირწყალბადები კონდენსატორის ზედაპირთან შეხებისთანავე კონდენსირდება და თხელი შრის სახით იყინება.

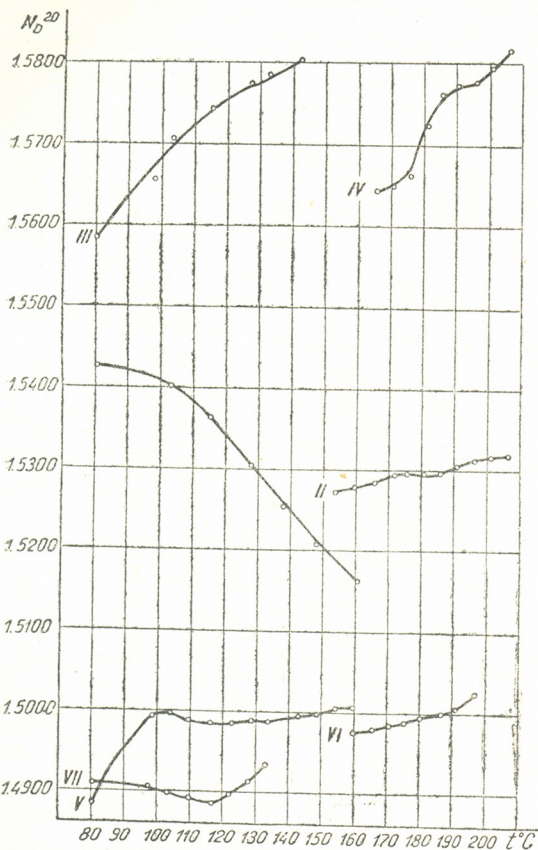


ვინაიდან პროცესი ისეთ დაბალ ტემპერატურაზე მიმდინარეობს, რომ არსებულ ვაკუუმის პირობებში სითხის დუღილს ადგილი არა აქვს, ამისათვის, ბუნებრივია, აორთქლება მხოლოდ სითხის ზედაპირიდან ხდება. გარკვეული დროის შემდეგ კონდენსატორის ზედაპირზე გამოყოფილი დესტილატის ალებისათვის ვაკუუმტუმბოს ვაჩქრებთ, სისტემაში ვუშვებთ ჰაერს, ვხსნით მინის ხუფს და მასზე დამაგრებული კონდენსატორიდან სპეციალური ალუმინის შპატელით ვიღებთ თხელი შრის სახით გამყარებულ ზეთის ფრაქციას. კონდენსატორის გასუფთავების შემდეგ სისტემას ძველებურად ვაწყობთ და სითხეში სათანადო ტემპერატურის დამყარების შემდეგ ვიწყებთ ახალი ფრაქციის დაგროვებას. ანალოგიურად ხდება შემდეგი თანმიმდევნო ფრაქციების მიღებაც.

ნახ. 2. ზედაპირული დესტილაციის დანადგარის სქემა: 1—ექსიკატორი; 2—კონდენსატორი; 3—ეკრანი; 4—ელმანხურებელი; 5—თერმოსტატი; 6—თერმორეგულატორი; 7—გამწოვი მილი; 8—მაციებელი სითხის საცირკულაციო მილები; 9—შევრთება გალვანომეტრთან; 10—თერმოწყვილი; 11—თერმომეტრი

ზედაპირული აორთქლებით მიღებული ვიწრო ფრაქციებისათვის მრუდის აღნიშნული თავისებურების გარკვევისათვის შესწავლილ იქნა ნორიოს ნავთობის ზეთის ფრაქცია და მისგან გამოყოფილი პარაფინული, ნავთენური და არომატული რიგის ნახშირწყალბადები. პარალელურად შესწავლილია ამავე ობიექტების ვაკუუმდესტილაციით მიღებული ვიწრო ფრაქციებიც.

მიღებული მონაცემები მრუდების სახით გამოხატულია ნახ. 3-ზე. არომატული რიგის ნახშირწყალბადები გამოყოფილია სელექციური გამხსნელით (ანალინით), პარაფინული—გამოყინვით, ნავთენური კი მიღებულია ნარჩენის სახით, ფრაქციიდან პარაფინულ და არომატულ ნახშირწყალბადთა დაცილების შემდეგ.



ნახ. 3. გამოსავალი ზეთისა და მასში შემავალი არომატიკის, ნავთენებისა და პარაფინების მრუდები: I—გამოსავალი ფრაქციის დესტილაცია ზედაპირული აორთქლებით; II—გამოსავალი ფრაქციის ვაკუუმგამოხდა; III—გამოსავალი ფრაქციიდან გამოყოფილი არომატიკის დესტილაცია ზედაპირული აორთქლებით; IV—გამოსავალი ფრაქციიდან გამოყოფილი არომატიკის ვაკუუმგამოხდა; V—გამოსავალი ფრაქციიდან გამოყოფილი ნავთენების დესტილაცია ზედაპირული აორთქლებით; VI—გამოსავალი ფრაქციიდან გამოყოფილი ნავთენების ვაკუუმგამოხდა; VII—გამოსავალი ფრაქციიდან გამოყოფილი პარაფინების დესტილაცია ზედაპირული აორთქლებით

მა შემოწმებულ იქნა ხელოვნურად დამზადებულ ნარევებზეც. ხელოვნური ნარევეები მზადდებოდა სათანადო ზეთის ვიწრო ფრაქციებიდან გამოყოფილი არომატული და პარაფინული რიგის ნახშირწყალბადებისაგან.

მიღებული შედეგების საფუძველზე შეიძლება დავასკვნათ, რომ შესწავლილი პარაფინული, ნავთენური და არომატული ნახშირწყალბადების ვიწრო ფრაქციებს (მიღებულს როგორც ზედაპირული აორთქლებით, ისე ჩვეულებრივი ვაკუუმდესტილაციით) ახასიათებს N_D-t -ს პრინციპულად მსგავსი დამოკიდებულება—კერძოდ, ორივე პირობებში მიღებულ ვიწრო ფრაქციათა რეფრაქციის მაჩვენებლის ზრდა დესტილაციის ტემპერატურის ზრდის მიხედვით.

ამ მხრივ გამოსავალი ნორიოს ზეთის ფრაქცია, რომელიც აღნიშნული რიგის ნახშირწყალბადთა ნარევეს წარმოადგენს, რეფრაქციის პრინციპულად განსხვავებულ სურათს იძლევა. ზედაპირული აორთქლებით მიღებულ თანმიმდევრო ფრაქციების მაჩვენებელი კი არ იზრდება, არამედ მკვეთრად შემცირების ტენდენციას განიცდის. აღნიშნულის გამო შეგვიძლია დავასკვნათ, რომ ეს სპეციფიკური დამოკიდებულება დაკავშირებულია სისტემის თავისებურებებსა და ნარევებთან—ხარევებთან.

შემდეგ ეს მდგომარეობა



არომატული რიგის ნახშირწყალბადები გამოყოფილი იყო ზეთის ფრაქციიდან სელექციური გამხსნელით (ანილინით), პარაფინული ნახშირწყალბადები კი იმავე ტემპერატურის ინტერვალებში მიღებულ ილდოკანის ნავთობის ზეთის ფრაქციიდან შარდვანის კომპლექსნაერთების სახით [2].

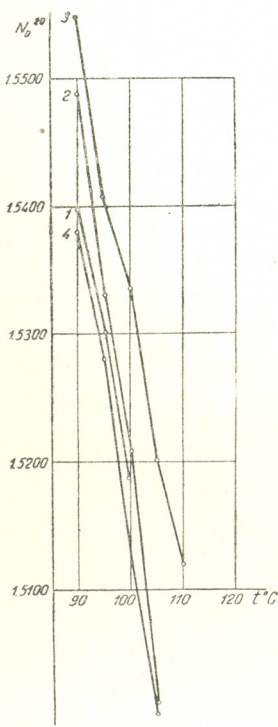
ამრიგად, მიღებული ნახშირწყალბადები მეორედ გამოიხადა ვაკუუმში ვიწრო 5°-იან ფრაქციებად. ხელოვნური ნარევისათვის გამოყენებული იყო ერთი და იმავე ტემპერატურის ინტერვალებში გამოიღილი ვიწრო ფრაქციები (იხ. ნახ. 4). ხელოვნური ნარევების დახასიათება მოცემულია პირველ ცხრილში.

ნახაზზე მოცემული მრუდების ხასიათი საესებით ადასტურებს ზემოთ გამოთქმულ მოსაზრებას.

სხვადასხვა მოლეკულური წონის ზეთის ფრაქციებიდან ზედაპირული აორთქლებით მიღებული დესტილატების შესწავლით დადგენილ იქნა, რომ აღნიშნულ სპეციფიკურ კანონზომიერებას ჩვენს პირობებში ადგილი აქვს მხოლოდ შედარებით მაღალი მოლეკულური ფრაქციების შემთხვევაში (იხ. ნახ. 5 და 6).

განხილული ექსპერიმენტული მონაცემების საფუძველზე ზეთის ფრაქციების ზედაპირული აორთქლების პროცესი შეიძლება შემდეგნაირად წარმოვიდგინოთ.

ცნობილია, რომ სითხის (ნარევის) დუღილის დროს ორთქლის შედგენილობა განისაზღვრება სითხის შედგენილობით და შემადგენელი კომპონენტების ორთქლის დრეკადობით. ვინაიდან დუღილის დროს ადგილი აქვს სითხის მთელი მასის ინტენსიურ არევას, ამიტომ სითხის ზედაპირული და მოცულობითი შედგენილობა ერთნაირი უნდა იყოს. ასეთ პირობებში წარმოქმნილი ორთქლის შემადგენლობაც სითხის ზედაპირული ან. რაც ამ შემთხვევაში იგივეა, მოცულობითი შედგენილობით განისაზღვრება.



ნახ. 4. ხელოვნური ნარევის ზედაპირული აორთქლების მრუდები (განმარტება იხილეთ პირველ ცხრილში)

ჩვეულებრივად, ანალოგიურ მდგომარეობას აქვს ადგილი ვაკუუმდესტილაციის დროსაც, როდესაც თანმომდევნოდ მიღებული ზეთის ვიწრო ფრაქციები წარმოადგენენ ნახშირწყალბადთა ნარევის, ზრდადი დუღილის ტემპერატურით, მოლეკულური წონითა და რეფრაქციის მაჩვენებლით. ამის გამო ბუნებრივია ვაკუუმდესტილაციით თანმომდევნოდ მიღებულ ვიწრო ფრაქციებში რეფრაქციის მაჩვენებლის ზრდის ტენდენცია [3].

ზედაპირული აორთქლების პირობებში სითხის ზედაპირზე მიღებული ორთქლიც სითხის ზედაპირული აკვის შედგენილობას უნდა შეესაბამებოდეს,

მაგრამ ამ შემთხვევაში სითხის ზედაპირული შედგენილობა შეიძლება საგრძნობლად განსხვავებულ იქნეს სითხის მოცულობითი შედგენილობისაგან უკანასკნელში ზედაპირული აქტიურობის თვალთახედვით განსხვავებული კომპონენტების შემცველობის გამო.

ცხრილი 1

ხელოვნური ნარევის დახასიათება

ბრუნის მაჩვენებელი მე-4 ნახაზზე	ნარევის შემადგენელი კომპონენტები		ხელოვნური ნარევის შემადგენლობა			ზედაპირული აორთქლებით მიღებული ვიწრო ფრაქციების დახასიათება				
	პარაფინული ნახშირწყალბადი	არომატული ნახშირწყალბადი	ნარევის N_D^{20}	პარაფინების რაოდენობა % $^{0/0}$ -ით	არომატის რაოდენობა % $^{0/0}$ -ით	N_D^{20}				
						90°	95°	100°	105°	110°
	1	1,4902	1,5655	1,5310	45,82	54,18	1,5398	1,5301	1,5185	—
2	1,4888	1,5728	1,5351	44,88	55,12	1,5486	1,5228	1,5208	1,5080	—
3	1,4883	1,5740	1,5340	46,67	53,33	1,5562	1,5406	1,5335	1,5200	1,5122
4	1,4910	1,5770	1,5120	75,58	24,44	1,5380	1,5280	1,5125	1,5030	—

ზედაპირული აპკისა და ზედაპირულად აქტიური კომპონენტების გავლენა აორთქლების ხასიათსა და სიჩქარეზე, სხვადასხვა სისტემებისათვის ნახევრები იყო ჯერ კიდევ ადრეულ შრომებში [4,5].

ნავთობის ზეთის ფრაქციებში შენავალ ნახშირწყალბადებს შორის არომატული რიგის ნაერთებს შედარებით მაღალი ზედაპირული აქტიურობა ახასიათებს, რის გამოც იაინი ქრომატოგრაფია ადამრბციულ რიგში ნახშირწყალბადთა შორის პირველ ადგილს იკავებენ [6].

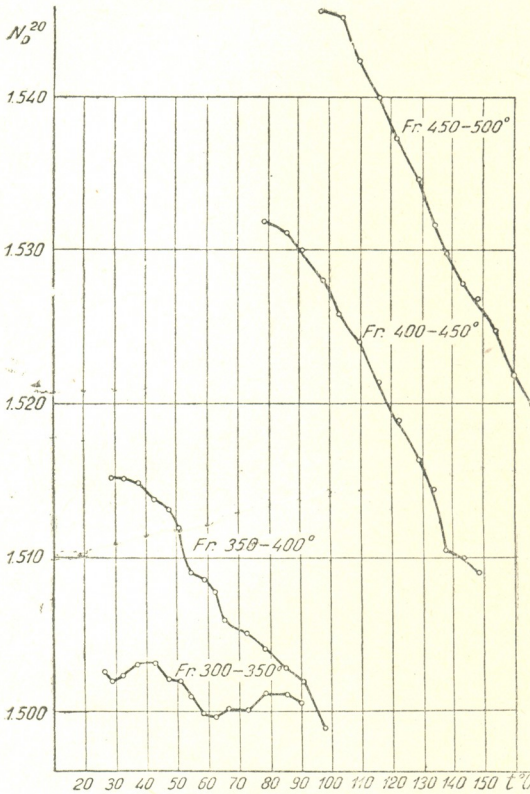
აღნიშნული გარემოება იმ შესაძლებლობაზე მიგვითითებს, რომ ზეთის ზედაპირული აპკი, რომელიც ზედაპირული აორთქლების პირობებში განსაზღვრავს ორთქლის ფაზის შედგენილობას, უფრო მეტად იქნება გაჯერებული ზედაპირულად აქტიური კომპონენტებით (პოლიციკლური არომატული რიგის ნახშირწყალბადებით), ვიდრე ნაკლებად აქტიური პარაფინული და ნავთენური ნახშირწყალბადებით.

ცნობილია, რომ ზეთის ნახშირწყალბადთა შორის პოლიციკლურ არომატულ ნაწილს ახასიათებს რეფრაქტია მაჩვენებლის მაქსიმალური მნიშვნელობა. ბუნებრივია, რომ ზედაპირული აორთქლებით მიღებული პირველი ვიწრო ფრაქციები, რომელნიც პოლიციკლურ არომატულ ნახშირწყალბადთა მაქსიმალურ რაოდენობას შეიცავენ, შედარებით მაღალი რეფრაქციის მაჩვენებლით უნდა ხასიათდებოდეს. შემდეგ ზეთში და შესაფერისად ზეთის ზედაპირულ აპკში არომატულ ნახშირწყალბადთა აქტიური სტრუქტურული ფორმების შემცირების გამო ორთქლის ფაზაში არომატულ ნახშირწყალბადთა კონცენტრაცია კლებულობს და ამის შესაბამისად დესტილატთა რეფრაქციის მაჩვენებელიც მცირდება.

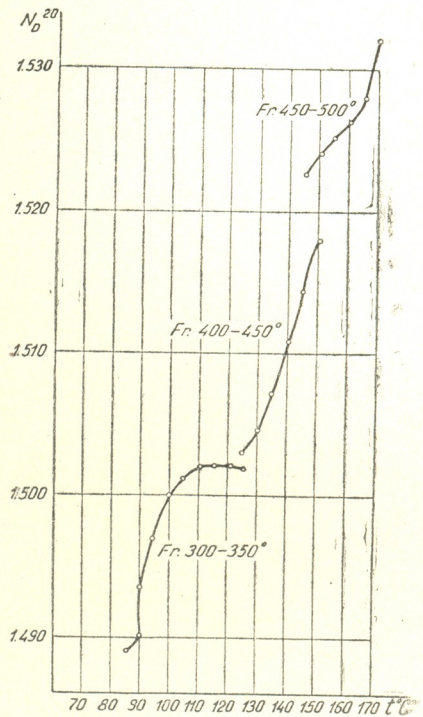


ამრიგად, მინერალური ზეთების ზედაპირული აორთქლების პირობებში ადგილი აქვს ნახშირწყალბადთა ზედაპირული თვისებების გამოვლინებას.

ნავთობის მაღალმოლეკულურ ნახშირწყალბადთა შესწავლისათვის აღნიშნულ მოვლენას შეიძლება მიეცეს აგრეთვე გარკვეული მეთოდური გამოყენება.



ნახ. 5. ზეთის ფრაქციების ზედაპირული აორთქლების მრუდები



ნახ. 6. ზეთის ფრაქციების ვაკუუმ-გამოხდის მრუდები

ნება როგორც ნახშირწყალბადთა ნარევის ხასიათის შეფასების მხრივ, ასევე მისი დაყოფისათვის შემდგომი კვლევის გაადვილების მიზნით.

ამ მეთოდი გამოყენებით შესაძლებელი შეიქნა ნორიოს ნავთობის მაღალმოლეკულური არომატული ნახშირწყალბადებიდან უცნობი, კრისტალური კომპონენტების გამოყოფა, რომლებსაც მეტისმეტად საინტერესო ფიზიკური და ქიმიური თვისებები ახასიათებს.

საქართველოს სსრ მეცნიერებათა აკადემია

პ. მელიქიშვილის სახელობის

ქიმიის ინსტიტუტი

თბილისი

(რედაქციას მოუვიდა 20.10.1954)

დამოწმებული ლიტერატურა

1. Н. М. Жаворонков и В. А. Мамосов. Молекулярная дистилляция. «Хим. пром.» II, 1950, стр. 29; 12, 1950, стр. 20.
2. Л. М. Розенберг и И. С. Генех. К вопросу о выделении парафиновых углеводородов с помощью мочевины. ДАН СССР, LXXXIV, № 3, 1952, стр. 523.
3. Химический состав нефти и нефтяных продуктов. Труды Научно-исследовательского института Грознефти, 1935.
4. М. Баранев. Кинетика испарения. «Усп. Хим». VII, 6, 1938, стр. 1231.
5. К. С. D. Hickman. Surface behavior in the pot still. Ind. Eng. Chem. 44, 8, 1952, 1892.
6. Н. А. Фукс. Реакция и методы исследования органических соединений. Метод Цвета в органической химии. т. I, 1951.

დ. ნაბიერიძე

შახტიან- და დოლისებურწისქვილებიან საცეცხლეებში ტყიბულის ქვანახშირის დაწვის საკითხისათვის

(წარმოადგინა აკადემიის წევრ-კორესპონდენტმა გ. გედევანიშვილმა 18.6.1954)

ტყიბულის ქვანახშირი, რომელიც უკანასკნელ ხანებამდე მხოლოდ ფენური წვის საცეცხლეებში პოულობდა გამოყენებას, ამჟამად ფართოდ ვრცელდება როგორც დაფქვილი სათბობი შახტიან- და დოლისებურწისქვილებიანი ქვაბ-დანადგარებისათვის [1].

ცნობილია [2,3], რომ შახტიან წისქვილებს თავდაპირველად უმთავრესად ფრეზული ტორფისა და მურა ნახშირის დასაფქვადა იყენებდნენ, ისიც შედარებით მცირემწარმოებლიან ქვაბდანადგარებისათვის. მაგრამ შემდგომ დაიწყო ამ წისქვილების გამოყენება ქვაბდანადგარებისათვისაც, რომელთა მწარმოებლობა 230 $\frac{\text{ტონა}}{\text{საათ.}}$ -ს აღწევს და რომელნიც მუშაობენ არა მარტო მურა

ნახშირით, არამედ შედარებით რბილი, აქროლადების დიდი რაოდენობის შემცველი ($V_r = 30\%$) გაზიანი ქვანახშირებითაც.

ამ სტატიაში მოცემულია წვის მექანიკური არასრულობით გამოწვეული დანაკარგებისა და სათბობის დაფქვაზე დახარჯული ელექტროენერგიის ხვედრითი ხარჯების მნიშვნელობანი, რომელნიც ახასიათებენ შახტიან- და დოლისებურწისქვილებიან ეკრანიან საცეცხლეებში ტყიბულის ნახშირის დაწვის ეფექტიანობას. ამ მონაცემების განხილვის საფუძველზე გაკეთებულია დასკვნები ხსენებულ წისქვილებში ტყიბულის ნახშირის დაფქვის ოპტიმალური სიმსხვილის შესახებ.

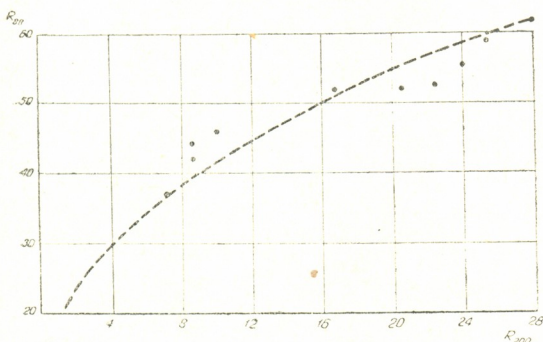
ხსენებული მონაცემების მიღების მიზნით ჩვენ ჩავატარეთ ორი ქვაბდანადგარის თბოტექნიკური გამოცდა, რომელთაგან ერთს ჰქონდა დოლისებურწისქვილებიანი საცეცხლე, ხოლო მეორეს შახტიანწისქვილებიანი საცეცხლე. აქ მოგვყავს ხსენებული ქვაბდანადგარების მოკლე დახასიათება.

შახტიანწისქვილებიანი საცეცხლე აქვს ТИИ—150—1 ტიპის ქვაბს, რომლის მაქსიმალური საპროექტო მწარმოებლობა 150 $\frac{\text{ტონა}}{\text{საათ.}}$ -ს შეადგენს. ამ ქვა-

ბის საცეცხლე კამერის ყველა კედელი დაეკრანებულია გლუვი მილებით. გარდა ამისა, კამერას აქვს ცივი სანაცრე ძაბრი. კამერაში ჰაერნაფქვის მისაწოდებელი ამბრაზურები განლაგებულია საცეცხლე კამერის ფრონტალურ კედელში. საქმენები მეორეული ჰაერისათვის განლაგებულია როგორც ამბრაზურებს ზემოთ, ისე მათ ქვემოთ; საქმენების დახრის კუთხე 30° -ს შეადგენს.

სათბობი იფქვება სამ შახტიან წისქვილში, რომელთა ტიპი და ზომაა 1660/2004. ეს წისქვილები საცეცხლე კამერას უერთდებიან ვერტიკალური სა-გრავეიტაციო შახტებით. პროექტის თანახმად, ხსენებული ქვაბდანდგარისა-თვის სათბობად მიღებულია ტყიბულის გაზიანი ნახშირის გამდიდრების ნარჩე-ნები, რომელთათვისაც $Q_{ჩ}^I = 3078 \frac{\text{კაქალ}}{\text{კგ}}$, $W_p = 12\%$ და $K_{ჩ} = 1,4$. საცეცხლე კამერის მოცულობა შეადგენს 780 მ³-ს. ქვაბს აქვს წყლის ეკონომიზური და ჰაერშემათბობელი.

დოლისებურ წისქვილებში დაფქვილი სათბობი იწვება „სტირლინგის“ ტიპის სამდოლიანი ქვაბის საცეცხლეში. ამ ქვაბის მაქსიმალური მწარმოებლობა 110 $\frac{\text{ტონა}}{\text{საათ.}}$ -ს შეადგენს; ჰაერნაფქვის მიწოდება ხსენებულ საცეცხლეში, რომლის მოცულობა 500 მ³-ს შეადგენს, ხორციელდება ფრონტალურად გან-



ნახ. 1. დამოკიდებულება სრულ ნარჩენებს შორის საც-რებზე 88 μ და 200 μ (წყვეტილი ხაზი—საკავშირობ თბოტექნიკური ინსტიტუტის მონაცემების მიხედვით; წერტილები—ავტორის მიერ შახტიან წისქვილებზე ჩატარებული ცდების მონაცემები)

ფქვის სისტემის სქემა ინდივიდუალური, შეკრული და შუალედუნკერიანია. ყოველი წისქვილისათვის გათვალისწინებულია საკუთარი საწისქვილე ვენტი-ლატორი. ვინაიდან ამ ქვაბს, ისევე როგორც ზემოთ განხილულს, აქვს წყლის ეკონომიზური და ჰაერშემათბობელი, გამომავალი აირების ტემპერატურები ორივე ქვაბისათვის პრაქტიკულად ერთი და იგივეა.

თუ იმასაც გავითვალისწინებთ, რომ ორივე ქვაბაგრეგატი ერთსა და იმავე ელექტროსადგურზეა და მათ ერთი და იგივე საექსპლოატაციო პერ-სონალი უწევს მომსახურებას, დავინახავთ, რომ ჩატარებული თბოტექნიკური გამოცდების შედეგები შეიძლება გამოყენებულ იქნეს აგრეთვე განხილული ტიპის საცეცხლეებში ტყიბულის ნახშირის დაწვის ეფექტიანობის ურთიერთ-შედარებისათვისაც.

ქვაბდანდგარების მარგი ქმედების კოეფიციენტების განსასაზღვრავად გამოყენებულ იქნა შებრუნებული ბალანსის მეთოდი. დაუწვავი ნახშირბადის

ლაგებული ფრქვევანების სა-შუალებით. კამერის ყველა კედელი დაცულია გლუვმი-ლებიანი ეკრანებით; ამ კა-მერასაც, ისევე როგორც ზემოთ განხილულს, აქვს ცივი სანაცრე საბრი.

სათბობად ამ ქვაბდა-ნადგარისათვის პროექტით გათვალისწინებულია გამდი-დრების ნარჩენები, რო-მელთა დახასიათება ზემოთ იყო მოცემული.

სათბობი იფქვება ორ წისქვილში, რომელთა დო-ლის დიამეტრი 2540 მმ-ია, სიგრძე კი 3998 მმ. და-

შემცველობა წიდასა, კვამლსადენებში დალექილ ნაცარსა და განატაც ნაცარში ცალ-ცალკე ისაზღვრებოდა. ნაცრის ბალანსის ხსენებული კომპონენტების ხვედრითი ოდენობანი მიღებულ იქნა სსრ კავშირის ელექტროსადგურების სამინისტროს სათანადო ინსტრუქციის [4] თანახმად; ამასთან დაკავშირებით გათვალისწინებულ იქნა, რომ ტყიბულის ნახშირი მეტად ძნელდნობადი ნაცრების კატეგორიას მიეკუთვნება [5].

ნაცრისა და წიდის სინჯების აღება და ნახშირბადის შემცველობის განსაზღვრა ამ ოპერაციების შესრულებისათვის დადგენილი წესების მიხედვით მიმდინარეობდა [6]. კერძოდ განატაცი ნაცრის სინჯების ასაღებად გამოყენებული იყო ორგარესის ტიპის ციკლონები, რომლებიც მიერთებული იყო კვამლმწოვიდან წვის პროდუქტების გამოსვლის ადგილთან. საცეცხლე კამერაში ტემპერატურათა განაწილების კონტროლი ხორციელდებოდა ოპირ—9 ტიპის ნაწილობრივი გამოსხივების პირომეტრით.

დოლისებურწისქვილებიან ქვაბზე დაფქვილი სათბობის სინჯებს შუალედი ბუნკერიდან ვიღებდით. შედარებით უფრო რთულ ამოცანას შეადგენდა სინჯების აღება შახტიანწისქვილებიანი ქვაბაგრეგატის შემთხვევაში. იმის გამო, რომ სამრეწველო ექსპლოატაციის პირობებში ქვაბის საცეცხლე კამერის ამბრაზურის ვანიკვეთის ზომფასების ჩატარება [2] ძნელი აღმოჩნდა. გადავწყვიტეთ სინჯები აგველო ხსენებული ვანიკვეთის ორ (ზედა და ქვედა) წერტილში. სინჯების აღება ხორციელდებოდა ორგარესის სისტემის ციკლონებთან მიერთებული ალნერის მიღების საშუალებით. ნაფქვის გამომწოვი სისტემის წინალობის გადასალახავად ჰაერის ეფექტორი გამოვყენეთ.

ნახ. 1-დან ჩანს, რომ, ხსენებული გამარტივების მიუხედავად, შახტიან წისქვილებში მიღებული ნაფქვის სიმსხვილის დახასიათება, რომელიც დადგენილ იქნა ჩვენი ცდების დროს, დამაკმაყოფილებლად უთანხმდება საკავშირო თბოტექნიკური ინსტიტუტის სათანადო მონაცემებს [2].

წვის პროდუქტების სინჯებს აირების ანალიზისათვის ეფექტორით ვიღებდით განუწყვეტლივ, მთელი ცდის განმავლობაში. ამ სინჯების აღება ხდებოდა როგორც ქვაბს შემდეგ, ისე ჰაერშემათბობელს შემდეგ, ქვაბაგრეგატის ორივე მხრიდან.

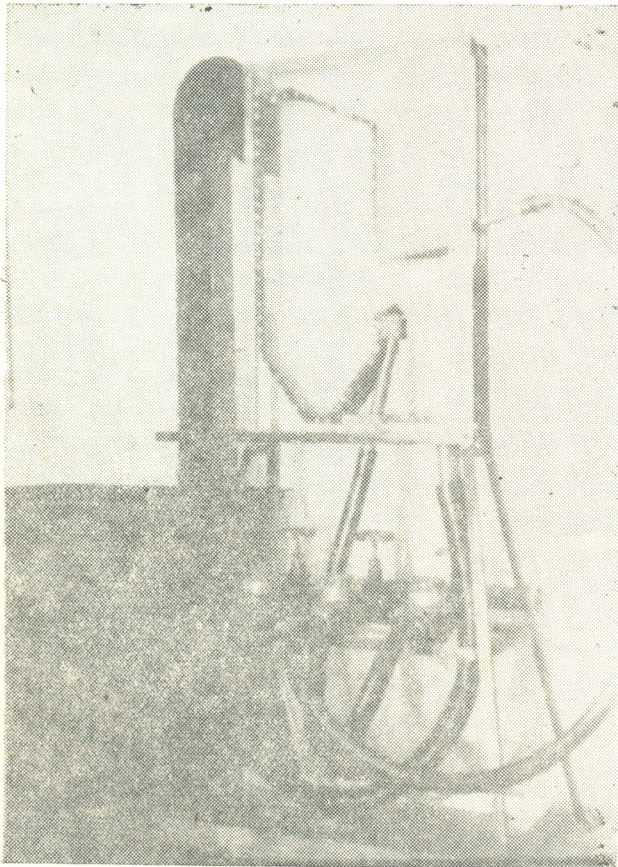
ცდების დაწყებამდე, წვის პროცესის გამართვისას აღმოჩნდა, რომ შახტიანწისქვილებიან საცეცხლეში წვის პროცესის მიმდინარეობას რივი არანორმალობა ახასიათებს. ქვედა საქმენებიდან მეორეული ჰაერის ინტენსიური მიწოდება იწვევდა გადახურების ტემპერატურის აწევას, ამცირებდა წვის პროცესის მდგრადობას და ხელს უწყობდა დაუწვავი ნახშირბადის შემცველობის ზრდას წიდაში და კვამლსადენებში დალექილსა და განატაც ნაცარში. გარდა ამისა, მუშაობის ზოგერთი რეჟიმის დროს ჩირალდანი ინტენსიურ დარტყმას ახდენდა საცეცხლის უკანა კედელზე. მეორე მხრივ, შესამჩნევი იყო, რომ ჰაერის გაძლიერებული მიწოდება საცეცხლე კამერაში ზედა საქმენებიდან კარგ გავლენას ახდენდა წვის პროცესის მიმდინარეობაზე.

ვინაიდან ძსენებულ დაკვირვებათა მონაცემები ეწინააღმდეგებოდა რიგი ავტორების მიერ გამოთქმულ აზრს იმის შესახებ, თითქოს ქვედა საქმენებიდან

ჰაერის მიწოდება დადებით შედეგებს იწვევს [2,7]. განხილული შახტიანწის-ქვილებიანი საცეცხლის აეროდინამიკა ჩვენ შევისწავლეთ ნახ. 2-ზე წარმოდგენილი ჰიდრაულიკური მოდელის [8] დახმარებით.

მოდელში ტუმბოთი მიწოდებული წყალი კოლექტორში ხვდებოდა და აქედან მიედინებოდა სამ მილსადენში, რომლებიც აერთებდნენ კოლექტორს შახტასთან და ზედა და ქვედა საქშენებთან. წყლის ხარჯის რეგულირება ყოველ მილსადენში ნორციელდებოდა ცალკე ვენტისის საშუალებით; გარდა ამისა, კოლექტორის სადაწნეო მილყლებზე დადგმული ვოლტმანის სისტემის წყალმზომები იძლეოდნენ ხსენებულ მილსადენებში წყლის ხარჯის ერთდროულად გაზომვის შესაძლებლობას.

რეალური საცეცხლის შემთხვევაში კრიტერიუმ Re-ს მნიშვნელობანი შეადგენდნენ ამბრაზურიდან გამომდინარე ნაკადისათვის $3 \cdot 10^5$ -ს და საქშენებიდან



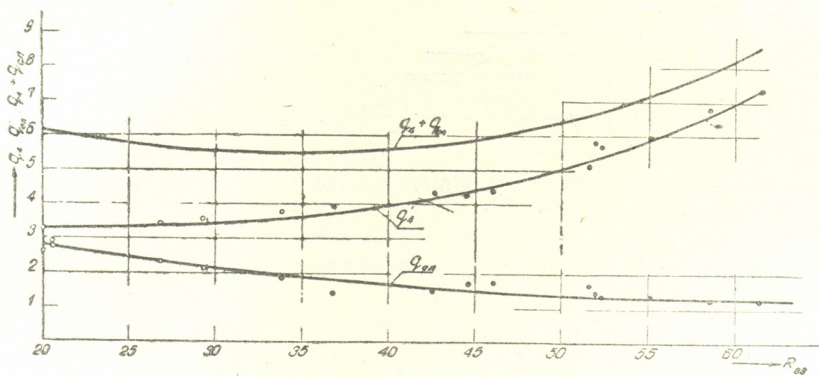
გამომდინარე ნაკადისათვის $1 \cdot 10^5$ -ს. მოდელში წყლის მიწოდების იმ ინტენსივობათა მიღწევა, რომლებიც Re-ს ხსენებულ მნიშვნელობებს შეესაბამება, პრაქტიკულად მეტად ძნელი აღმოჩნდა. ამასთან დაკავშირებით განხორციელდა საცეცხლის აეროდინამიკის მიახლოებითი დამოძღვება [8]. ვინაიდან ამ უკანასკნელ შემთხვევაში რიცხვი Re-ს მნიშვნელობანი მოდელში შემაჯავალი ნაკადებისათვის $1 \cdot 10^4$ -ს ჰარბობდნენ, ასეთი ნაკადების ავტომოდელურობასთან დაკავშირებით შეგველო გვევარაუდა, რომ სითხის მოძრაობის მოდელში განხორციელებული სურათი საკმაოდ უახლოვდებოდა რეალურ საცეცხლში განხორციელებულ შესაბამის სურათს.

ნახ. 2. შახტიანწისქვილიანი საცეცხლის ჰიდრაულიკური მოდელი (მოდელის გეომეტრიული ნასშტაბია 1:25)



ჰიდროდინამიკურ მოვლენებზე მხედველობით დაკვირვებათა საწარმოებლად მოდელში მიწოდებულ წყალში შერეული იყო წვრილად დაჭრილი რეზინის ნაჭრები. წყალში ამ რეზინების ნაჭრების არსებობამ შესაძლებლობა მოგვცა გადაგველო საცეცხლეში სითხის მოძრაობის სურათები საცეცხლე კამერაში მეორეული ჰაერის მიწოდების სხვადასხვა რეჟიმისათვის. ამ ფოტოსურათებს ის უპირატესობა გააჩნია, რომ ისინი, წარმოადგენენ რა შტრიხებიანი სურათების ანალოგებს, თავისუფალნი არიან ამ უკანასკნელთათვის დამახასიათებელი სუბიექტურობისაგან [8].

მოდელზე ჩატარებულმა დაკვირვებებმა ნათელყო, რომ ჰაერის მიწოდება ქვედა საქმენებიდან ხელს უწყობს საცეცხლეში უმოძრაო ზონების წარმოქმნას, ხოლო ჰაერის მიწოდების დროს ზედა საქმენებიდან მთელ კამერაში ვრცელდება ინტენსიური მოძრაობა. ამრიგად, მოდელზე ჩატარებულმა ცდებმა დაასაბუთა საცეცხლეში წვის პროცესის მიმდინარეობაზე მოხდენილ დაკვირვებათა საფუძველზე გამოთქმული მოსაზრების სამართლიანობა ქვედა საქმენებიდან ჰაერის მიწოდების არამიზანშეწონილობის შესახებ. ნათქვამთან დაკავშირებით საბალანსო გამოცდები, რომელთა შედეგებიც ქვემოთ არის მოცემული, მთლიანად დახურული ქვედა საქმენებით მუშაობის პირობებში ჩატარდა.



ნახ. 3. წვის მექანიკური არასრულობით გამოწვეული დანაკარგის დამოკიდებულება დაფქვის სიმსხვილისაგან $q_4 = f(R_{88})$: წერტილები—შახტიანწისქვილებიანი ქვაბაგრევატი; მკირე წრეები—დოლისებურწისქვილებიანი ქვაბაგრევატი

სულ ამ ქვაბაგრევატზე 10 გამოცდა ჩატარდა. უნდა აღინიშნოს, რომ ხსენებული გამოცდების დროს საცეცხლე კამერის ხილული თბური დაძაბულობა მეტად ვიწრო ფარგლებში იცვლებოდა $115 \cdot 10^3 \frac{\text{კკალ}}{\text{მ}^3 \text{ საათ.}}$ - დან

$135 \cdot 10 \frac{\text{კკალ}}{\text{მ}^3 \text{ საათ.}}$ -მდე.

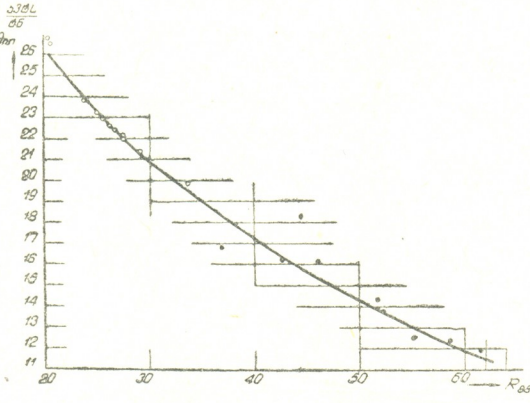
ვინაიდან ჯავშნის მდგომარეობა ბირთვულ დატვირთვათა სიდიდეა, წისქვილების კონსტრუქციული თავისებურებანი და სხვა ფაქტორები ჩვეულებ-

რივად არ იძლევიან სათბობის დაფქვისათვის საჭირო ელექტროენერგიის ხვედრითი ხარჯის ზუსტად განსაზღვრის შესაძლებლობას. ჩვენ ვივარაუდებთ, რომ ელექტროენერგიის ხვედრითი ხარჯი ტყიბულის ნახშირის შემთხვევაში კემეროვის ნახშირისათვის დადგენილ ხვედრით ხარჯს უდრის [9]; ცნობილია, რომ კემეროვის ნახშირისათვის $R_{\text{ჩო}} = 1,38$, ე. ი. პრაქტიკულად არ განსხვავდება საფქველუნარიანობის კოეფიციენტის იმ მნიშვნელობისაგან, რომელიც ტყიბულის ნახშირს შეესაბამება. ცნობილია ისიც, რომ ზემოხსენებული მონაცემები კემეროვის ნახშირის საფქველუნარიანობის კოეფიციენტის შესახებ საუკეთესო ექსპერიმენტულ მონაცემთა რიცხვს ეკუთვნის საბჭოთა კავშირში დამზადებულ წისკვილებში სხვადასხვა ნახშირის დაფქვის საკითხის შესწავლის დარგში. რაც შეეხება ელექტროენერგიის ხვედრით ხარჯს შახტიანი წის-

კვილების შემთხვევაში, მის განსაზღვრას ვახდენდით ყოველი ცდის პროცესში დამოუკიდებლად, ვატმეტრებისა და ელექტრომრიცხველების საშუალებით.

განხილულ ქვაბდანადგართა გამოცდების ჩატარების შედეგად მიღებული ექსპერიმენტული მონაცემები წარმოდგენილია მე-3, მე-4, მე-5 ნახაზებზე ერთიანი მრუდების სახით.

როგორც მე-3 ნახაზიდან ჩანს, შეგვიძლია ჩავთვალოთ, რომ წვის მექანიკური არასრულობით გამოწვეული დანაკარგების ზრდა,



ნახ. 4. სათბობის დაფქვის პროცესში ელექტროენერგიის ხვედრითი ხარჯის დამოკიდებულება დაფქვის სიმსხვილისაგან $M_{III} = f(R_{88})$: წერტილები—შახტიანწისკვილებიანი ქვაბაგრევატი; მცირე წრეები—დოლისებურწისკვილებიანი ქვაბაგრევატი

რომელიც ნაფქვის სიმსხვილის ზრდას ახლავს თან, № 88 საცერზე ნარჩენის ფრიად დიდ ფარგლებში ცვალებადობის დროს, როგორც დოლისებური, ისე შახტიანწისკვილებიანი ქვაბდანადგარის შემთხვევაში ერთსა და იმავე კანონზომიერებას ემორჩილება.

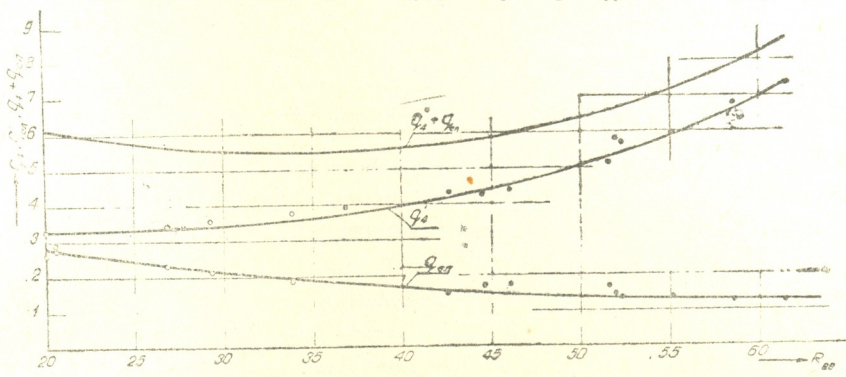
დაახლოებით იგივე შეიძლება ითქვას ელექტროენერგიის ხარჯის შესახებ ნაფქვის დამზადების პროცესში (იხ. ნახ. 4).

ნახ. 5-ზე ორივე ქვაბაგრევატისათვის მოცემულია დამოკიდებულებანი $q'_4 = f(R_{88})$, $q_{ex} = f(R_{88})$ და $q'_4 + q_{ex} = f(R_{88})$. გაანგარიშების ჩატარების დროს მიღებულია, რომ $q'_4 = q_4 \frac{A_T}{100} \frac{\text{მან.}}{\text{ტონა}}$ და $q_{ex} = \frac{860 \cdot M_{III}}{\eta_{CT} Q_H} \frac{A_T}{10^3} \frac{\text{მან.}}{\text{ტონა}}$, სა-

დაც $A_T = 100 \frac{\text{მან.}}{\text{ტონა}}$ —არის ერთი ტონა სათბობის ღირებულება, ხოლო $\eta_{CT} = 0,22$ ელექტროსადგურის მარგი ქმედების კოეფიციენტია.



როგორც ნახ. 5-დან ჩანს, დამოკიდებულება $q_4' + q_{21} = f(R_{88})$ ორივე ქვაბაგრეგატიისათვის შეიძლება წარმოდგენილ იქნეს ერთიანი მრუდის საშუალებით, რომელსაც მინიმუმი აქვს მაშინ, როდესაც $R_{88} = 35 - 40\%$. აქედან გამომდინარეობს, რომ დოლისებურწისქვილებიან საცეცხლეებში ტყიბულის ნახშირის დაწვისას მიზანშეწონილია დაეუშვათ № 88 საცერზე ნარჩენის ზრდა ხსენებულ მნიშვნელობამდე; მეორე მხრივ, უნდა დაეასკენათ, რომ იმავე სათბობის დაწვისას შახტიანწისქვილიან საცეცხლეში მიზანშეწონილია შევამციროთ ამ ტიპის საცეცხლეებისათვის დამახასიათებელი სიმსხვილე და მოვახდინოთ ორიენტაცია ნარჩენებზე, რომელთათვისაც $R_{88} = 40 - 45\%$ -ს. ჩამოყა-



ნახ. 5 ნაფქვის ხელსაყრელი სიმსხვილის განსაზღვრა $q_4' + q_{21} = f(R_{88})$:
წერტილები—შახტიანწისქვილებიანი ქვაბაგრეგატი;
მცირე წრეები—დოლისებურწისქვილებიანი ქვაბაგრეგატი

ლიბებული დასკვნა დოლისებურწისქვილებიან საცეცხლეებში სათბობის დაფქვის სიმსხვილის გადიდების საჭიროების შესახებ კარგად უთანხმდება ამ საკითხისადმი მიძღვნილი რიგი სპეციალური ნაშრომების მონაცემებს [10].

ამ სამუშაოს შესრულებისას ჩვენ არ ვიხილავდით ისეთ ფაქტორებს, როგორებიცაა ლითონის ხარჯი წისქვილების ექსპლოატაციის პროცესში, წისქვილების საიმედოება ექსპლოატაციაში, მათი ლითონტევადობა, პირველადი კაპიტალური დაბანდებები და სხვა, რომლებიც არსებით როლს ასრულებენ სათბობის დაფქვის სისტემის შერჩევის საკითხის გადაწყვეტაში. მიუხედავად ამისა, ჩვენი აზრით, ზემოთ მოყვანილი შედეგები ინტერესს იმსახურებენ ტყიბულის ნახშირით მომუშავე დოლისებურ- და შახტიანწისქვილებიანი ქვაბ-დანადგარების მუშაობის თავისებურებათა გათვალისწინების თვალსაზრისით.

საქართველოს სსრ მეცნიერებათა აკადემია
ა. დიდებულიძის სახელობის
ენერგეტიკის ინსტიტუტი
თბილისი

(რედაქციას მოუვიდა 18.6.1954)

დამონაწიბიშული ლიტერატურა

1. В. П. Ромадин. Пылеприготовление. Госэнергоиздат, 1953.
2. Д. И. Зильберман. Эксплуатация шахтно-мельничных топок. Госэнергоиздат, 1952.
3. Е. А. Ницкевич. Освоение шахтно-мельничных топок на заводах черной металлургии. Metallurgizdat, 1947.
4. Инструкция по проведению эксплуатационных испытаний котельных агрегатов МЭС СССР, Госэнергоиздат, 1951.
5. Нормы расчета котельного агрегата. Всесоюзный теплотехнический институт им. Ф. Э. Дзержинского. Энергоиздат, 1952.
6. Методика испытания котельных установок. ОРГРЭС. Госэнергоиздат, 1939.
7. П. Г. Кешишьян и М. М. Шильдкрет. Размол и сжигание различных углей СССР в шахтно-мельничной топке. Журнал «Известия ВТИ», № 5, 1941.
8. М. В. Кирличев и М. А. Михеев. Моделирование тепловых устройств. Издательство АН СССР, 1936.
9. А. Н. Лебедев. Пылеприготовление на электростанциях. Госэнергоиздат, 1949.
10. Сборник «Приготовление и сжигание пыли угрубленного помола». Госэнергоиздат, 1952.

ბ. ჯაფარიძე

დასავლეთ საქართველოს სამხრეთ და აღმოსავლეთ ჩაის რაიონების ტენით უზრუნველყოფის საკითხისათვის

(წარმოდგინა აკადემიის ნამდვილმა წევრმა ვ. გულისაშვილმა 22.10.1954)

თავისი დიდი ეკონომიური მნიშვნელობის გამო ჩვენში ჩაის კულტურამ განსაკუთრებული ყურადღება დაიმსახურა. იგი სუბტროპიკულ კულტურათა შორის ერთ-ერთ წამყვან კულტურად ითვლება. საქართველოს სსრ სახალხო მეურნეობის განვითარების გეგმა ამ კულტურის ფართობის 70.000 ჰექტარამდე აყვანას ითვალისწინებს, ამასთანავე ძირითად ამოცანად დასმულია ჩაის მოსავლიანობის შეუჩერებელი ზრდა.

ჩაის მოსავლის ზრდა დიდად არის დამოკიდებული აგროტექნიკურ ღონისძიებათა დროულად და ხარისხოვნად ჩატარებაზე. მოსავლის ზრდის საქმეში აუცილებლად გათვალისწინებულ უნდა იქნეს მეტეოროლოგიური პირობების გავლენაც.

სახალხო მეურნეობის სხვა დარგებიდან სოფლის მეურნეობა ყველაზე მეტადაა დამოკიდებული ამინდის პირობებზე. ამჟამად ჩვენი ქვეყნის სოციალისტური სოფლის მეურნეობა, ტექნიკის განვითარებისა და მაღალ აგროტექნიკურ ღონისძიებათა მეოხებით, ამინდის ბევრი მანვე მოვლენისაგან თანდათან თავისუფლდება, მაგრამ ჯერ კიდევ დიდი გავლენა აქვს მოსავლიანობაზე მეტეოროლოგიურ პირობებს, რომლებიც ძირითადად არეგულირებენ ღონისძიებათა ხარისხსა და მოცულობას, წარმართულს მოსავლიანობის გადიდებისაკენ, მაგრამ, რასაკვირველია, თავისთავად არ განსაზღვრავენ მოსავლიანობის მოსალოდნელ სიდიდეს.

მაღალი აგროტექნიკისა და მეტეოროლოგიურ ფაქტორთა შეხამებული გამოყენება მოსავლიანობის ზრდის აუცილებელი პირობაა.

ჩაი ჩვენში შემოტანილია ისეთი ქვეყნებიდან, რომელთა ნიადაგობრივი და კლიმატური პირობები ნაწილობრივ განსხვავდება ადგილობრივისაგან. კლიმატურ ფაქტორთაგან განსაკუთრებული განსხვავება ემჩნევა სავეგეტაციო პერიოდში ნალექთა და ჰაერის ტენის განაწილებას.

ჩაის ბუჩქის მოსავლიანობის სიუხვე დიდად არის დამოკიდებული ვეგეტაციის შეუფერხებელ მსვლელობაზე, უკანასკნელი კი ჩვენში, განსაკუთრებით ჩაის აღმოსავლეთ რაიონებში, სავსებით დამოკიდებულია მცენარის წყლით უზრუნველყოფის პირობების რეგულაციაზე. სხვა კულტურებისაგან განსხვავ-

ბით ჩაი წყლით თანაბარ უზრუნველყოფას საჭიროებს ვეგეტაციის მთელ პერიოდში.

მცენარის წყლით უზრუნველყოფის პირობებს ბუნებაში ძირითადად ნალექები, ჰაერის ტენიანობა, ტემპერატურა და ქარები განსაზღვრავს. აღნიშნულ ფაქტორთა შესწავლისა და ამ ფაქტორთა ურთიერთკავშირის საშუალებით შევეცადეთ დაგვედგინა ტენით უზრუნველყოფის პირობები, გვალვიანი პერიოდების საშუალო თარიღები და გამოგვეყო ტენით უზრუნველყოფის ზონები.

სხვა ფაქტორთა შორის, რომლებიც აუცილებელია მცენარის ზრდა-განვითარებისათვის, წყალს განსაკუთრებული ადგილი უკავია. უნდა აღინიშნოს, რომ, მიუხედავად ამ ფაქტორის ასეთი დიდი მნიშვნელობისა, ლიტერატურაში ჯერ კიდევ არ მოგვეპოვება ამომწურავი მონაცემები სუბტროპიკული მცენარეების მიერ წყლის მოთხოვნის შესახებ, სუბტროპიკულ მცენარეებს, განსაკუთრებით ჩაის ბუჩქს, ტენის მოყვარულ მცენარეთა ჯგუფს აკუთვნებენ. მართლაც, თუ გვიგრაფიულა თვალსაზრისით გადავხედავთ ჩაის კულტურის გავრცელებას, დავინახავთ, რომ ჩაი როგორც ჩვენში, ისე საზღვარგარეთ ისეთ რაიონებშია გავრცელებული, რომლებიც უხვი ნალექებით ხასიათდებიან. უნდა აღინიშნოს, რომ ნალექების საერთო წლიური ჯამი არ წყვეტს მცენარეების ტენით უზრუნველყოფის საკითხს. მცენარისათვის გადამწყვეტი მნიშვნელობა აქვს ნალექების განაწილებას სეზონებისა და სავეგეტაციო ქვეპერიოდების მიხედვით. ძალიან ხშირად, მიუხედავად წლიური ნალექების დიდი რაოდენობისა, მათი არახელსაყრელი განაწილების გამო მცენარეები არ არის უზრუნველყოფილი საჭირო რაოდენობის ტენით. სუბტროპიკულ რაიონებში, მიუხედავად უხვი ნალექებისა, ზოგჯერ სწორედ ასეთ მდგომარეობას აქვს ადგილი.

ნალექები დიდი რაოდენობით მოდის დას. საქართველოში და განსაკუთრებით მის სამხრეთ-დასავლეთ ნაწილში. ნალექების მაქსიმალური რაოდენობა მოდის შემოდგომა-ზამთრის თვეებზე, შემდეგ ნალექები თანდათან კლებულობს და მინიმუმს აღწევს მაისში. მაისი მთელ განსახილველ ზონაში მინიმალური ნალექებით ხასიათდება, ამ დროს კი მცენარეებს, განსაკუთრებით ჩაის ბუჩქს, ტენის მომეტებული რაოდენობა ესაჭიროება. ამრიგად, ჩვენში ვეგეტაციის დასაწყისი ნალექების სიმცირით ხასიათდება.

ნალექების ჯამი, ცალკე აღებული თუგინდ მცენარეთა განვითარების გარკვეულ პერიოდში, ვერ მოგვცემს სწორ წარმოდგენას მცენარეების ტენით უზრუნველყოფის შესახებ. სხვადასხვა კლიმატურ ზონაში ნალექების ერთი და იგივე რაოდენობა დატენიანების სხვადასხვა ეფექტს იძლევა. გარდა ამისა, მცენარეები განვითარების სხვადასხვა პერიოდში, მეტეოროლოგიური ელემენტების სხვადასხვაგვარი შეფარდების დროს, ტენის არათანაბარ რაოდენობას ხარჯავენ; მეორე მხრივ, ნალექების წლიური ჯამის, როგორც ტერიტორიის დატენიანების ინდექსის, მნიშვნელობას ამცირებს ადგილმდებ-



როგობის ოროგრაფია, განსაკუთრებით მთავორიანი რელიეფი, სადაც დიდია მცენარეებისათვის უსარგებლო წყლის ხარჯვა ჩანადინების სახით.

ფ. დ ა ვ ი თ ა ი ა თავის შრომაში [2] აღნიშნავს, რომ, ტრანსპირაციის გარდა, რაც აუცილებელია ფიზიკური და ფიზიოლოგიური პროცესების მიმდინარეობისათვის, ტენის იმ რაოდენობას, რომელიც სხვადასხვა გზით იხარჯება, არავითარი მნიშვნელობა არა აქვს მცენარის განვითარებისათვის. აქედან დასკვნა, რომ მცენარის ორგანული მასის შექმნა ხდება ტენის იმ ნაშთის ხარჯზე, რომელიც რჩება მოსული ნალექების საერთო რაოდენობიდან სხვადასხვა უსარგებლო ხარჯის გამოკლების შემდეგ. ამავე დროს, რასაკვირველია, მხედველობაში უნდა იქნეს მიღებული სხვა პირდაპირი ფაქტორების (სინათლე, კვება) ერთობლივი ზემოქმედებაც. ამრიგად, მხოლოდ ნალექთა ჯამები ისეთი სიდიდეებია, რომლებიც ხშირად არაფრის დამახასიათებელი არ არის.

სხვადასხვა კლიმატური ზონის დატენიანების დახასიათებისათვის მიღებულია სასარგებლო ტენი ტენის ბალანსის სახით გამოიხატოს.

ტენის ბალანსის იდეას შედარებით დიდი ხნის ისტორია აქვს, მაგრამ ვინაიდან არ არის ზოგიერთი ფაქტობრივი მონაცემი აორთქლების, ჩამონადენებისა და წყლის გაჟონვის, აგრეთვე ნიადაგის ფიზიკური თვისებების შესახებ, რომლებიც განსაზღვრავენ შეწოვილი ტენის რაოდენობას, ბალანსის იდეას ჯერ კიდევ მხოლოდ მიახლოებითი მნიშვნელობა აქვს.

თითქმის ყველა მკვლევარი, რომლებიც ამ საკითხზე მუშაობდნენ, ტენის ხარჯის ძირითად წყაროდ იღებენ აორთქლებას წყლის ზედაპირიდან, რაც მცენარეებისა და ნიადაგის ზედაპირიდან აორთქლების თანაბრად მიაჩნიათ.

აორთქლების მიახლოებითი აღრიცხვისათვის რიგი მკვლევრების მიერ მოცემულია სხვადასხვა შინაარსის ემპირიული ფორმულები.

ვინაიდან აორთქლება ტემპერატურული მაჩვენებლებით გამოითვლება, ნალექთა შემოსავალსა და გასავალს შორის შეფარდებამ ჰიდროთერმული კოეფიციენტის სახელწოდება მიიღო. ეს უკანასკნელი განყენებულ რიცხვს წარმოადგენს.

ტენის ბალანსის აღრიცხვის გამოანგარიშებისათვის ყველაზე უფრო მიღებულია პროფ. გ. სელიანიანოვის, ნ. ივანოვისა და დოც. კ. კელენჯერიძის მეთოდები.

პროფ. გ. სელიანიანოვის [7,8] ჰიდროთერმულ კოეფიციენტს, რომელიც გამოხატავს ტენის პირობით ბალანსს, ანუ ადგილმდებარეობის უზრუნველყოფას ნალექებით, შემდეგი სახე აქვს:

$$K = \frac{eP}{et:10}$$

დოც. კ. კელენჯერიძის [10] სელიანიანოვის ფორმულაში შეაქვს შესწორება ქარზე და შემდეგ სახეს ლებუოებს:

$$K_2 = \frac{eP}{\frac{et}{8} \cdot \left(1 + \frac{W}{2}\right)}$$

ეს ფორმულა კარგად ახასიათებს ადგილის დატენიანების ხარისხს, უფრო უახლოვდება ბუნებრივ პირობებს, განსაკუთრებით კი დასავლეთ საქართველოს პირობებში.

ტენიანობის უზრუნველყოფის გამომანგარიშებისათვის მიღებულია აგრეთვე ნ. ივანოვის მეთოდი [4], სადაც დატენიანების კოეფიციენტი K გამოიანგარიშება ნალექების შეფარდებით აორთქლებასთან, შემდეგი ფორმულით:

$$K = R/E.$$

ნ. ივანოვი დატენიანების კოეფიციენტისათვის იძლევა შემდეგ განმარტებას: კოეფიციენტი გვიჩვენებს, თუ რამდენად ანაზღაურებს მოსულ ნალექთა რაოდენობა შესაძლებელ აორთქლებას წყლის ზედაპირიდან მოცემულ კლიმატურ პირობებში.

კლიმატური გაანგარიშების დროს დიდი მნიშვნელობა არა აქვს მოსავლიანობის დამოკიდებულების დადგენას ნალექების რაოდენობასთან, რა ზომისაც უნდა იყოს ამ დამოკიდებულების სიდიდე, ვინაიდან ნალექების დადებითი და უარყოფითი მოქმედება აორთქლებით, ანუ, სხვა სიტყვებით, „ხარჯით“ რეგულირდება.

სოფლის მეურნეობის თვალსაზრისით ნალექების ერთი და იგივე რაოდენობა სხვადასხვაგვარია სხვადასხვა კლიმატურ (თერმულ) ზონაში, ტენის ბალანსი კი, პირუკუ, შედარებით სტაბილურია, რის გამოც ტენის ბალანსის მონაცემები შესაძლებელია უფრო ფართოდ იქნეს გამოყენებული.

ამრიგად, ადგილმდებარეობის ტენით უზრუნველყოფისა და გვალვიანი პერიოდის დაწყება-დამთავრების საშუალო პერიოდების დასადგენად ყველაზე უფრო მისაღებია ჰიდროთერმული კოეფიციენტების გამოყენება.

დასავლეთ საქართველოს პირობებში დატენიანების დასახასიათებლად გამოყენებულ იქნა კ. კელენჯერიძის მეთოდით გამოანგარიშებული ჰიდროთერმული კოეფიციენტი.

ჰიდროთერმული კოეფიციენტების სიდიდე, ერთის ტოლი, ზღვრული კოეფიციენტი, 1,0-ზე ნაკლები კოეფიციენტი ტენის დანაკლისის მაჩვენებელია, 1,0-ის ზევით კი — ტენით უზრუნველყოფისა.

ტენის რესურსების უზრუნველყოფის შეფასებისას და სათანადო აგროლონისძიებათა ჩატარებისათვის აუცილებელ პირობას წარმოადგენს გვალვიანი პერიოდების დადგენა. პრაქტიკაში დღემდე არ არსებობს გვალვის ხანგრძლიობის გარკვევის მტკიცედ დასაბუთებული კრიტერიუმი. სხვადასხვა ავტორი სხვადასხვაგვარად უდგება ამ საკითხს. ზოგიერთს გვალვის პერიოდად მიაჩნია სავსებით უნალექო პერიოდი, ზოგი მკვლევარი კი მხედველობაში იღებს სუსტ წვიმებს.



პ. ბროუნოვი [1] გვალვას ახასიათებს როგორც ანორმალურ მშრალ პერიოდს, რომელიც გამოწვეულია ანორმალური მაღალი ატმოსფერული წნევით. იგი აღნიშნავს, რომ გვალვა არის მეტეოროლოგიური მოვლენა, რომელიც არსებობს მცენარის ვარეშე. პ. ბროუნოვი არჩევს გვალვას ძლიერსა და სუსტს, გრძელვადიანსა და მოკლევადიანს.

ა. კამენსკი თავის შრომაში [5] გვალვას ახასიათებს ცალკეული პერიოდისათვის გარკვეული ანიონის ტიპით. გვალვას ა. კამენსკი განმარტავს როგორც უნაღებო პერიოდს, როდესაც მაქსიმალური დღეღამური ტემპერატურა თანდათან იზრდება, შეფარდებითი ტენიანობა 13 საათზე საგრძნობლად ეცემა (40% -ს არ აღემატება) და დაცემას განაგრძობს.

დადგენილია, რომ ჩაი, ციტრუსები, ტუნგო განიცდის ტენის დანაკლისს, როდესაც სავეგეტაციო პერიოდის განმავლობაში ტენის ბალანსი საშუალოდ $1,25-1,5$ ქვემოთ ეცემა.

მასალების ანალიზის საფუძველზე დასავლეთ საქართველოს აღმოსავლეთისა და სამხრეთის ჩაის რაიონები ტენის უზრუნველყოფის მიხედვით სამ ქვეზონად იყოფა:

პირველი ქვეზონა. სანაპირო ზოლი. აღნიშნული ქვეზონა დახასიათებულია შემდეგი სადგურებით: ბათუმი, ჩაქვი, მწვანე კონცხი, ზუგდიდი. ამ ქვეზონაში კულტურები ტენის დანაკლისს განიცდიან ძლიერ ხანმოკლე პერიოდის განმავლობაში, ისიც მხოლოდ მაისში, როდესაც დატენიანების კოეფიციენტი $0,7-1,0$ უდრის. აღნიშნული ქვეზონა ძირითადად უზრუნველყოფილია ტენით, თუ არ მივიღებთ მხედველობაში ზოგიერთ გამონაკლის წელს, როდესაც მაისის გვალვა ძალზე მკაცრ ხასიათს ღებულობს და დიდხანს გრძელდება; დანარჩენ თვეებში კი სავეგეტაციო პერიოდში ჩაი სავსებით უზრუნველყოფილია ტენით. აქ გვალვიანი პერიოდის დაწყების საშუალო თარიღი მაისის პირველ დეკადაზე მოდის და ივნისის პირველ დეკადამდე გრძელდება. გვალვიანი პერიოდი შესაძლებელია 30 დღემდე გაგრძელდეს. ყველაზე საპასუხისმგებლო პერიოდი მაისია.

მეორე ქვეზონა. ის დახასიათებულია სადგურებით: ქობულეთი, მახარაძე, შრომა, ლანჩხუთი, სუფსა, ცხაკაია. აქ გვალვიანი პერიოდი უფრო ხანგრძლივია, დატენიანების კოეფიციენტი $0,5-0,8$ ფარგლებში მერყეობს. მართალია, სხვადასხვა კულტურა აქ მოურწყავად მოდის, მაგრამ ზოგიერთ წელს გვალვის მიერ გამოწვეული ზარალი მაინც დიდია. განსაკუთრებით იჩაგრებიან ტენის დანაკლისით ციტრუსები და ჩაი. გვალვა აქ ჩაის კრეფას 15-დან 20 დღემდე აჩერებს.

აღნიშნულ ქვეზონაში მორწყვა არაა სავალდებულო, მაგრამ ჩაის რწყვა ძლიერ სასურველია მოსავლიანობის გადიდების თვალსაზრისით.

ამ ქვეზონაში. შედარებით პირველთან, გვალვიანი პერიოდის დადგომის საშუალო თარიღი აპრილის მეორე დეკადის დამლევზე მოდის, გვალვა ივნისის პირველ დეკადამდე გრძელდება. გვალვიანი პერიოდი შესაძლებელია 50-80 დღემდე გაგრძელდეს;

მესამე ქვეზონა. ეს ქვეზონა დახასიათებულია შემდეგი სადგურებით: სამტრედია, წულუკიძე, წყალტუბო, ქუთაისი, ფოთი, ხეთა. აღნიშნულ ქვეზონას ახასიათებს აშკარად გამოხატული გვალვიანი პერიოდები. ამ ქვეზონაში ჩაის ბუჩქი, ციტრუსოვანი კულტურები და ტუნგო თითქმის მთელსავეგეტაციო პერიოდში განიცდიან ტენის დანაკლისს. აქ ისეთი კულტურები, როგორცაა ციტრუსები, ჩაი, ტუნგო და, საერთოდ, ტენის მოყვარული მცენარეები, აუცილებლად მოითხოვენ სისტემატურ რწყვას. მორწყვა აქ, სხვა აგროტექნიკურ საშუალებებთან ერთად, ერთ-ერთ ძირითად ღონისძიებად ითვლება. გვალვიანი პერიოდის დადგომის საშუალო თარიღი აპრილის პირველ დეკადაზე მოდის, გვალვა სექტემბრამდე გრძელდება. რასაკვირველია, ეს ისე კი არ უნდა ვავიგოთ, თითქოს 120 დღის განმავლობაში ნალექები არ მოდიოდეს და განუწყვეტლივ მშრალი პერიოდი დგებოდეს. აქ ხშირია უნალექო პერიოდები, რაც განაპირობებს ხანგრძლივ გვალვებს.

ამგვარად, ტენით უზრუნველყოფის მიხედვით მთელი განსახილველი ზონა შეიძლება სამ ქვეზონად დავყოთ: პირველი—სანაპირო ზონა; მეორე—სანაპირო ზონიდან იმერეთ-სამეგრელოს საზღვრამდე და მესამე—ქვემო და შუა იმერეთის მთელი ვაკე და ბორცვიანი ნაწილი.

პირველი ქვეზონა ტენით სავსებით უზრუნველყოფილია. მეორე ქვეზონა ნაწილობრივ განიცდის ტენის დანაკლისს, მაგრამ ტენის შენარჩუნებისაკენ მიმართული მაღალ აგროტექნიკურ ღონისძიებათა გამოყენების შემთხვევაში ისიც შეიძლება ჩაითვალოს ტენით უზრუნველყოფილად. მორწყვა აქ არ ჩაითვლება ძირითად ღონისძიებად, მაგრამ სასურველია. მესამე ქვეზონა აშკარად გვალვიანი ზონაა. აქ რიგ აგროტექნიკურ ღონისძიებებთან ერთად გარკვეულ პერიოდში აუცილებელია კულტურების სისტემატური რწყვა, რაც სასურველია ჩატარებულ იქნეს ხელოვნური წვიმის სახით, ვინაიდან ეს გამოიწვევს ჰაერის ტენით გაჯერებასაც, რასაც განსაკუთრებული მნიშვნელობა აქვს ფიონების მოქმედების დროს.

საქართველოს სსრ მეცნიერებათა აკადემია
 მცენარეთა დაცვის ინსტიტუტი
 თბილისი

(რედაქციას მოუვიდა 23.10.1954)

დამოუწყობელი ლიტერატურა

1. П. Н. Броунов, О борьбе с засухливостью нашего юговостока с точки зрения климатической и метеорологической. Изд. Госуд. ин-та опытной агрономии, том III, № 5-6, 1925.
2. ф. Ф. Давитая, Климатические зоны винограда в СССР. Пищепромиздат, Москва, 1948.
3. М. К. Дараселия, Материалы по водному режиму субтропических подзолистых почв. Пищепромиздат, Москва, 1947.
4. Н. Н. Иванов, Записки Всесоюзного географического общества. Новая серия, т. I. Академия Наук СССР, 1948.



5. А. А. Каменский. Типы засухи и равнинных суховоев в СССР. Труды Глав. геофизической обсерватории, т. 1, № 2, 1934.
6. Г. К. Кварацхелия. Чайный куст и сопутствующие ему культуры. Сельхозгиз, Москва, 1934.
7. Г. Т. Селявинов. Методика с.-х. оценки климата субтропиков. Материалы по агроклимат. районир. субтропиков СССР. Ленинград, 1936.
8. Г. Т. Селявинов. Агроклиматические зоны и районы субтропиков СССР. Материалы по агроклиматическому районир. субтропиков СССР. Ленинград, 1936.
9. Г. Т. Селявинов. Агроклиматические основы районир. влажных советских субтропиков. Советские субтропики, № 1, 1934.
10. კ. კვდენჯერიძე. ქვემო და შუა იმერეთის დაბლობი ნაწილის აგროკლიმატური დახასიათება. აჯაფეთის რემინდერობის საცდელი სადგურის შრომები, თბილისი, 1947.

მასპერმენტული მემცინა

ა. კობახიძე

ჰიპერტონიული დაავადების დროს სიმპათეტიკომის გამოყენების მიზანშეუწონლობის შესახებ მასპერმენტული კვლევის ასპექტში

(წარმოდგინა აკადემიის ნამდვილმა წევრმა მ. წინამძღვრიშვილმა 19.7.1954)

უკანასკნელი 10 — 15 წლის განმავლობაში საზღვარგარეთ ფართოდ იყენებენ ქირურგიულ ჩარევას ჰიპერტონიული დაავადების დროს.

რ. სმისვიკმა [1] ჰიპერტონიული დაავადებით შეპყრობილ 179 ავადმყოფზე სუბლიაფრაგმული სიმპატექტომიის შემდეგ უმრავლეს შემთხვევაში შეამჩნია სისტოლური წნევის დაქვეითება 30 mm Hg, ხოლო დიასტოლურისა 20 mm Hg. შემთხვევათა ნაწილში (9%) ადგილი ჰქონდა სისხლის წნევის უმნიშვნელო მომატებას.

მ. გრეგორმა [2] ჩაატარა სიმპატექტომია ხანგრძლივი და მყარი ჰიპერტონიის მქონე 140 ავადმყოფზე სმისვიკის მეთოდით (VIII—XII და წელის პირველი კვანძების ამოკვეთა. ზოგიერთ შემთხვევაში კეთდებოდა განგლიონექტომია გულმკერდის I-დან) წელის III კვანძამდე. ავტორმა აღნიშნა დიასტოლური წნევის დაქვეითება 30 mm Hg-ით და უფრო მეტიც.

ამ ავტორთა დაკვირვება ეხება ოპერაციული ჩარევის მხოლოდ მწვავე პერიოდს.

მოგვიანებითი შედეგები, რომლის საფუძველზედაც შეიძლება გვესჯელა ასეთი ჩარევის რეალურ ეფექტურობაზე ჰიპერტონიული დაავადების დროს, დღემდე თითქმის არ არის.

ს. გუბერმა, ი. მანიინგმა, ვ. პაინემ და სხვებმა [3], ჩაატარეს დაკვირვება ჰიპერტონიით დაავადებულ 294 ავადმყოფზე, რომელთაც მკურნალობდნენ ერთმომენტიანი ორმხრივი სუბრადიფრაგმური სულანქნიკექტომიით, და აღნიშნეს დიასტოლური წნევის დაქვეითება მხოლოდ 20 mm Hg-ის ფარგლებში.

ამასთანავე ავადმყოფთა სუბიექტური შეგრძნების ანალიზი და ობიექტური გამოკვლევის მონაცემები ამ ავტორთა მიერ არ არის მოყვანილი.

უნდა აღინიშნოს, რომ ზემოხსენებული ავტორები უპირატესობას აძლევენ გაფართოებულ სიმპათექტომიას. ასე, მაგ., D_6 — D_{12} ამოკვეთისას კარგი შედეგები მიღებულია 50% შემთხვევაში, ხოლო D_9 — D_{12} ამოკვეთისას—21% შემთხვევაში.

საბჭოთა კავშირში ჰიპერტონიული დაავადების სიმპათექტომიით მკურნალობას ეწეოდნენ ა. პოლენოვი და ა. ბონდარჩუკი [4], ფ. ლამ-

პერტი [5], ბ. ეგოროვი [6] და სხვ. ეს ოპერაციები კეთდებოდა გარკვეული ჩვენებების დროს და ადგილი არ ჰქონდა უსაფუძვლო გატაცებას ამ საქმეში.

ამ უკანასკნელ ხანებში, შეიძლება ითქვას, ეს ოპერაციები, როგორც ჰიპერტონიული დაავადების მკურნალობის მეთოდი, სსრ კავშირის მეცნ. აკადემიისა და სსრ კავშირის მედიცინის მეცნ. აკადემიის გაერთიანებული სესიის შემდეგ, რომელიც მიძღვნილი იყო აკად. ი. პავლოვის ფიზიოლოგიური მოძღვრებისადმი სავსებით მიტოვებულია.

ამ შრომაში ჩვენ მიზნად დავისახეთ გამოვევრკვია ნერვული ფაქტორის როლი ექსპერიმენტული რენული ჰიპერტენზიის განვითარებაში და ექსპერიმენტულ მოდელზე გადაგვეწყვიტა კლინიკისათვის მნიშვნელოვანი საკითხი ქირურგიული ჩარევისა ჰიპერტონიული დაავადების დროს.

ქრონიკული ცდები დაყენებულ იქნა 45 შინაურ კურდღელზე (1,5—2,5 კგ წონით).

ყველა ოპერაცია ნაწარმოები იყო ეთერის საერთო ნარკოზით, ასეპტიკისა და ანტისეპტიკის წესების დაცვით.

ყოველ ცხოველს, როგორც წესი, უკეთდებოდა საერთო საძილე არტერიის კანის მარყუჟში გამოყვანა.

სისხლის წნევის გაზომვა ხდებოდა რივა-როჩის აპარატით.

ექსპერიმენტულ რენულ ჰიპერტენზიას ვიწვევდით ერთ თირკმელზე რვისებრი მარყუჟის დადებით და მეორე თირკმლის არტერიის შევიწროებით.

45 შინაური კურდღლიდან ცდები გაფართოებული დესიმპათიზაციით ვაწარმოეთ 15 შინაურ კურდღელზე და სხვადასხვა ოპერაცია ვეგეტატიურ ნერვულ სისტემაზე (ლუმბალური სიმპატიქტომია, მუცლის აორტის დენუდაცია, სპლანქნიექტომია) 30 შინაურ კურდღელზე.

პირველ სერიაში 10 შინაურ კურდღელზე ერთდროულად ნაწარმოები იყო თირკმლების იშემია და ნაწილობრივი დესიმპათიზაციები (ლუმბალური სიმპატიქტომია ან მუცლის აორტის დენუდაცია მარცხენა თირკმლის არტერიის გამოსვლის ადგილიდან მის ბიფურკაციამდე) და დაკვირვებიდან გარკვეული ხნის გავლის შემდეგ—გაფართოებული დესიმპათიზაციები ერთმომენტური ჩარევით—მუცლის აორტის დენუდაცია, ლუმბალური სიმპატიქტომია, სპლანქნიექტომია და სოლარექტომია (ცდები ჩაებატარეთ პროფ. კ. ჩიქოვანთან ერთად).

მეორე სერიის ცდებში წინასწარ გამოწყვეულ ჰიპერტენზიაზე ვაწარმოეთ ნაწილობრივი დესიმპათიზაციები (ლუმბალური სიმპატიქტომია ან მუცლის აორტის დენუდაცია) და გარკვეული ხნის გავლის შემდეგ გაფართოებული დესიმპათიზაციები ზემოაღნიშნული მეთოდით.

15 შინაურ კურდღელში, რომელთაც გაკეთებული ჰქონდათ თირკმლების იშემიისა და ნაწილობრივი დესიმპათიზაციის ერთმომენტური ოპერაცია, მოხდა ჰიპერტენზიის განვითარებას შეკავება, საშუალოდ 14-დან 53 დღემდე, ხოლო გაფართოებულმა დესიმპათიზაციამ, რომელიც ნაწარმოებია ამავე ცხოველებზე, მოგვცა დებარესორული ეფექტი 7-დან 27 დღემდე.

5 შინაურ კურდღელს, რომელთაც განვითარებული ჰქონდათ ჰიპერტენზია, ჯერ გაუკეთდა ნაწილობრივი დესიმპათიზაცია, რომელმაც მოგვცა სისხლის წნევის დაქვეითება საშუალოდ 19-დან 30 დღემდე. დაკვირვებიდან გარკვეული ხნის გავლის შემდეგ ამავე ცხოველებს გაუკეთდა გაფართოებული დესიმპათიზაცია, რომელმაც მოგვცა დებრესორული ეფექტი საშუალოდ 13-დან 25 დღემდე.

შედეგების განხილვა

უცხოელი ნეიროქირურგები, როგორც ზემოთ აღვნიშნეთ, იმ აზრისა არიან, რომ სიმპათეტიკომის შედეგად გამოწვეული დებრესორული ეფექტის სიღრმე და ხანგრძლიობა დამოკიდებულია სიმპათიკური განვლიების გამოთიშვის დიაპაზონისაგან.

ყოველ რაგირაციულ ჩარევას აქვს თავისი ფიზიოლოგიური დასაბუთება. ამ თვალსაზრისით საინტერესოა მოვიყვანოთ ზოგიერთი ავტორის შეხედულება სიმპათეტიკომის შედეგად სისხლის წნევის დაქვეითების შესახებ.

პ. სელცოვსკი და ნ. ტიმოფეევა [7] სიმპათეტიკომის ჩარევის ეფექტს განიხილავენ როგორც „დარტყმას“, რომელსაც მოსდევს ნერვული სისტემის სხვა ნაწილების ფუნქციონალური შეცვლა.

პ. გოლდბლატის [8] აზრით, სისხლის წნევის დაცემა ხდება თირკმლის ნერვების დენერვაციის შედეგად.

დღემდე გაბატონებულად ითვლებოდა მუცლის ღრუს სისხლის ძარღვებში სისხლის „დეპონირების“ თეორია; სიმპათეტიკომის შემდეგ მუცლის ღრუს სისხლის ძარღვები ფართოვდება, ხდება ჰემოსტაზი და სისხლის წნევა ეცემა.

ი. პავლოვის მოძღვრების ასპექტში შეუძლებელია ვეგეტატიური ნერვული სისტემის წარმოდგენა თავის ტვინის ქერქისაგან მოწყვეტით.

„ჰიპერტონიული დაავადების დროს ვეგეტატიური მოშლილობანი წარმოადგენენ მხოლოდ ცენტრალური პროცესების შედეგს, ისინი წარმოადგენენ მხოლოდ შუამავალ (გადამცემ) რგოლს სისხლძარღვთა შევიწროების მექანიზმში და სისხლის წნევის მომატებაში“ [9].

ამიტომ, ყოველგვარი ნეიროქირურგიული ჩარევა ვეგეტატიურ ნერვულ სისტემაზე ჰიპერტონიული დაავადების დროს და ამის შედეგად მიღებული დებრესორული ეფექტი არ შეიძლება განვიხილოთ როგორც ადვილობრივი ძვრა, მომხდარი მხოლოდ ვეგეტატიურ ნერვულ სისტემაში, არამედ პირველ რიგში იგი უნდა ვეძიოთ თავის ტვინის დიდი ჰემისფეროების ქერქში.

დებრესორული ეფექტის სიღრმე და ხანგრძლივობა არ არის დამოკიდებული ჩარევის დიაპაზონისაგან. საკმარისია ერთი განვლიის ამოკვეთაც კი, რომ მოხდეს ფუნქციური ძვრა დიდი ჰემისფეროების ქერქში.

მეორე მხრივ, ი. პავლოვის გამოკვლევებით, კისრის ზემო სიმპათიკური კვანძების ამოკვეთა ცოტად თუ ბევრად იწვევს აღზნებითი პროცესის ღრმა შესუსტებას იმ დროს, როდესაც პერიფერიული ნერვული სისტემის ქვემო

წილების ამოკვეთას მოსდევს შეკავებითი პროცესის შესუსტება, ზოგიერთ შემთხვევაში პირობითი რეფლექსების გაძლიერებით [10].

ეს გამოკვლევები მოწმობს, რომ წამყვანია არა სიმპათიკური ნერვული სისტემა, არამედ დიდი ჰემისფეროების ქერქი.

ჩვენი ექსპერიმენტების საფუძველზე ჩანს, რომ ექსპერიმენტული რენული ჰიპერტენზიის დროს ვეგეტატიური ნერვული სისტემის გარკვეული ნაწილის გამორთვა იწვევს სისხლის წნევის დროებით დაქვეითებას, რადგან რენინი (პრესორული ნივთიერება) თავის მოქმედებას ახორციელებს მხოლოდ ნერვული სისტემის (სისხლძარღვთა რეცეპტორები) გზით, როგორც ეს გვიჩვენებს ა. ანდრეევის, ი. ვადკოვსკაიასა და ა. ტარასოვას გამოკვლევებმა [11].

უნდა აღინიშნოს, რომ სამხრეთ ამერიკელი ავტორები უარყოფენ ნერვული სისტემის როლს ექსპერიმენტული რენული ჰიპერტენზიის განვითარებაში და აღნიშნავენ, რომ სიმპათეტიკომია აკავებს ან სავსებით სპობს ექსპერიმენტული რეფლექსოგენური ჰიპერტენზიის განვითარებას.

სახლდარგარეთელი ავტორების მტკიცების წინააღმდეგ, მ. წინამძღვარი შვილი ჯერ კიდევ 1948 წელს აღნიშნავდა ნერვული სისტემის დიდ როლს ე. წ. „ნეფროგენული“ ჰიპერტონიის განვითარებაში, ხოლო 1952 წელს იგი წერდა: „...სიმპათიკური ჰიპერტონიის ყველა ფორმის,—და, მათსადასამე, „ნეფროგენულის“ დროსაც,—სისხლძარღვთა ჰიპერტონუსი, რომელიც იწვევს საერთო არტერიულ ჰიპერტენზიას, ხორციელდება აუცილებლად თავის ტვინის ქერქის მონაწილეობით“ [12, 13].

ნ. გორევი და მ. გურევიჩი, აღნიშნავენ რა ნერვული სისტემის წამყვან როლს ექსპერიმენტული ჰიპერტონიის ორი ფორმის (რეფლექსოგენურისა და რენულის) დროს, თავიანთი ექსპერიმენტული მონაცემების საფუძველზე წერენ: „ექსპერიმენტული რენული ჰიპერტენზიის დროს აღნიშნული ცვლილებები ნერვულ სისტემაში გვაძლევს საშუალებას დავასკვნათ, რომ რიგ ავტორთა (გოლდბლატი, პეიჯი, ფასციოლო და სხვ.) აზრი რენული ჰიპერტონიის მხოლოდ ჰუმორული მექანიზმის შესახებ მცდარია“ [14].

ო. სტეპუნმა, ბ. ანთელიძემ და ა. დარიალავილმა [15] დაადგინეს, რომ ექსპერიმენტული რენული ჰიპერტენზიის მოგვიანებით სტადიებში, იმ დროს, როდესაც სისხლის წნევა მაღალ დონეზეა, არ შეიძლება პრესორული ნივთიერების აღმოჩენა. როგორც ჩანს, მაღალი სისხლის წნევა პირობადებული უნდა ყოფილიყო მხოლოდ ნევრალური მექანიზმებით.

გ. გვიშიანი და ე. კვიციანიძე [16] ექსპერიმენტული ჰიპერტენზიების (რეფლექსოგენურის, კოლინური, რენულის) დროს ძაღლებში ნარკოტიკების (ქლორალჰიდრატი, ლუმინალის) გულ-სისხლძარღვთა სისტემის რეაქტიულობაზე გავლენის შესწავლის საფუძველზე დაასკვნა, რომ ექსპერიმენტული რენული ჰიპერტენზიის დროს ადგილი აქვს თავის ტვინის ქერქის რეაქტიულობის მომატებას.

ამრიგად, ექსპერიმენტული რენული ჰიპერტენზიის განვითარებაში ნერვული სისტემის მონაწილეობა ექვეარეშეა.

ექსპერიმენტული რენული ჰიპერტენზიის დროს დებრესორული ეფექტის მიღებაში ნეიროქირურგიული ჩარევის დიაბაზონს არ აქვს მნიშვნელობა, ვინაიდან როგორც ნაწილობრივი, ასევე გაფართოებული დესიმპათიზაცია იძლევა თითქმის ერთნაირი ხანგრძლივობის დებრესორულ ეფექტს.

ამიტომ, ჩვენი აზრით, უცხოელ ნეიროქირურგთა მტკიცებანი გაფართოებული დესიმპათიზაციის უპირატესობის შესახებ ნაწილობრივთან შედარებით ექსპერიმენტით არ დასტურდება.

ამგვარად, როგორც კლინიკაში, ასევე ექსპერიმენტში ოპერაციული ჩარევა ვეგეტატიურ ნერვულ სისტემაზე მხოლოდ დროებით დებრესორულ ეფექტს იძლევა, გარკვეული დროის შემდეგ სისხლის წნევა კვლავ მატულობს და პირვანდელ მდგომარეობას აღწევს.

ჰიპერტონიული დაავადებით შეპყრობილ პირებში სიმპატექტომიის შემდეგ სისხლის წნევის მყარი დაწევა არავის შეუძენია.

ჩვენი ექსპერიმენტული და ლიტერატურული მონაცემების საფუძველზე ნეიროქირურგიული ჩარევა ვეგეტატიურ ნერვულ სისტემაზე ჰიპერტონიული დაავადების დროს და კერძოდ გაფართოებული დესიმპათიზაცია ნაკლებად ეფექტურ ოპერაციად უნდა ჩაითვალოს.

საქართველოს სსრ მეცნიერებათა აკადემია
კლინიკური და ექსპერიმენტული კარდიოლოგიის
ინსტიტუტი
თბილისი

(რედაქციას მოუვიდა 20.7.1954)

დამოწმებული ლიტერატურა

1. Arterial Hypertension. Acta medica Scandinavica, Stockholm, 1947.
2. M. Gregor. Результаты пятилетних наблюдений над больными, оперированными по поводу эссенциальной гипертонии. S. Afr. Med. J. 26, 9, 157—161, 1952; 26, 10, 177—181, 1952. В книге „Вопросы патологии сердечно-сосудистой системы“. Сборник сокращ. переводов и обзор иностранной литературы, № 1, 1953, стр. 81.
3. S. W. Hooper, I. T. Manning, W. G. Paine and oth. Действие спланхникэктомии на кровяное давление при гипертонической болезни. Circulation 4, 2, 173—183, 1951. В книге „Вопросы патологии сердечно-сосудистой системы“. Сборник сокращен. переводов и обзор иностранной литературы, № 4, 1952, стр. 90.
4. А. Л. Поленов и А. В. Бондарчук. Некоторые клиничко-физиологические наблюдения из хирургии гипертонической болезни. В кн. «Восьмая сессия нейрохирургического совета», 1948, стр. 86.
5. Ф. М. Ламперт. Хирургическое лечение эссенциальной гипертонии. Клинич. медиц. № 3, 1946, т. XXIV, стр. 3—8.
6. А. М. Гринштейн, Б. Г. Егоров, Л. С. Соскин. Хирургическое лечение периферических синдромов гипертонической болезни. Вопросы нейрохирургии, № 4, 1948, стр. 3—12.
7. П. Л. Сельцовский и Н. И. Тимофеева. Некоторые вопросы хирургического лечения гипертонической болезни. Клинич. медиц, № 2, 1950, стр. 39—50.

16. „მოამბე“, ტ. XVI, № 3, 1955



8. H. Goldblatt. The renal origin of hypertension *physiol. Reviews*, vol. 27, № 1, 1947.
9. А. Л. Мясников. Роль нарушений высшей нервной деятельности в патогенезе гипертонической болезни. *Журн. высш. нерв. деят. им. акад. И. П. Павлова*, т. 1, вып. 1, 1951, стр. 99—108.
10. Научная сессия, посвященная проблемам физиологического учения академика И. П. Павлова. Стенографический отчет, 1950.
11. С. В. Андреев, Ю. Д. Вадковская и А. Н. Тарасова. О рефлекторном пути действия ренина на сосудистую систему и на артериальное давление. *Бюлл. экспер. биол. и медиц.*, № 3, 1952, стр. 16—20.
12. М. Д. Цинамдзгваришвили. Вопросы классификации гипертонической болезни. Тбилиси, 1952.
13. М. Д. Цинамдзгваришвили. Эксперимент и клиника в вопросе почечного генеза гипертонии. Тбилиси, 1948.
14. Н. Н. Горев и М. М. Гуревич. О роли нервной системы в генезе экспериментальной гипертонии. *Труды Акад. медиц. наук СССР*, т. XXIII, вып. 3, 1953, стр. 12—22.
15. О. А. Степун, Б. Ф. Антелидзе и А. А. Дариалашвили. Механизм образования ренина в почке и его динамика при экспериментальных гипертониях. *Врач. дело*, № 6, 1952, стр. 485—490.
16. Г. С. Гвишиани и Э. П. Квициридзе. Влияние наркотиков на реактивность аппарата кровообращения собак с различными формами экспериментальной гипертонии. *Фармакология и токсикология*, № 1, 1953, стр. 10—14.



მასპარეზობის მეთოდები

რ. ბურბანიძე და ვ. ბახუტაშვილი

ნორმალური და ოპერირებადი კუჭის მექანორეცეპტორების
გალიზიანების გავლენა ლეიკოციტების რაოდენობასა და
ლეიკოციტურ ფორმულაზე

(წარმოადგინა აკადემიის ნამდვილმა წევრმა კ. ერისთავმა 2.11.1954)

დიდი რუსი ფიზიოლოგი ი. პავლოვი წერდა: „ჩვენ მანამდე ვერ შევიცნობთ ცოცხალი მანქანის მთლიან მოქმედებას, კიდევ რომ ვიცოდეთ მისი ცალკეული ნაწილები, ვიდრე საფუძვლიანად არ გავეცნობით ცენტრნიმ-სწრაფი ნერვების პერიფერიულ დაბოლოებათა სპეციალურ გალიზიანებ-ლებს, ვიდრე არ ვიპოვით ყველა შემთხვევაში მექანიკური, ქიმიური და სხვა ხასიათის იმ განსაკუთრებულ დეტალებს, რომლებიც ალაგზნებენ ამა თუ იმ პერიფერიულ დაბოლოებებს“ [1].

განსაკუთრებით ინტერესს იწვევს ამ მხრივ კუჭის ინტერორეცეპტორ-ების ფიზიოლოგიის შესწავლა, ვინაიდან ცნობილია, რომ კვების აქტის შემდეგ საკვები რამდენიმე საათის განმავლობაში იმყოფება კუჭში და მისთვის დამა-ხასიათებელი ფიზიკური თვისებებით (მოცულობა, კონსისტენცია) და ქიმიური თვისებებით უნდა მოქმედებდეს ინტერორეცეპტორებზე, რომლებითაც აღსავ-სეა კუჭის კედლები.

გამოკვლევებით დადგენილია [2,3], რომ კუჭში არსებობს რეცეპტორული აპარატი, რომელიც ცენტრალური ნერვული სისტემის (ცნს) უშუალოდ განყოფილებებს ატყობინებს კუჭის კედლების დაჭიმვის ხარისხს (მექანორეცეპტორები), სისხლის და ქსოვილთა სითხეების ქიმიურ ცვლილებებს (ქემორეცეპტორები) და სხვა. ამ რეცეპტორების გალიზიანებით აღმოცენებული იმპულ-სები, მიიმართება რა ცენტრალურ ნერვულ სისტემაში, იწვევს სისხლძარღვთა, საჭმლის მომნელებელ, სუნთქვის, შარდგამომყოფი და სხვა სისტემების ფიზიო-ლოგიურ რეაქციებს.

ამავე დროს ბიკოვის, ჩერნიგოვსკის, ივანოვისა და ლებედევას მიერ დადგენილია საჭმლის მომნელებელ ტრაქტში სხვადასხვა რეცეპტორების გა-ნაწილების ზოგადი კანონზომიერება.

საჭმლის მომნელებელი ტრაქტის ის ნაწილი, რომელშიაც მისი ფიზიო-ლოგიური ფუნქციის გამო აღვივებულია აქვს საკვების ან მისი ნარჩენების შეჩე-რებას, შეჯგუფებას (კუჭი, მსხვილი ნაწლავები, სწორი ნაწლავი), მდიდარია მექანორეცეპტორებით, ხოლო ის ნაწლავი, სადაც უმთავრესად მიღებული საკვების ქიმიური დამუშავება და დამუშავებული პროდუქტების შეწოვა ხდება (თორმეტგოჯა ნაწლავი, მღვივი ნაწლავის ბოლო და თედოს ნაწლავის

საწყისი ნაწილები) ხასიათდება მაღალი მგრძნობელობით ქიმიური გამაღიზიანებლების მიმართ.

მნიშვნელოვანია ის ფაქტიც, რომ კუჭის ან სხვა ორგანოს ინტერორეცეპტორების გაღიზიანებით შესაძლებელია პირობითი რეფლექსების გამოშვება დროებითი კავშირის საფუძველზე.

წინამდებარე შრომაში ჩვენ მიზნად დავისახეთ შეგვესწავლა ჯანმრთელი და ოპერირებული კუჭის მექანორეცეპტორების გაღიზიანების გავლენა პერიფერიულ სისხლში ლეიკოციტების რაოდენობასა და ლეიკოციტურ ფორმულაზე.

გამოკვლევის მეთოდика

დაკვირვებანი წარმოებდა ჯანმრთელი, ნორმალური კუჭის მქონე და წყლულოვანი დაავადების ნიადაგზე ოპერირებულ ავადმყოფებზე (პერფორირებული წყლულის ვაკერვა, რეზექცია).

სულ გატარებულია 20 შემთხვევა, მათ შორის 5 ნორმალური და 15 ოპერირებული, აქედან 7—პერფორირებული წყლულის ვაკერვის, ხოლო 8—რეზექციის შემდგომი შემთხვევა.

გამოკვლევა წარმოებდა ოპერაციის ერთი—ერთ-ნახევარი წლის შემდეგ. კუჭის მექანორეცეპტორებს გაღიზიანებით წვრილი დუოდენალური ზონდით, რომელიც რეზინის ბალონით ბოლოვდებოდა. მთელ სისტემას ვასტერილებდით ადულებით.

რეზინის ბალონი კუჭში მოთავსების შემდეგ იბერებოდა ჰაერით (საკვების იმიტაცია). გაბერვა წარმოებდა 2—3 წუთის განმავლობაში რეზინის რეზერვუარით, რომლის მოცულობას წინასწარ ვიკვლევდით. პირველ ორ შემთხვევაში ბალონში შეგვყავდა 250 სმ³ ჰაერი, ხოლო რეზექციის შემდგომ შემთხვევებში 125 სმ³. კუჭის მექანორეცეპტორების გაღიზიანება ხდებოდა 1 საათის განმავლობაში.

სისხლში ლეიკოციტებს და ლეიკოციტურ ფორმულას ვიკვლევდით დინამიკაში: რეცეპტორების გაღიზიანებამდე, გაღიზიანებიდან ნახევარი, ერთ-ნახევარი და ორი საათის შემდეგ.

გამოკვლევის შედეგები

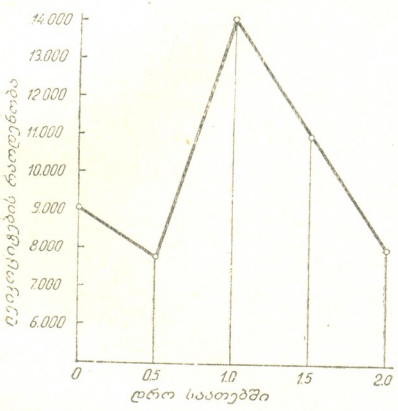
როგორც პირველი ცხრილი და მრუდი გვიჩვენებს, ნორმალური კუჭის კედლების დაჭიმვა 250 სმ³ ჰაერით იწვევს ლეიკოციტების რაოდენობრივ ცვლილებებს: მექანორეცეპტორების გაღიზიანებიდან 30 წუთის შემდეგ ყველა შემთხვევაში ადგილი აქვს ლეიკოციტების რიცხვის მცირე დაკლებას, რაც გაღიზიანების დაწყებიდან ერთი საათის შემდეგ ლეიკოციტოზით იცვლება (ლეიკოციტების რიცხვი საშუალოდ 3720 ერთეულით მატულობს). გაღიზიანების მოხსნის შემდეგ ლეიკოციტების რიცხვი სწრაფად კლებულობს და უკვე ცდის დაწყებიდან ორი საათის შემდეგ საწყისს ციფრებს უახლოვდება. ლეიკოციტურ ფორმულაში მკვეთრი ცვლილებები არ არის ნახული.



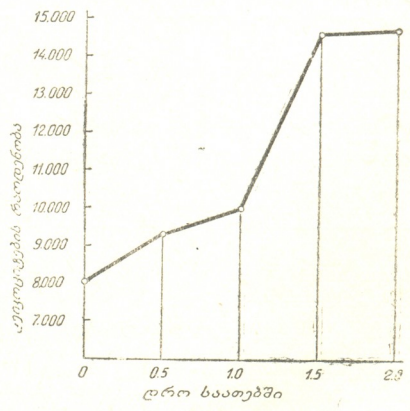
ცხრილი 1

ლეიკოციტების რაოდენობისა და ლეიკოციტური ფორმულის ცვალებადობა ჯანმრთელი ადამიანის კუჭის მექანორეცეპტორების გალიზიანებასთან დაკავშირებით

გამოკვლევის დრო	ლეიკოციტების რაოდენობა	უბოლოლი	ბაზოფილი	ნეიტროფილური ლეიკოციტები					ლიმფოციტი	მონოციტი
				ყრმა	ხიზბირთვიანი	სეგმენტბირთვიანი	საერთო რაოდენობა	პროცენტები		
გალიზიანებამდე	9000	4	—	0,5	4,5	64	69	20	7	
გალიზიანებიდან 1/2 საათის შემდეგ	7800	3,5	0,5	—	4	66	70	16	10	
გალიზიანებიდან 1 საათის შემდეგ	14000	4	—	—	5	67	72	17	7	
გალიზიანებიდან 1 1/2 საათის შემდეგ	11000	4	—	—	5	63	68	20	8	
გალიზიანებიდან 2 საათის შემდეგ	8400	2	—	—	4	67	71	20	7	



მრუდი 1



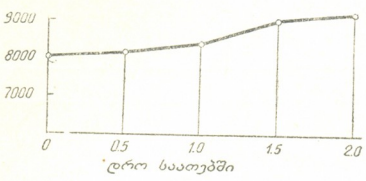
მრუდი 2

პირველი 5 შემთხვევის შედეგების ანალიზი უფლებას გვაძლევს დავასკვნათ, რომ კუჭის მექანორეცეპტორების გალიზიანება ძირითადად ლეიკოციტების რაოდენობრივ ცვლილებებს იწვევს, ხოლო თვისებრივი ცვლილებები სუსტად არის გამოხატული. ამავე დროს აშკარა ხდება, რომ ლეიკოციტების რაოდენობის დაბრუნება საწყის რიცხვამდე (ჩვენს შემთხვევაში გალიზიანების დაწყებიდან ორი საათის შემდეგ) ადამიანებში უფრო ჩქარა ხდება, ვიდრე ცხოველებში. ჩერნოგოვსკისა და იაროშევსკის მრავალრიცხოვანი ექსპერიმენტებით დადგენილია, რომ ცხოველებში დროის ამ მონაკვეთის განმავ-



ლობაში ლეიკოციტების მატება ჯერ კიდევ ვერ აღწევს მაქსიმუმს, ეს უკანასკნელი კი ადასტურებს ფაქტს, რომ სისხლის შემადგენლობის მუდმივობის რეგულირება ადამიანში უფრო სრულია, ვიდრე ცხოველებში.

განსხვავებულ სურათს იძლევა წყულოვანი დაავადების ნიადაგზე ოპერირებული კუჭის მექანორეცეპტორების გალიზიანება როგორც პერფორირებული წყულულის გაკერვის, ისევე რეზექციის შემთხვევებში. პირველი—ლეიკოპენიის ფაზა აქ გამოვარდნილია. ლეიკოციტების რაოდენობის შეცვლა ხდება მხოლოდ მათი მომატების გზით, მაგრამ ოპერაციის სახესთან დაკავშირებით თვით მატების ხარისხი განსხვავებულია.



მრუდი 3

ლეიკოციტების რაოდენობა მთელი ცდის განმავლობაში მატულობს და დიდ რიცხვს აღწევს (იმატებს საშუალოდ 6000 ერთეულით). გალიზიანების მოხანის შემდეგ ლეიკოციტების რაოდენობა არ იკლებს, პირიქით, მატულობს

ცხრილი 2

ლეიკოციტების რაოდენობისა და ლეიკოციტური ფორმულის ცვალებადობა ოპერირებული კუჭის მექანორეცეპტორების გალიზიანებასთან დაკავშირებით; ოპერაციის სახე: პერფორირებული წყულულის გაკერვა

გამოკვლევის დრო	ლეიკოციტების რაოდენობა	ეოზინოფილი	ბაზოფილი	ნეიტროფილური ლეიკოციტები					ლიმფოციტი	მონოციტი
				კრმა	ჩხირ-ბირთვიანი	სეგმენტბირთვიანი	საერთო რაოდენობა	პროცენტებში		
გალიზიანებამდე	8000	4	I	I	II	58	70	19	6	
გალიზიანებიდან 1/2 საათის შემდეგ	9300	4	I	0,5	9,5	55	65	25	5	
გალიზიანებიდან 1 საათის შემდეგ	10000	I	—	—	8	60	68	25	6	
გალიზიანებიდან 1 1/2 საათის შემდეგ	14600	2	—	—	II	59	70	26	2	
გალიზიანებიდან 2 საათის შემდეგ	14700	3	I	—	6	60	66	25	5	

და გალიზიანებიდან 1 1/2 და 2 საათის შემდეგ მიღებული მონაცემები ერთმანეთს უახლოვდება ან უტოლდება. კონკრეტულად, მექანორეცეპტორების გალიზიანების დაწყებიდან 1 1/2 საათის შემდეგ პერიფერიულ სისხლში ლეიკოციტების რაოდენობა გარკვეული დროის განმავლობაში სტაბილური ხდება.



რეზექციის შემდგომ შემთხვევებში (ცხრილი 3 და მრუდი 3) ლეიკოციტების მომატება მცირეა (საშუალოდ 1175 ერთეულით), ხოლო მატება ხდება დაკვირვების მთელი დროის განმავლობაში. ვფიქრობთ, რომ ამ შემთხვევაში ლეიკოციტების რაოდენობის ასეთი მცირე მატება რეზექტირებული კუჭის ნაწილთან ერთად მექანორეცეპტორების დიდი ველის მოცილებით უნდა აიხსნას.

რაც შეეხება ლეიკოციტების თვისებრივ ცვალებადობას, ფორმულაში ნახულია მცირე, მაგრამ კანონზომიერად მიმდინარე ლიმფოციტოზი, იგი

ცხრილი 3

ლეიკოციტების რაოდენობისა და ლეიკოციტური ფორმულის ცვალებადობა ოპერირებული კუჭის მექანორეცეპტორების გალიზიანებასთან დაკავშირებით; ოპერაციის სახე: კუჭის რეზექცია

გამოკვლევის დრო	ლეიკოციტების რაოდენობა	ელზინოფილი		ნეიტროფილური ლეიკოციტები					ლიმფოციტი	მონოციტი
		გრძობილი	ბაზოფილი	ყრმა	ჩირბირთვიანი		სეგმენტბირთვიანი	საერთო რაოდენობა		
					პროცენტებში	პროცენტებში				
გალიზიანებამდე	8000	2	1	—	8	58	66	25	6	
გალიზიანებიდან 1/2 საათის შემდეგ	8100	3,5	0,5	0,5	6,5	57	64	27	5	
გალიზიანებიდან 1 საათის შემდეგ	8400	2	—	1	8	57	66	27	5	
გალიზიანებიდან 1 1/2 საათის შემდეგ	9000	2,5	0,5	0,5	4,5	55	60	28	9	
გალიზიანებიდან 2 საათის შემდეგ	9200	4	1	—	8	50	58	29	8	

უნდა აიხსნას ორგანიზმის რეაქტიულობის შეცვლით. ამ შემთხვევაში ლიმფოციტური ქსოვილის მეტად გამოხატული რეაქციის მიზეზები შეიძლება სხვადასხვა იყოს. საკითხის დაზუსტება შესაძლებელი გახდება მხოლოდ ექსპერიმენტული მასალის დაგროვების შემდეგ, რაც ჩვენი მომავალი მუშაობის მიზანს შეადგენს.

ლიტერატურული მონაცემებისა და საკუთარი მასალის ანალიზის მიხედვით უნდა ვიფიქროთ, რომ ნორმალური და ოპერირებული კუჭის მექანორეცეპტორების გალიზიანების შედეგად სისხლში ლეიკოციტების ცვლილებები რთულ რეფლექსურ ხასიათს უნდა ატარებდეს, სადაც გადაწყვეტი მნიშვნელობა დიდი ჰემისფეროციტების ქერქს მიეკუთვნება. მასში განვითარებული აგზნება-შეკავების პროცესებით, კერძოდ ნორმალური კუჭის კედლების დაჭიმვა (250 სმმ² ჰაერიით) უნდა იწვევდეს ქერქში აგზნების პროცესს, რომელიც ასეთი დაჭიმვის ხანგრძლივობასთან დაკავშირებით შეკავებაში გადადის.

წყლულოვანი დაავადების ნიადაგზე ოპერირებული კუჭის პირობებში კი მექანორეცეპტორების გალიზიანება ავზნების ნაცვლად ქერქში პირდაპირ შეკავების პროცესს იწვევს. უკანასკნელი ფაქტის მიზეზი, ვფიქრობთ, უნდა ვეძიოთ კუჭის ნერვულ-რეფლექსური მექანიზმების დაზიანებაში დადი ჰემისფეროების ქერქის ჩათვლით, რაც ერთხელ კიდევ ადასტურებს კუჭის წყლულის პათოგენეზის კორტიკოვისცერალური თეორიის სისწორეს.

დასკვნები

ლიტერატურული და საკუთარი მასალის ანალიზის საფუძველზე მივიღვართ შემდეგ წინასწარ დასკვნებამდე:

1. ნორმალური კუჭის მექანორეცეპტორების გალიზიანება იწვევს პერიფერიულ სისხლში ლეიკოციტების რაოდენობრივ ცვლილებებს: ლეიკოპენიას შემდგომი ლეიკოციტოზით. ლეიკოციტების რიცხვი გალიზიანების დაწყებიდან ორი საათის შემდეგ უბრუნდება საწყის დონეს;

2. წყლულოვანი დაავადების ნიადაგზე ოპერირებული კუჭის მექანორეცეპტორების გალიზიანება იწვევს ლეიკოციტების როგორც რაოდენობრივ, ისე თვისებრივ ცვლილებებს: პირველი გამოიხატება ლეიკოციტოზით, ხოლო მეორე—ლიმფოციტების მცირე, მაგრამ კანონზომიერად მიმდინარე მატებით. გალიზიანების დაწყებიდან 2 საათის შემდეგ აღნიშნული მაჩვენებლები არ დადის საწყის სიდიდეებამდე;

3. რეზეცირებული კუჭის მექანორეცეპტორების გალიზიანებით მიღებული შედარებით მცირე ლეიკოციტოზი უნდა აიხსნეს რეზეცირებული კუჭის ნაწილთან ერთად მექანორეცეპტორების დიდი ველის მოცილებით;

4. ოპერირებული კუჭის მექანორეცეპტორების გალიზიანებით მიღებული ლეიკოციტების (რაოდენობრივი და თვისებრივი) თავისებური და შედარებით ხანგრძლივი ცვლილებები, ვფიქრობთ, შედეგია ცენტრალური ნერვული სისტემის უმაღლესი ნაწილების ფუნქციონალური მდგომარეობის ჯერ კიდევ არსებული, თავისებური ცვლილებებისა.

საქართველოს სსრ მეცნიერებათა აკადემია
 ექსპერიმენტული და კლინიკური ქირურგიისა და
 ჰემატოლოგიის ინსტიტუტი
 თბილისი

(რედაქციას მოუვიდა 5.11.1954)

დამოწმებული ლიტერატურა

1. И. П. Павлов. Полн. собр. трудов, т. 2, 1946.
2. И. Т. Курцин. Механорепенторы желудка и работа пищеварительного аппарата. Изд. АН СССР, 1954.
3. В. Н. Черниговский. К физиологии интероцепторов. Проблемы кортико-висцеральной патологии. Изд. АМН СССР. Москва, 1949.
4. В. Н. Черниговский. Вопросы нервной регуляции системы крови. Медгиз. Москва, 1953.
5. Г. Я. Одишвили, И. Н. Абакелия. Моторная деятельность желудка и лейкоцитоз. Сообщения АН ГССР, т. XIV, № 9, 1953.
6. Д. И. Гольдберг. Нервная регуляция кровотока. Томск, 1952.



კ. ლომთათიძე

პოტენციალისისა (მესაძლებლობისა) და უნებურობის
კატეგორია აფხაზურ-აბაზურ ზმნაში

(წარმოადგინა აკადემიის ნამდვილმა წევრმა არნ. ჩიქობავამ 29.12.1954)

პოტენციალისის კატეგორია დამახასიათებელია როგორც ქართველურ ენათა, ისე აფხაზურ-ადიღურ ენათა ზმნისათვის. პ. უსლარს, მართალია, ეს კატეგორია ცალკე არ გამოუყვია, მაგრამ ზ. (ზზიფ. ზ) „თვის“ აფიქსის განხილვისას მიუთითა მის მსგავს ფუნქციაზე ([1], გვ. 64) და მართებულად აღნიშნა მისი კავშირი ქვეყნის ზ აფიქსთან [2].

პოტენციალისის ზ- აფიქსი ფართოდაა გავრცელებული ზმნის უარყოფით წარმოებებში, მაგ.:

ამც ზნმზარ ზნჯ ჟაჟ დამჯრფხაზარ ზჯყალომ ([3], № 867), ტყუილმა არ შეიძლება (არ იქნება) ერთხელაც არის ადამიანი არ შეარცხვინოს.

ზხჯ ზჯემდჯრჟა ხაწაგჯ დჯჯცომ, ფჯაჯგჯ დიჯაჯგომ ([3], № 508) ვინც თავის თავს არ იცნობს, ის ვერც გათხოვდება, ვერც ცოლს მოიყვანსო.

ეგჯ უფარჯჯ, უძარა უჯახჯფომ ([3], № 475) რაც უნდ იხტუნო (ახტე), შენს წელს ვერ გადაახტებო.

შაყაზაწიჯკლა აგარა უჯჯშაშაჟამ ([3], № 161) ერთი ბოძით ღობეს ვერ შელობავო და სხვ.

დიუმეზილმა აღნიშნა, რომ პოტენციალისის ფორმები აფხაზურ ზმნაში გვხვდება დადებით წარმოებებშიო, როგორიცაა, მაგ., ისჯიფჟეიტ („მე ვერ ვჭამ“) ([4], გვ. 210). ზმნის დადებით-ფინიტურ წარმოებებში პოტენციალისის კატეგორია მეტად იშვიათია. აქა-იქ იგი გვხვდება ტაპანთურსა ([5], § 43) და აშხარულში [6, § 37]. პირაქეთა დიალექტებში მსგავსი ფორმები შეიძლება შეგვხვდეს -ჰია ნაწილაკითურთ: ისჯჯაჯჯტ ჰია (სჯამჯტ) „(არ) მეგონა), რომ შევიძლებ(დი) და შევჭამდი“ და სხვ. უნდა აღინიშნოს, რომ ასეთ შემთხვევებში აღნიშნული ფინიტური წარმოებები პირობითს შინაარსს შეიცავენ.

პოტენციალისის კატეგორია გვხვდება აფხაზურ-აბაზური ზმნის შემდეგს დადებითს წარმოებებში:

კითხვითს ფორმებში, მაგ.:

აკჯრ ხარა იჯხჯტოჟუ? ([7], გვ. 245) შეუძლია მას საკმაოდ შორს ისროლოს?

ნატკროითს კილოში, მაგ.:

ხიაჯა დანჯოჯჯჯ „სჯეიჯლა-ლჯრ იმაჰაჰია სჯჯცანდაზ ჰია ოჰ“ — დჯშადიჯქილა [ახჟუური ტექსტები]. „მოლა რომ მიდიოდა, ნეტავ ჩემი ქურდი მეზობ-

ლის გაუგონრად შევიძლო და წავიდეთ—ამას ამბობდა რა, გაემართა“ და სხვ.

პირობითს კილოში, მაგ.: ჭარა უხვ უზახიოზარ, ჭახი! [8, გვ. 54]. „შენ თუ შევიძლია შენს თავს უშველო, უშველე!“

ამგვარად, პოტენციალისის კატეგორია აფხაზურში დამახასიათებელია უარყოფითი წარმოებებისათვის. დადებითთაგან ჩვეულებრივ გვხვდება ინფინიტურ წარმოებებში (კითხვითს, პირობითსა და მსგავს ფორმებში).

ანალოგიური ვითარებაა ქართველურ ენებშიც [9].

პ. უსლარმა პოტენციალისის ზ (ზ) აფიქსი დაუკავშირა რა ქცევის ზ აფიქსს „თვის“-ის მნიშვნელობით, მისი ფუნქცია ზმნის უარყოფით ფორმებში ასე განმარტა: ისეზაჟამ—მე არ შემიძლია ვწერო, ე. ი. არ ვწერ რაღაც მიზეზის გამო, რაღაცის-თვის ([1], § 51). დიუმეზილიმა ბუნდოვნად მიიჩნია უსლარის მიერ მოცემული კვალიფიკაცია ამ ფორმისა და აღნიშნა, რომ ის ვერ იძლევა დადებითი ფორმების ახსნასო ([4], გვ. 204).

ჯერ კიდევ პ. უსლარმა აღნიშნა, რომ რთულფუძიან ზმნებში, რომლებშიაც სუბიექტის ნიშანი ჩაისმის ფუძის შემადგენელ ელემენტებს შორის, ე. ი. პრევერბის შემდეგ, პოტენციალისის წარმოებისას ეს სუბიექტის ნიშანი გამოდის პრევერბის გარეთ, მაგ., „იყა-ხ-წოამ“—„მე არ ვაკეთებ“, მაგრამ: ისზაჟაწოამ“—„მე არ შემიძლია გავაკეთო“. ამაზე შორს არ წასულა არც დიუმეზილი, ოღონდ აღნიშნა, რომ ამ შემთხვევაში პრევერბა+ძირი გამოდის როგორც მთლიანი და რომ მსგავსი წარმოებები იუღვლება C და G ჯგუფის (კლასის) გარდამავალ ზნათა მსგავსადო ([4], გვ. 210); დიუმეზილის მიხედვით კი C და G ჯგუფებში შედის აბარა (იზბოიტ)—„ხედვა“ და აფყარა (იფესყოიტ)—„ჭრა“ ზმნები ([4], გვ. 156, 167). თუმცა უნდა აღინიშნოს, რომ პოტენციალისის აღნიშნული წარმოებები არ გვაძლევენ ისეთ უღვლილებას, რაც შეეფერება დიუმეზილის მიერ C და G ჯგუფებში გამოყოფილ გარდამავალ ზმნებს.

სპეციალურ ლიტერატურაში აღნიშნულია, რომ სუბიექტის ნიშნის ჩართვა რთული ზმნის ფუძეში ერთ-ერთი დამახასიათებელი ნიშანია ზმნის გარდამავლობისა ([10], გვ. 11—13). აღნიშნულია აგრეთვე, რომ უარყოფითი დამახასიათებლისას ეს დებულება უთუოდ არ გულისხმობს გარდაუვალ ზმნას. ასე მაგ., გარდამავალ აყაწარა „კეთება“ ზნაში სუბიექტის ნიშანი ჩაისმის ფუძეში: ი-ყა-ხ-წოიტ—„მე მას (რაღაცას) ვაკეთებ“, მაგრამ კაუზატივის წარმოებისას სუბიექტის ნიშანი გამოდის ფუძიდან და პრევერბისა და კაუზატივის აფიქსის წინ დაისმის: ი-უ-ხე-რყაწოიტ—„მე შენ (მამაკ.) მას 'გა'გაკეთებინებ“.

შეიძლებოდა გვეფიქრა, რომ ასეთივე მდგომარეობა გვაქვს პოტენციალისის წარმოების დროსო, მაგრამ უნდა აღინიშნოს, რომ ამ მხრივ ერთგვარობას ადგილი არ უნდა ჰქონდეს. ჯერ ერთი, სუბიექტის ნიშნის პრევერბის წინ ვადმოსმა კაუზატივის წარმოებაში გვხვდება მხოლოდ ცალკეულ ზმნებში, რომლებშიაც დაჩრდილულია ზმნის ფუძის რთული ხასიათი (ასე მაგ., აყაწარა-ზმნაში) და ისიც გარკვეულს დიალექტებში (აშხარულს დიალექტში, მაგალითად, ეს მოვლენა არ დასტურდება), მაშინ როცა სუბიექტია ნიშნის



წინ გადმოსმა რთულფუძიან ზმნაში აუცილებელი ნორმაი ყველა რთულფუძიანი ზმნისათვის ყველა აფხაზურ-აბაზურ დიალექტში და მეორე (რაც არსებითია), სამპირიან გარდამავალ ზმნებში პოტენციალისის წარმოებისას ირღვევა პირის ნიშანი ან ჩვეულებრივი თანამიმდევრობა.

როგორც ცნობილია, სამპირიან გარდამავალ ზმნაში ასეთი თანამიმდევრობაა პირის ნიშნებისა: პირდაპირი ობიექტი, შემდეგ — ირიბი ობიექტი, და შემდეგ — მესამე ადგილზე — სუბიექტი: ი-ტა-ს-ჰიომ „მას (რალაცას)-შენ (მამაკ.)-მე-არ გეუბნები, არ გეტყვი“. პოტენციალისის წარმოებისას კი ამავე ზმნაში სუბიექტის ნიშანი მესამე ადგილიდან გადმოინაცვლებს მეორე ადგილზე და ვიღებთ ასეთ თანამიმდევრობას:

ი-ს-ზ-ტა-ჰიომ — „მას-მე-შენ ვერ გეტყვა“ [10] შდრ. მავალ.:

ტარა ტაწკ'ჯს სარა სეჰაჰუპ, ამა სუზ-უ-თომ! — „მე შენზე (მამაკ.) უფროსი ვარ, გზას მე შენ ვერ მოგცემ“ ([8], გვ. 74), შდრ. ჩვეულებრივი უარყოფითი ფორმა: ი-უ-ხ-თომ! „მას-შენ-მე არ მოგცემ!“

შოლაკკ ჯარამზარ ჯარა ი-უ-ზ-ი-დბალომზტ — „შენ (მამაკ.) ვერ აღმოუჩენდი (დაუნახავდი) მას ერთ ღერ თეთრ (თმასაც)“ ([7], გვ. 228).

შდრ. ჩვეულებრივი უარყოფითი ფორმა: ი-ი-დ-უ-ბალომ „მას (რალაცას) მას (მამაკაცს) შენ (მამაკ.) არ აღმოუჩენ (დაუნახავ, შენიშნავ)“ და სხვ.

ზემოგანხილული მოვლენის ახსნას აფხაზურში შეეცადა ალ. ლეკია-შვილი თავის წერილში „აფხაზური ზმნის პოტენციალისის ფორმის შესახებ“ [11]. მისი აზრით, პოტენციალისის კატეგორიის წარმოებისას გარდამავალსა და გარდაუვალს ზმნებში განსხვავებული ვითარება დასტურდება. გარდაუვალ ზმნებში, ისევე როგორც ამას ფიქრობდა პ. უსლარი, ზ (ზ) აღნიშნავს „თვის“-ს: სუზ-ცომ — „(რალაცის)-თვის, (რალაცის) გამო არ მივდივარ“, „ვერ მივდივარ“, ხოლო რაც შეეხება გარდაუვალ ზმნებს, აქ პოტენციალისის ფორმები უნდა წარმოადგენდეს *იღრუამ, *იაგომ და სხვ. გარდაუვალ, ვნებითი გვარის ფორმათა ქცევიან (კუთვნილების (-ზ — „თვის“ ელემენტთან) სახეობებს: ასე მაგ.: *იაგომ — „არ მოიტანება“, მაგრამ პოტენციალისი: ისზა-გომ „არ მომეტანება“ — „ვერ მომაქვს“ და სხვა.

სუბიექტის პირის გადანაცვლება კი (შდრ. ისუზუთომ) იმითია გამოწვეული, რომ ზ (ზ) აქ ქცევის აფექსია, რომელსაც გარკვეული ადგილი უჭირავს, მის წინ დაისმის იმ პირის ნიშანი, რომელსაც ზმნის მოქმედება განეკუთვნება. გარდამავალი ზმნის პირდაპირი ობიექტი კი პოტენციალისის ფორმაში სუბიექტად იქცევა.

პოტენციალისის წარმოების აქ წარმოდგენილი ახსნა სავსებით ახალი თვალსაზრისით სვამს პოტენციალისის კატეგორიის საკითხს აფხაზურში, თუმცა ძნელია მთლიანად გავიზიაროთ ავტორის ზემომოყვანილი მსჯელობა.

ფიქრობთ, რომ ამ შემთხვევაში გადამწყვეტი მნიშვნელობა ენიჭება სუბიექტის ნიშნის ადგილმდებარეობას. სამპირიან გარდამავალ ზმნებში სუბიექტის ნიშანი დაისმის მესამე ადგილზე და რთულფუძიან გარდამავალ ზმნებში სუბიექტის ნიშანი ჩაისმის რთულ ფუძეში. ეს წესი ირღვევა

სწორედ პოტენციალისის ფორმებში, რითაც გარდამავალი ზმნა იქცევა გარდაუვალ ზმნად. ამის გამო, ვფიქრობთ, არ არის აუცილებლობა დაფუძვით აფხაზურ ენაში არსებობა არარეალური ვნებითი ფორმებისა *იღრუამ, *იააგომ და სხვ., რომელთა ქცევის ფორმებად მიიჩნეეს ავტორი ისზღრუამ, ისზუაწომ, ისზუთომ და სხვა ფორმებს.

პოტენციალისის აფიქსი ზ ამჟამად უკვე მკვეთრად განსხვავდება როგორც გამოყენების წესით, ისე თავისი ფუნქციით (აფხაზურ-აბაზური ზმნის) ქცევის ზ აფიქსისაგან. ქცევის აფიქსი არ გვხვდება ერთპირიან ზმნებში. იგი გვაქვს ოდენ ირიბობიექტიან ზმნაში და დაკავშირებულია ირიბი ობიექტის პირთან⁽¹⁾: ქცევის აფიქსი ერთნაირად დასტურდება როგორც დადებითს, ისე უარყოფითს ფორმებში.

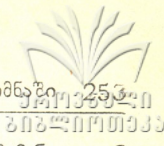
პოტენციალისის აფიქსი კი გვხვდება ყველა ზმნაში და, რაც დამახასიათებელია, დაკავშირებულია ზმნის რეალურ სუბიექტთან (სულ ერთია, ერთპირიანი იქნება ზმნა თუ მრავალპირიანი); პოტენციალისის აფიქსი უმეტესად დასტურდება ზმნის უარყოფითსა და ინფინიტურს ფორმებში.

რაც შეეხება პოტენციალისის ზ აფიქსის თითქოს განსხვავებულ გამოყენებას გარდაუვალსა და გარდამავალ ზმნებში, უნდა აღინიშნოს, რომ ეს მოვლენა აფხაზურ-აბაზურ ენაში არ დასტურდება. ერთგვარად გამოიხატება ეს კატეგორია ყველა ზმნაში, ერთგვარად უკავშირდება პოტენციალისის ზ პრეფიქსი რეალურ სუბიექტს როგორც გარდამავალ, ისე გარდაუვალ ერთპირიან ზმნებში და ორსავე შემთხვევაში იწვევს ზმნის ინვერსიულ წყობას. ზმნის ეს ინვერსიული წყობა თავის მორფოლოგიურ გამოსახულებას პოულობს გარდამავალ ზმნაში, ისიც გარკვეულ შემთხვევაში (რთული ფუძის ზმნაში; სამპირიან ზმნაში): გრამატიკული სუბიექტი იქცევა ირიბ ობიექტად (დაისმის მეორე ადგილას, ირიბი ობიექტის ადგილას). რომ ინვერსიულ წყობას შესაძლოა ადგილი აქვს გარდაუვალ ზმნებშიაც, მტკიცდება მონათესავე ენათა მონაცემებითაც. სადაც მსგავს ფორმებში (რეალური) სუბიექტი წარმოდგენილია ობიექტური პირის ნიშნებით, შდრ. ქართ. „აქ არ დამედგომება“ და სხვ.

ვფიქრობთ, ასეთივე მოვლენა აფხაზურ-აბაზურ გარდაუვალ ზმნაშიაც (ღე-ზ ტიომ—„ის (აღამ.) ვერ ჯდება“, „მას (აღამ.) არ დაეჯდომება“) იმ განსხვავებით, რომ აფხაზურ-აბაზურ ზმნაში სუბიექტ-ობიექტის ნიშანთა განუხსნავებლობის გამო ეს სტრუქტურული ცვლილება ვერ პოვებს მორფოლოგიურ გამოხატულებას. როგორც ზემოთ დავრწმუნდით, ამავე მიზეზით მორფოლოგიურ გამოხატულებას ეს მოვლენა ყოველთვის ვერ ახერხებს ვერც გარდამავალ ზმნაში.

პოტენციალისის კატეგორია მომდინარეობს ქცევის კატეგორიისაგან და ამდენადვე დამახასიათებელია პოლიპერსონალური, კერძოდ, გარდამავალი ზმნისათვის. უნდა

(1) მხედველობაში არ ვიღებთ საგანგებო კიანხითს ფორმებს.



ვიფიქროთ, გარდამავალი, პოლიპერსონალური ზმნიდან შემდგომში იგი გავრცელდა გარდაუვალ ზმნებში.

ალბათ ამით აიხსნება ის განსხვავება პოტენციალისის წარმოებისას, რაც დასტურდება ადილურ ენებში გარდამავალ და გარდაუვალ ზმნათა შორის; შდრ. ყაბარდ. გარდამავალი ზმნა ს-ჩ⁰ჰ-თხყჰ—„მე ვერ ვწერ“ და გარდაუვალი ზმნა სყ⁰ა-ჟ-ყჰ—„ვერ მივდივარ“. ამ შემთხვევაში ყურადღებას იქცევს ის ფაქტი, რომ ადილურს გარდაუვალს ზმნაში პოტენციალისის კატეგორია გამოხატულია სუფიქსით.

ვარაუდი, რომ როგორც გარდამავალ, ისე გარდაუვალ ზმნებში პოტენციალისის წარმოებისას უნდა დასტურდებოდეს ერთნაირი ვითარება და რომ პოტენციალისის აფიქსი თავისი ფუნქციით უკავშირდება რეალური სუბიექტის პირს, სარწმუნო ხდება აფხაზურში არსებული ერთ-ერთი ზმნური წარმოების მაგალითზე, რომელსაც შეიძლება უნებურობის კატეგორია ეწოდოს.

ეს კატეგორია იწარმოება (ა) მხა- || (ა) მჯა- || (ა) მაჯა-⁽¹⁾ პრეფიქსის საშუალებით. იგი გადმოსცემს რეალური სუბიექტის მიერ უნებურად ჩადენილ მოქმედებას. ძალზე საყურადღებოა, რომ მაჯა- → მხა- პრეფიქსის დამოკიდებულება ზმნის ფორმასთან და სუბიექტის ნიშნებთან საესებით ისეთივეა, როგორც პოტენციალისის წარმოებისას. მაგ., დცეჲტ—„ის (აღამ.) წავიდა“, მაგრამ დ-ამხა-ცეჲტ—„ის (აღამ.) უნებურად წავიდა“, დცი-ეჲტ—„მან (აღამ.) დაიძინა“, მაგრამ დ-ამხა-ციეჲტ--„მან უნებურად ჩაიძინა“; შდრ. ქართ. „მას ჩაეძინა“ და ა. შ.

მაგალითები:

ზეგ² შიანდიჲქილა სარგ² ს-ამხა-შიჲშთალტ ([12], გვ. 32)—თქვენ ყველანი რომ გაემართეთ (გაემგზავრეთ), მეც უნებურად გამოგყვებით (გამოგედევნეთ).

დააჲგიალაშიეჲტ მეზ იჲჲ დ-ამხა-ჰიაზ ([12], გვ. 38)—მას (მამაკ.) მოაგონდა, რაც მეზს უთხრა უნებურად.

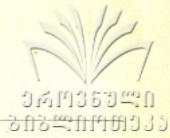
იზგაამთაჰაკია ირაციანჲ დ-ამხა-ჲეჲტ ([13], გვ. 141)—შეუმჩნევლად ბევრი შეჭამა უნებურად; შდრ. ქართ. შემოეჭამა.

ილჲ-მჯა-ჲახტ ([5], ტექსტები, გვ. 131, 19)—მას (ქალს) უნებურად შემოეჭამა ის (რალაც).

ილჲ მჯა-ჲე ([6], ტექსტები, გვ. 68, 18)—მას (ქალს) უნებურად შემოეჭამა ის (რალაც) და სხვ.

სამპირიან გარდამავალ ზმნებში და აგრეთვე რთულფუძიან გარდამავალ ზმნებში (ა)მხა- პრეფიქსიც ისეთსავე ცვლილებებს იწვევს, რასაც პოტენციალისის ზ- პრეფიქსი. მაგ., იყა-ს-წეჲტ—„ის (ნივთ. კლ.) მე გავაკეთე“ ზმნისაგან ვიღებთ ფორმას ი-ს-ამხა-ყაწეჲტ—„ის (ნივთთა კლ.) მე უნებურად გავაკეთე“ (შდრ. ისზყამწეჲტ); ი-უ-ს-თეჲტ—„ის (რალაც) მე შენ (მამაკ.) მოგეცი“ ფორმისაგან ვიღებთ: ი-ს-ამხა-უ-თეჲტ-ს—„ის (რალაც) მე უნებურად შენ მოგეცი“ (შდრ. ისზ-უმთეჲტ) და სხვ.

(1) (ა)მაჯა-პრეფიქსი, უნდა ვიფიქროთ, შედგება ორი (ა)მა და ჯა ნაწილისაგან, რომელშიაც მა- ელემენტი „ხელის“ აღმნიშვნელი ძირი ჩანს.



ამ შემთხვევაშიაც რთულფუძიან გარდამავალ ზმნებში სუბიექტის ნიშანი ფუძის გარეთ გამოდის და დაისმის პრევერბის წინ, ხოლო სამპირიან გარდამავალ ზმნებში, ჩვეულებრივი პირთა თანამიმდევრობის საწინააღმდეგოდ, სუბიექტის ნიშანს უჭირავს მეორე ადგილი (ე. ი. ირიბი ობიექტის ადგილი), რაც იმ გარემოებაზე უნდა მიუთითებდეს, რომ ადგილი აქვს ინვერსიას.

გარკვეული მნიშვნელობით პოტენციალისის კატეგორიას უნდა უკავშირდებოდეს უნებურობის კატეგორიაც. ამ მხრივ გასათვალისწინებელია ის ვითარება, რაც თავს იჩენს ქცევის კატეგორიის გამოხატვისას აფხაზურ-აბაზურ ზმნაში. აფხაზურში ქცევის კატეგორიის ანალიზისას ჩვენ მიერ გამოყოფილ იქნა ორი საპირისპირო მნიშვნელობა: ერთი, რომელიც გამოხატულია ზ. პრეფიქსით და ატარებს „დანიშნულების“, „თვის“-ის მნიშვნელობას, მეორე კი, რომელიც გამოხატულია ცი-პრეფიქსით და რომელსაც აქვს საწინააღმდეგო მიმართულების გამოხატვის შინაარსი, ირიბი ობიექტის სურვილის საწინააღმდეგოდ ჩადენილი მოქმედების შინაარსი [2]. მათი ასეთი დაპირისპირებული ხასიათი კარგად ჩანს შემდეგ მაგალითზე:

ის-ზ-ააგეფტ—„ის (რალაც) მე მან (მამაკ.) მომიტანა (ჩემთვის, ჩემად მოიტანა)“.

და

ის-ცი-იგეფტ—„ის (რალაც) მე მან (მამაკ.) წამილო (ჩემგან წაილო: წამართვა)“.

კითხვა ისმის: ხომ არა გაქვს აფხაზურ-აბაზურ ზმნაში ორგვარი გამოხატვა პოტენციალისის კატეგორიისაც, ერთი მხრივ, ზ-პრეფიქსიანი და, მეორე მხრივ, (ა)მხა (←მაცა)-პრეფიქსიანი?⁽¹⁾

შდრ. ის-ზ-ყამწეფტ—„ის (რალაც) მე ვერ გავაკეთე“ (არ „გამიკეთდა“, არ „გამეკეთა“)

და

ის-(ა)მხა-ყაწეფტ—„ის (რალაც) მე უნებურად გავაკეთე“ (ის მე უნებურად „გამიკეთდა“, „გამეკეთა“)

ან:

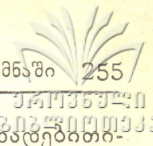
ი-ს2-ზ-ჟა-მჰიეფტ—„ის (რალაც) მე შენ ვერ გითხარი“

და

ის-ამხა-ჟა-ჰიეფტ—„ის (რალაც) მე შენ უნებურად გითხარი (წამომცდა)“ და სხვ.

საყურადღებოა, რომ პირველი მათგანი (ისზყამწეფტ, ისზჟამჰიეფტ) უმთავრესად უარყოფითი წარმოებისათვის არის დამახასიათებელი (მე ვერ

(1) ზ (პოტენციალისისა და ქცევის) აფიქსის მსგავსად გარკვეული შინაარსით ფუნქციურად ერთმანეთს უახლოვდება ქცევის ცი-პრეფიქსი და უნებურობის კატეგორიის (ა)მჯა→(ა)მხა-პრეფიქსი. ეს დასტურდება კონტამინირებული ფორმების არსებობითაც, რომლებშიც ერთნაირი ფუნქციით გამოდის ცი- და (ა)მხა-; შდრ. ი-ს-ცი-ამხა-ფიეფტ—„ის (რალაც) მე უნებურად შემომეჭამა“ და სხვ.



გავაკეთე, მე ვერ გითხარი), ხოლო მეორე — (ისამხაყაწეატ) — დადებითი-სთვის (ის მე უნებურად გავაკეთე)¹.

ქცევის კატეგორია უკავშირდება ირიბ ობიექტს, პოტენციალისის ფორმა კი, — როგორც ზ. პრეფიქსიანი, ისე (ა)მხა პრეფიქსიანი — უკავშირდება ზმნის რეალურ სუბიექტს, ამასთანავე², როგორც უკვე დავრწმუნდით, ამ ფორმებში სუბიექტის პირი გაგებულა როგორც ირიბი ობიექტის პირი და ზმნაც (თუ საქმე გვაქვს გარდამავალ ზმნასთან) კარგავს გარდამავლობას.

აღნიშნულ წარმოებებში გარდამავალი ზმნის გარდაუვლად და გრამატიკული სუბიექტის გრამატიკულ ობიექტად გადაქცევის ფაქტში ვლინდება ვნებითი გვარის ჩანსახიც. ვნებითი გვარის, პოტენციალისისა და ქცევის კატეგორიები ერთმანეთთან არიან დაკავშირებულნი. ეს მტკიცდება ქართველურ ენათა მონაცემებითაც [9]. ყველა ეს კატეგორია შედარებით გვიანდელი წარმონაქმნია. გვარის კატეგორია, უნდა ვიფიქროთ, მომდინარეობს პოტენციალისის კატეგორიიდან, ხოლო ეს უკანასკნელი — ქცევის კატეგორიიდან.

თვით ქცევის კატეგორია კი ჩასახული ჩანს ზმნის პოლიპერსონალიზმის საფუძველზე ქართველურსა და აფხაზურ-ადიღურ ენებში, რითაც აიხსნება ამ ენათა ერთიანობა აღნიშნულ კატეგორიათა მიხედვით.

საქართველოს სსრ მეცნიერებათა აკადემია
ენათმეცნიერების ინსტიტუტი
თბილისი

(რედაქციას მოუვიდა 4.1.1955)

დამოუყვებელი ლიტერატურა

1. П. Услар. Этнография Кавказа. I. Абхазский язык. Тифлис, 1887.
2. ქ. ლომთათიძე. ქცევის კატეგორია აფხაზურ ზმნაში. სტალინის სახელობის თბილისის სახელმწიფო უნივერსიტეტის შრომები, ტ. XXX, 1947.
3. Д. Гулиа. Сборник абхазских пословиц (აფხაზურ ენაზე). Сухум, 1939.
4. G. Dumézil. Etudes Comparatives sur les Langues Caucasiennes du Nord-Ouest (Morphologie). Paris. 1932.
5. ქ. ლომთათიძე. აფხაზური ენის ტაპანთური დიალექტი (ტექსტებითურთ). თბილისი, 1944.
6. ქ. ლომთათიძე. აზნარული დიალექტი და მისი ადგილი სხვა აფხაზურ-აბაზურ დიალექტთა შორის (ტექსტებითურთ). თბილისი, 1954.
7. ი. პაპასკირი. თემურ (აფხაზურ ენაზე). სოხუმი, 1954.
8. დ. გულია. აფსუა ბჯზია (აფხაზურ ენაზე). სოხუმი, 1935.
9. არნ. ჩიქობავა. პოტენციალისის კატეგორია ქართველურ ენებში. ენიმკის მოამბე, ტ. 1, 1937.
10. ქ. ლომთათიძე. გარდამავლობის კატეგორია აფხაზურ ზმნებში. ენიმკის მოამბე, ტ. XII, 1942.
11. ალ. ლეკიაშვილი. აფხაზური ზმნის პოტენციალისის ფორმის შესახებ. იბერიულ-კავკასიური ენათმეცნიერება. II, თბილისი, 1948.
12. ი. პაპასკირი. ხამურ ღმუა (აფხაზურ ენაზე). სოხუმი, 1949.
13. დ. გულია. აჟიბჟ კაჟბჟუა (აფხაზურ ენაზე). სოხუმი, 1942.

¹ უნებურობის კატეგორია უარყოფით წარმოებებშიც შეიძლება შეგვხვდეს, მაგრამ ჩვეულებრივ ნატურითსა და თურმეობითს ფორმებში, მაგ.: ის-ამხა-მ-ჰიაზააჲტ! „ნეტავ არ წამომცდებოდეს!“ და სხვ.

² გარკვეულ გარდაუვალ ზმნებში იგი (ამხა-) შეიძლება ირიბ ობიექტთანაც შეგვხვდეს



რედაქტორის მოადგილე ი. გიგინეიშვილი

ხელმოწერილია დასაბეჭდად 24.3.1955; შეკვ. № 150; ანაწყოების ზომა 7×11;
ქალაქის ზომა 70×108; სააღრიცხვო-საგამომც. ფურცლების რაოდენობა 6;
ნაბეჭდი ფურცლების რაოდენობა 5; უე 01598; ტირაჟი 800.

693/36

ფასი 5 მან.



დ ა მ ტ კ ი ც ე ბ უ ლ ი ა ს ი ა
საქართველოს სსრ მეცნ. აკად. პრეზიდიუმის მიერ
22.10.1947

დებულება „საქართველოს სსრ მეცნიერებათა აკადემიის მოამბის“ შესახებ

1. „მოამბეში“ იბეჭდება საქართველოს სსრ მეცნიერებათა აკადემიის მეცნიერი მუშაკებისა და სხვა მეცნიერთა წერილები, რომლებშიც მოკლედ გადმოცემულია მათი გამოკვლევების მთავარი შედეგები.
2. „მოამბეს“ ხელმძღვანელობს სარედაქციო კოლეგია, რომელსაც ირჩევს საქართველოს სსრ მეცნიერებათა აკადემიის საერთო კრება.
3. „მოამბე“ გამოდის ყოველთვიურად (თვის ბოლოს), გარდა ივლის-აგვისტოს თვისა — ცალკე ნაკვეთებად, დაახლოებით 5 ბეჭდური თაბახის მოცულობით თითოეული. ერთი წლის ყველა ნაკვეთი (სულ 10 ნაკვეთი) შეადგენს ერთ ტომს.
4. წერილები იბეჭდება ქართულ ენაზე, იგივე წერილები იბეჭდება რუსულ ენაზე პარალელურ გამოცემაში.
5. წერილის მოცულობა, ილუსტრაციების ჩათვლით, არ უნდა აღემატებოდეს 8 გვერდს. არ შეიძლება წერილების დაყოფა ნაწილებად სხვადასხვა ნაკვეთში გამოსაქვეყნებლად.
6. მეცნიერებათა აკადემიის ნამდვილი წევრებისა და წევრ-კორესპონდენტების წერილები უშუალოდ გადაეცემა დასაბეჭდად „მოამბის“ რედაქციას, სხვა ავტორების წერილები კი იბეჭდება საქართველოს სსრ მეცნიერებათა აკადემიის ნამდვილი წევრის ან წევრ-კორესპონდენტის წარმოდგენით. წარმოდგენის გარეშე შემოსულ წერილებს რედაქცია გადასცემს აკადემიის რომელიმე ნამდვილ წევრს ან წევრ-კორესპონდენტს განსახილველად და, მისი დადებითი შეფასების შემთხვევაში, წარმოსადგენად.
7. წერილები და ილუსტრაციები წარმოდგენილი უნდა იქნეს ავტორის მიერ სავსებით გამზადებული დასაბეჭდად. ფორმულები მკაფიოდ უნდა იყოს ტექსტში ჩაწერილი ხელით. წერილის დასაბეჭდად მიღების შემდეგ ტექსტში არავითარი შესწორებისა და დამატების შეტანა არ დაიშვება.
8. დამოწმებული ლიტერატურის შესახებ მონაცემები უნდა იყოს შეძლებისდაგვარად სრული: საჭიროა აღინიშნოს ჟურნალის სახელწოდება, ნომერი სერიისა, ტომისა, ნაკვეთისა გამოცემის წელი, წერილის სრული სათაური; თუ დამოწმებულია წიგნი, სავალდებულოა წიგნის სრული სახელწოდების, გამოცემის წლისა და ადგილის მითითება.
9. დამოწმებული ლიტერატურის დასახელება წერილის ბოლოში ერთვის სიის სახით. ლიტერატურაზე მითითებისას ტექსტში ან შენიშვნებში ნაჩვენები უნდა იქნეს ნომერი სიის მიხედვით, ჩასმული კვადრატულ ფრჩხილებში.
10. წერილის ტექსტის ბოლოს ავტორმა უნდა აღნიშნოს სათანადო ენებზე დასახელება და ადგილმდებარეობა დაწესებულებისა, სადაც შესრულებულია ნაშრომი. წერილი თარიღდება რედაქციაში შემოსვლის დღით.
11. ავტორს ეძლევა გვერდებად შეკრული ერთი კორექტურა მკაცრად განსაზღვრული ვადით (ჩვეულებრივად, არა უმეტეს ერთი დღისა). დადგენილი ვადისთვის კორექტურის წარმოუდგენლობის შემთხვევაში რედაქციას უფლება აქვს შეაჩეროს წერილის დაბეჭდვა, ან დაბეჭდოს იგი ავტორის ვიზის გარეშე.
12. ავტორს უფასოდ ეძლევა მისი წერილის 50 ამონაბეჭდი (25 ამონაბეჭდი თითოეული გამოცემიდან) და თითო ცალი „მოამბის“ ნაკვეთებისა, რომლებშიც მისი წერილია მოთავსებული.

რედაქციის მისამართი: თბილისი, ძეგლიძის ქ., 8

СООБЩЕНИЯ АКАДЕМИИ НАУК ГРУЗИНСКОЙ ССР, Т. XVI, № 3, 1955

Основное, грузинское издание